



BioCoherence 手册

Version 2025-03-20

一般目录

介绍

1. BioCoherence的简要历史.....	3
2. 建立桥梁.....	5

3. 使用 BioCoherence

3.1. 模块概述.....	14
本章开头可以找到详细的目录。	
3.2. 每个模块的详细手册.....	37
本章开头可以找到详细的目录。	

4. 附录

4.1. 常见问题解答.....	87
4.2. 医学研究和文献.....	91
4.3. 参考文献.....	103

BioCoherence的简史

现在是2024年夏天，BioCoherence的第一个公共版本即将发布。我们是如何走到这一步的，拥有这个软件，它源于我的脑海，至今已包含1400多种专有生物标志物、40个屏幕、对心电图的扫描分析以及实时生物反馈的测试，还有一个重新平衡模块？

让我们回顾一下两条交汇的道路。

我们第一次接触能量评估和治疗设备可以追溯到2011年。那时Christine和我已经结婚，并且有三个孩子。那一年，我们的第二个女儿Isis，当时仍对谷物不耐受，正准备开始中学。在我们仍住在Sournia，一个位于法国南部比利牛斯的小村庄时，我们正在寻找解决方案，以便她能在学校吃午餐。我不想详细描述，但当我们去到专家那里时，他告诉我们唯一的解决办法是进行结肠镜检查。而且无论如何这也无法治愈她。所以我们开始寻找另一种解决方案。一位朋友向我们推荐了一个在一个小村庄工作的奇怪家伙，这个奇怪的家伙在一次会诊中进行了全面检查和重新和谐；他不仅在半小时内识别出所有问题，而且一个月后她就康复了。

Christine和我对视，意识到医学存在一些问题。医院为什么无法提供这个解决方案？为什么它显得如此机密？但最重要的是，这到底是什么？

在2011年底，我们与这位从业者成立了一个非营利组织，试图研究和验证这些实践，随后又成立了一个护理中心，然后又成立了第二个。我们最终在2012年底与这家设备的制造商取得了联系，以便在法国分销它。我们遇到了其他人，最终建立了稳固的分销网络、从业者网络以及一所学校。

但对我来说，作为一名科学家、工程师、软件设计师、音乐家、作家，以及最重要的强迫创作者，我无法止步于商业或行政角色。我已经创办了几家公司，始终自己编写整个计算机系统。实际上，我大约在10岁时开始创建软件，15岁时出售了我的第一个作品。之后我学习了科学，并进入了声音工程学校，然后在1996年与Christine一起成立了一家网络代理公司，之后又创办了几家初创公司。回到我们分发的护理设备，作为设计师，我渴望在这些检查和护理系统的设计中贡献我的力量，这些我经历过很多并且理解得很好。

这第一条道路，是科学、IT和商业，以及它们在医疗保健中的应用。

但这并不是导致今天BioCoherence的唯一道路。

另一条道路是冥想。

当我11或12岁时，我对魔术充满热情——或者更确切地说，是变魔术。我可以整天待在巴黎的魔术商店，与所有顾客（演艺专业人士）见面。——说实话，我还创作、制作并向一家商店出售了一个魔术道具，那时我估计大约13岁……—在那里我遇到了Pierre，一个在世界各地工作的魔术专业人士。我们成为了好朋友。Pierre从小就开始进行“出体”或“星际旅行”，这让我着迷。我从未听说过这件事。他给我几本关于这个主题的书，并把它视为对他来说完全自然的事，但我们过了一段时间后失去了联系。

从那时起，在外表的面纱之外，似乎存在一个更大的世界对我来说是自然而然的。但在巴黎，在一个超物质主义的时代，在一个对这方面一无所知的家庭中，我该如何深入探讨这个问题呢？

随着岁月的流逝，这依然是一个特权而迷人的讨论主题，是一个好奇的源泉，但仅此而已。我们在青少年时期尝试过冥想，后来在成年后也尝试过，但都没有太大的成功。然后生活开始在此时此刻成形，带来了所有的要求。

回到2011年，这是一个关键之年，两条道路的交汇。当Isis开始康复时，我们被推荐给了在佩皮尼昂的一位家庭医生。他以不同的方式看待事物。好吧，我们去吧。我向他谈论了一切，包括冥想的话题；我告诉他我曾试图脱离身体，但没有成功。他回答说他知道一种基于耳朵中不同频率声音的技术，但对这方面了解不多。但声音对我有吸引力……我寻找并发现了双耳节拍。从那时起，之前的进展如此乏味，开始大大加速。在几个月内，宇宙在内外扩展。自那年关键时刻以来，一切都在我们周围重新组织。

我开始了一系列访谈，计划制作一部名为“现实”的电影项目。我遇见并拍摄了大约四十位迷人的人物。最后，我成立了一个法国出版社，以翻译他们的书籍，迄今为止已经出版了大约二十部作品。

Christine在这方面，令她感到非常惊讶，竟然变得具有透视能力。这真是太不可思议了。哦，我的女儿也是如此。作为一个好的科学家，我无论如何都在进行一些验证协议。这一切看起来都非常真实，好的，我们就承认吧。那一年，在经历了7年的近乎自给自足的家庭生活后（我们于2004年离开巴黎，自己建造Christine设计的房子），迪士尼乐园强势来袭。世界变得更加广阔。房子里满是各种生物，每一个都比上一个更神奇。疯狂，但一个又一个轶事，让人无法不相信这个新现实。

这就是两条相汇而来的道路：一方面是能量评估和治疗设备及软件，拥有其令人惊叹的可能性，但也有各种限制和挫败感；另一方面是冥想、内在的个人发展、世界边界的扩展，以及掌控自己和意识到自己责任的巨大力量。

所以，在2017年，我进行了第一次两者的联盟，并开始了一个冥想应用程序项目，旨在成为创作者的平台；太复杂，始终未完成。在2018年，我创建了一个应用程序，用于生成双耳节拍和其他声音来伴随冥想；太复杂，始终未完成。我开始看到一个反复出现的模式。这不是我第一次制作太复杂、未完成的应用程序。好的，我们重新编写整个内容，并简化它：啊，我们成功了！在2021年，我们将推出一款不那么复杂且——万岁！——已经完成的应用程序：33个引导冥想，基于Christine的前两本书。

还有一个细节：我想提供更多。我想得到一个可靠的测量系统来选择和，为什么不呢，调整冥想。一个细节，正如我说，这最终花了我3年时间。在2022年，我可以展示我们的年度大师班，其中有一个基于心电图测量的第一个工具。在2023年，经过一年多的工作，界面装饰了许多可视化效果，并创建了新的屏幕。又经过6个月的研究，我们在2024年4月达成了一个渴望互动的软件版本……

为了到达这个第一个版本，我痛苦地（如你所想象的）选择了要实施的想法。但在我近40年的创造生涯中，我终于意识到，单纯为了创造而创造是毫无意义的；你必须为了分享而创造。为了做到这一点，我不得不花费比我想象的更多的时间，让这个软件易于理解。我成功做到了，即使我仍然对那些尚不存在的东西感到沮丧。你可以依靠我继续整合和分享想法与工具，我会确保它们始终对你美丽、简单且直观。

Médéric Degoy，BioCoherence软件的设计师。

搭建桥梁

BioCoherence 是围绕一些关键概念设计的。对这些概念有一个大致的了解非常重要，因为它们是底层逻辑的指导。

我们的工作是在通常互不关联的领域之间搭建桥梁。这些概念包括：控制论；系统论；能量、熵和负熵；涌现；启发式；同步性；工效性；资源理论；级联理论；胚胎发生；系统理论；共振原理；一致性原理；尺度波；时间晶体；身心关系；物质-能量-信息符号关系；物理熵和信息熵；无意识和原型。

除非另有说明，引文均来自维基百科。

控制论

"研究自然和人工系统中的调节和交流的一般科学"。

"控制论是对复杂系统中信息机制的研究。这一研究体系的轮廓围绕着反馈或目的论机制这一关键概念。其目的是为自动控制、电子学和数学信息论等新兴领域（1942 年至 1953 年）提供一个统一的视角，作为 "动物和机器控制与通信的整体理论"。

控制论由诺伯特·维纳（Norbert Wiener）正式提出，是帕洛阿尔托学派的系统疗法和生物自组织理论等的起源"。

有趣的注释

- "1894年，路德维希-玻尔兹曼（Ludwig Boltzmann）将熵与信息联系起来，指出熵与我们无法获取的信息相关联"。
- "生理学也为他提供了许多要素。例如，克劳德-贝尔纳强调的平衡原理。"
- "控制论也是现象学的延续，因为它通过听诊现象来把握其自主性和特殊性，特别是通过形式，然后转向另一种分析：建模、力学"。
- "这种方法强调反馈，因为反馈对于设计自我调节的逻辑至关重要。因此出现了反馈回路，即突出系统的循环机制"。
- 在不久的将来，"涌现"一词不仅指新的形式，也指在系统自发重组过程中出现的新特性和过程。这类现象有时不仅涉及系统的重组，还涉及复杂程度更高的组织"。
- "在二阶控制论中，观察者将自己纳入所观察的系统中"

控制论是生态学、精神分析、信息科学、系统学、认知科学、人工智能、互联网的根源。

在生物一致性中的应用

从最深层（计算机的存在、操作系统和互联网）到最尖端（系统逻辑、1、2、3 级分析和新特性的出现、所有元素的联系、链接和共振的计算）的各级软件中。

反馈原则是软件的核心，特别是在生物反馈测量中。

有趣的是，控制论侧重于系统的限制和约束。这为可能的选择提供了指示。但等效性原则规定，可以通过多种不同路径达到目标。

系统理论

"系统理论是一种定义、研究或解释任何一种现象的方法，它首先将这种现象视为一个系统：在一个更大的系统中，往往是子系统之间的一系列复杂的相互作用。它不同于传统的方法，传统的方法侧重于将系统分解成各个部分，而不考虑整体（即整个系统本身）的运作和活动。"

系统思维倾向于一种全局的、宏观的、整体的或综合的方法；它从不同的角度和不同的组织层次来观察和研究一个系统；最重要的是，它考虑到了系统各部分之间存在的各种相互作用。

系统论是在 20 世纪中叶逐渐兴起的，它是在反对笛卡尔分析传统和其他形式的还原论的基础上建立起来的，这些传统和还原论倾向于将整体切割成独立的部分，并显示出它们在理解现实方面的局限性。"

有趣的注释

- "互动（或相互关系）指的是非线性因果关系的概念。这一概念对于理解生物学中的共同进化和共生关系至关重要。交互作用的一种特殊形式是逆向作用（或反馈），对它的研究是控制论工作的核心"。
- "整体性。如果一个系统首先是一组元素，那么它就不能简化为这一组元素。俗话说，整体大于部分之和。
- "组织是理解系统的核心概念。组织是指按照要素的等级划分对整体的安排。根据组织程度的不同，一个整体的属性也不尽相同。因此，我们可以得出这样的观点：一个整体的属性与其说取决于它所包含的元素的性质和数量，不如说取决于它们之间所建立的关系："开放系统是指通过物质、能量和信息的交换，表现出自我组织能力的系统。
- 作为开放系统，生物能够创造负熵循环（即减少熵，创造更高的秩序）。
- 关于 "动态系统"，这一领域的第一个特点是，在表面无序的背后，隐藏着比可见秩序更复杂的秩序。第二个观点是，这种有序是通过自组织和出现以前不存在的新特征和特性而产生的"。

在生物一致性中的应用

- 突出元素之间的联系，其重要性甚至超过对元素本身的评价。

新出现

"新出现"是一个哲学概念，可以用一句格言来概括："整体大于部分之和"。它既反对还原论，也反对二元论（二元论或生命论）。

如果一种属性是从更基本的属性中"衍生"出来的，同时又是"新的"或"不可还原的"，那么这种属性就可以被称为"新兴"属性。因此，约翰-斯图亚特-密尔指出，水的属性不可还原为氢或氧的属性"。

有趣的观点

- "我们有时会在系统的微观和宏观层面之间的关系中谈到'同步涌现'。在这种情况下，涌现意味着概念上的不可还原性：涌现的特性和规律是复杂系统的系统特征，这些系统受规律支配，而这些规律无法还原为限定较小尺度成分之间关系的规律。"

在生物一致性中的应用

- 新兴逻辑：分析分几个阶段进行，每个阶段都揭示出较低层次不存在的较高层次属性。在最后阶段，发现资源。

能量

"能量是一个与行动、力量和持续时间相关的概念：实施一项行动需要在足够长的时间内保持一定的力量，以克服阻碍这一变化的惯性和阻力"。

在生物一致性中的应用

生物标志物的能量根据生物标志物的类型以不同的方式进行测量；将其置于每个生物标志物特有的最小/最大刻度中，就成为花朵的纵轴。

熵

这是一个既清晰又复杂的概念，但最重要的是，这个术语在不同的领域可以解释不同的事情。

- 对于物理学家来说，熵就是躁动、无序。
- 对于信息论来说，熵是对不同类型信息可能原始数量的测量。
- 对于计算机科学来说，熵大致是可能信息的范围，是空间的大小。

我们可以将熵的概念概括为与系统的无序程度成正比；因此，熵的反义词负熵与系统的有序程度成正比。

在生物相干性中的应用

我们测量生物标志物在不同水平上的变化，从而推导出一个躁动因子，它将构成花朵的横轴。

资源理论

资源理论由克里斯蒂娜-德戈伊 (Christine Degoy) 提出，该理论认为，在每一个生命系统中，都有一些完美的部分能够滋养其他部分。在系统逻辑中，这些部分就是资源部分，它们与其他有需要的子系统积极地联系在一起。

克里斯蒂娜确定了各个层次的资源：有机的、心理的、能量的和非物理的（即由与整个系统相互作用的物质构成，但不受与通常物质相同的物理定律的约束）。

在生物一致性中的应用

作为最高级别的新兴要素，资源识别使我们能够为需要解决的优先事项制定协调一致的计划，并利用它们来优化整个系统。

级联理论

继保罗-施密特 (Paul Schmidt) 提出寻找疾病原始原因的原则之后，菲利普-马扎 (Philippe Matza) 后来又提出了级联理论，该理论是系统逻辑的一部分。它假定，受苦的器官或系统是一连串因果关系和能量相互关系的一部分，必须追溯这一链条才能进行有效治疗。

在生物一致性中的应用

通过识别联系和连贯系统，生物相干性使我们能够重建完整的因果链，并在干扰源处采取行动。但是，我们正在将因果链的概念扩展到多条因果链，并将其扩展到这样一个事实，即一个系统中的各个要素如果处于一致性，就需要在各个层面同时进行干预，以可持续地重新平衡其要素。

胚胎发生

"在胚胎形成过程中，细胞被组织成不同的细胞层：外层称为外胚层，内层称为内胚层。中间层形成的组织称为中胚层。在哺乳动物中，每一层都有不同的命运：内胚层产生消化道及其相关腺体（胰腺）；中胚层产生肌肉、骨骼和血管；

外胚层产生表皮和神经系统"。

在生物一致性中的应用

我们推测，这些元素在成年机体中通过特定的共振保持联系，我们考虑了克里斯蒂娜-德戈伊（Christine Degoy）开发的 8 个体质，这些体质由胚胎起源相关的元素组成。然后将这些关系纳入对结果的解释中。

Prology 理论

摘自克里斯蒂娜-德戈伊（Christine Degoy）的《*Prologie, 重新发现生命的意义*》：

"这是一种兼顾关爱与成就的统一方法。它具有整合性和横向性，可以说是系统性的，以人的所有组成部分的共振为导向，将众多可用资源汇聚成合力"。

Prology 提供了一种全面的范式转变，将身体整合为实现目标的强大杠杆，即使在疾病期间也是如此。其强有力的原则是以生命项目为基础，结合系统理论方法，具体表现为以下论点："每个人都是一个有项目的系统，构成它的一切都旨在实现这一目标"。

胚胎学使我们能够从个人项目支持的角度来描绘人体，并发现在成长成熟和掌握自己生命的过程中连续范围的时间组织。

以胚胎学为基础，结合人性的三大支柱--意志、爱和智慧--绘制的图谱让我们对疾病有了新的认识。事实上，胚胎学解码将疾病视为系统的转变，而不是失败。当一个人的物质-能量-信息系统需要改进以继续前进时，他或她就会利用每一个进化的机会来改变和发展技能和行为、需求和欲望，以及对生活和周围世界的看法。

每个器官都在完成个人的生命工程中发挥着作用，并根据进化所需的转变程度，以不同程度的自由裁量权更新自身。

序贯法的目标是恢复平衡、能量和舒适，同时尊重个人的生命计划，以实现整体的成就感。

在生物一致性中的应用

该软件能够全面评估和识别与生命项目共振的问题和正在发生的转变。这是一种基于目的和能量释放的积极解读，而不是基于冲突和阻碍的生物解码。

共振原理

"共振是指某些物理系统（电子、机械等）对某些频率敏感的现象。共振系统可以积累能量，如果能量以周期性的形式施加，并接近被称为 "共振频率 "的频率"。

在生物一致性中的应用

在音频冥想中，以特定频率发出的声音或声音序列会激发特定的有机结构或心理结构。

一致性原理

"物理学中的相干性是指波系统的一系列相关特性。我们可以谈论两个波之间的相干性、同一波在两个不同时刻的值之间的相干性（时间相干性）或同一波在两个不同位置的值之间的相干性（空间相干性）。相干光束的例子：激光"。

双耳节拍

"双耳节拍是大脑在特定物理刺激下感知到的明显声音。这种效应由海因里希-威廉-多夫于 1839 年发现。

当两种频率略有不同的声音分别独立地出现在受试者的耳朵里时，大脑会产生一种低频脉冲音量的现象。如果两个频率相差 4 赫兹，受试者就会听到每秒 4 次的心跳声”。

在生物相干中的应用

在音频冥想中，特定的双耳节拍会根据要解决的优先事项进行整合。这些双耳节拍会对大脑进行 α 、 β 、 γ 或 θ 波段的特定频率训练。

刻度波

马克-亨利¹解释说：“在三个空间维度和时间维度之外，还有第五个维度--尺度。这一新维度使我们有可能确定所观察或测量的时空现象所处的尺度。但是，如果存在一个新维度，就必然存在可以在其中传播的波。这些当然就是我们的尺度波。它们的作用是确保同一物理对象的不同描述和表现尺度之间的一致性。这些尺度波并没有出现在量子物理学或相对论物理学的学术论文中。然而，我们对它们却非常熟悉。我们所要做的就是接受这样一个问题：一个人如何能够识别构成他的不同部分。多亏了尺度波，同一个人无论用什么尺度来描述自己，都能感受到他的统一性”。

约埃尔-斯特恩海默（Joël Sternheimer）提出了尺度波的理论，并通过 Proteodies 将其付诸实践。

时间晶体

“时空晶体是一种时空周期性结构。这种结构的概念由弗兰克-威尔切克（Frank Wilczek）于 2012 年提出。根据他的观点，我们可以设想一种由一组粒子组成的结构，这些粒子周期性地运动并返回其原始状态，从而形成“时空晶体”。这一说法源于在“经典”晶体中观察到的现象，晶体的原子结构在空间的不同方向上呈现重复模式。而在时态晶体中，这种模式在时间上周期性地重复，就像振荡器一样。只有外部的周期性激励才能使时态晶体出现并吸收能量。”

在生物相干中的应用

一旦确定了元素之间的联系，就可以确定重复出现的模式。我们的想法是，这些模式（可以是连续的想法、动作、疼痛、各种故障²⁰²⁶）形成的结构会不断从整个系统中吸收能量，使其运动持续下去。软件的算法可以找到特定的结点，从而打破这种重复。

身心关系

“发生”这一概念是唐纳德-戴维森（Donald Davidson）在 20 世纪 60 年代引入心灵哲学领域的，目的是调和心灵和身体的系统依赖性和不可还原性这两个看似矛盾的观点。当 B 类属性（如精神）产生于 A 类属性（如身体）时，B 类属性的任何变化都等同于 A 类属性的变化。因此，这两个层次之间存在着共变关系。”

“根据西蒙-布莱克本（Simon Blackburn）的观点，当代自然的物理概念缺乏质的属性，如颜色、疼痛以及构成我们对世界体验的质的方面的其他一切。”

“一些泛心理主义哲学家，如盖伦-斯特劳森（Galen Strawson），从这个角度出发，认为所有物理对象实际上都是精神属性，类似于生活经验的属性。”

物质-能量-信息意义关系；物理熵、能量熵、信息熵和意义熵

回到“我们对世界的体验的质的方面”，让我们来看看物质：

1. <https://marchenry.org/2014/09/15/ondes-dechelle/>

- 物质由波和粒子组成。它可以被描述为物质（粒子）或能量（波）。实际上，我们谈论的是自成一体的静止波，它们会产生自己的磁场，就像吉他弦折叠在自己身上一样。这样，它们就会产生 Δ
- 能量，这些能量被储存或循环。它可以被交换，但本身并不是负的或正的：它只是代表了能量势能在一个方向或另一个方向的交换。不过，它确实携带着 Δ
- 信息是'能量或物质'的编码，代表着.....的符号。
- 意义"，而这正是我们作为有意识的生命所关心的终极问题。

这让我们重新认识了'熵'的概念。在物质层面，熵是搅拌，或者说是能量势能。在信息层面，熵是媒介（能量或物质）上可能传输的信息量。但在意义的终极层面，熵是实际能够传输的重要信息的数量。

举个例子：想象一下一个触发核弹的按钮。在信息层面，一个比特的信息就足以触发核弹。在物质和能量层面，影响是巨大的，但却是局部的。至于意义，则取决于目标：是一座城市（在空间和时间上产生巨大影响），还是一个试验隧道（影响仅限于实验结果）？这样，对于相同的行动，熵的数量在这些不同的层次上可能完全不同。

同步现象

"有时，当一些看似不可思议的巧合发生时，我们会认为是宇宙在向我们发出信号。但在荣格看来，这就是同步性，我们可以将其定义为不同事件的同时性，它们之间存在着非偶然的联系。换句话说，这门奇异的科学可以概括为一系列事件（两个或两个以上）在时间上的巧合，这些事件虽然相互关联，但却没有因果关系。然而，它们之间存在着内容上的联系

"荣格认为，当我们谈论同步性时，我们指的是内在和外在事件的结合。因此，经历这些事件的个体会在它们的统一中发现意义。荣格将同步性或 'occurrence' 定义为对可识别模式的探索"。

在生物一致性中的应用

模式识别是我们理解世界不可或缺的一部分。同步性被理解为通过先验的无关事件的对抗而产生的意义。正是这种通过意义、通过重要性产生的联系，带来了信息的意义。生物标志物之间联系的计算突出了这种新出现的关系。在极端情况下，连贯系统表明了同步性的等同性，即更高层次意义的出现。

一般语义学

"一般语义学"提出了一种非亚里士多德式的全民思维方式，最初由阿尔弗雷德-柯兹布斯基（Alfred Korzybski）提出。

一般语义学试图扩展经典语义学的框架（研究词汇的意义及其可能发生的变化）。柯兹布斯基的目的是构想出一种逻辑，这种逻辑也符合他所处时代的科学发展水平，使我们能够比亚里士多德和笛卡尔以及亚里士多德和牛顿物理学以前的逻辑更有效地解决人类问题。柯兹布斯基认为，这些从古代到 17 世纪形成的逻辑学在描述和处理他所处世纪的发现所特有的问题时不再有效。柯兹布斯基将其应用于精神病学，亨利-拉比特将其应用于生物学（行动抑制理论）和攻击学（研究生物体在攻击条件下的反应）。

在《科学与理智》一书中，柯兹布斯基解释说，他认为这种非亚里士多德逻辑与 20 世纪的两次科学革命，即量子物理学和相对论¹ 之间存在着对应关系。他指出，前者颠覆了通常的理性范畴，而后者则引入了"非牛顿"物理学和"非欧几里得"²几何学。与后者一样，"非亚里士多德"的"非"不应理解为否定，而应理解为对亚里士多德逻辑的概括和超越，同时包括后者，而"一般"一词也应在与广义相对论相同的意义上理解³。通过与量子物理学的类比，柯兹布斯基断言，观察者是现实表征的一个组成部分，这一点必须在一般语义学中加以考虑"。

在生物相干中的应用

一切都是意义。这是物质-能量-信息-意义链的最终抽象层次。这正是为生物相干性开发的算法所要强调的。

启发式算法

"启发式"是一种"发明、发现的艺术"，它基于不完整的知识解决问题。这种分析方法能在有限的时间内找到可接受的解决方案。这些方案可能偏离最优解。在丹尼尔-卡尼曼看来，这是一种有助于为难题找到适当答案的程序，尽管往往并不完美"。

在生物一致性中的应用

启发法是一门"寻找规则的学问"。在这里，这同样是一个识别模式的问题，突出联系能让我们看到系统的总体组织，而不是系统中任何一个元素的特定状态。

对偶性

"如果对同一主题进行的几项不同的单独统计分析得出的结果具有足够的可比性，那么就存在遍历性。该理论与动力系统理论和混沌理论密切相关，经历了许多发展"。

在生物相干中的应用

模式识别是分析中不可或缺的一部分，最近在深度学习和神经网络方面取得的进展推动了模式识别的发展。

计算不可还原性

"计算不可还原性是斯蒂芬-沃尔夫拉姆 (Stephen Wolfram) 在其著作《*新型科学*》(2002年)中提出的主要观点之一。

许多物理系统非常复杂，无法对其进行有效测量。即使是最简单的程序，也会表现出各种各样的行为。因此，在进行实验之前，任何模型都无法仅利用初始条件准确预测特定物理系统中会发生什么。由于在计算机科学的形式语言中存在不可还原性问题，Wolfram 将这种无法"简化"系统(或"程序")或以简单方式描述其行为的情况称为"计算不可还原性"。这一观点表明，在有些情况下，理论预测实际上是不可能的。沃尔夫拉姆断言，许多现象通常在计算上是不可还原的。

计算不可还原性解释了现有主流科学的局限性。在计算不可还原的情况下，只能使用观察和实验"。

在生物一致性中的应用

举例来说，这一概念解释了为什么生命会如此发展。假设我们生活在一个模拟中，就像电子游戏中的角色：我们为什么要费心去体验我们所拥有的一切呢？为什么不直接得出结论呢？因为，根据这一原则，不可能直接跳到结论：我们必须经历事件的所有阶段，才能知道事件的结局。你必须"玩这个游戏"，因为没有人能够在没有完整玩过这个游戏的情况下说出它的结局。

在我看来，这可以解释神秘主义和存在主义提出的大多数复杂问题。假设轮回(转世)是真的。那为什么是因果报应呢？很简单，因为计算所有可能的选择是很重要的，而计算这些选择的最佳系统就是能够意识到各种选择的系统。从这个角度来看，因果报应不是复仇的工具，而是横向了解特定事件的可能后果，而这些后果是无法预测的。然后，生活会以不同的视角向我们呈现类似的情况，这就需要有意识地经历各个阶段并观察结果。在这种设想中，不存在所谓的命运或不可避免的事件；唯一的现实是我们面对所发生的事件所做的决定，但在我们做出决定之前，结果是无法预测的。实际上，我们的生活完全掌握在自己手中。

无意识、集体无意识和原型

原型"是瑞士精神病学家荣格(Carl Gustav Jung, 1875-1961年)提出的一个分析心理学概念，他将其定义为人类使用相同的"先验给定的表征形式"的倾向，其中包含一个构造心理的普遍主题，所有文化都有，但以不同的象征形式表现出来。

对于荣格心理学来说，原型是人类文化的基础心理过程，因为它表达了人类历史经验中出现的行为和表征的基本模式，与另一个荣格概念--集体无意识--相结合"。

说到无意识，这里有一份作者声称在某天早上做梦后获得的发明和发现清单：

- 笛卡尔声称，他在 1619 年 11 月 10 日分别做了三个梦，这三个梦为他揭示了一种新哲学--科学方法--的基础。好吧，那么科学方法本身就来自 "一个梦"。
- E.Howe 据说梦见了现代平缝缝纫机的针。
- 科学家 F.A. Kekulé 梦见一群蛇吞下自己的尾巴，从而发现了看似不可能的苯 (C₆H₆) 化学结构。
- 尼尔斯-玻尔因发现原子结构而获得 1922 年诺贝尔物理学奖。他回忆说，他在梦中看到电子围绕原子核旋转，就像太阳系一样。
- 俄罗斯化学家德米特里-门捷列夫 (Dmitri Mendeleiev) 为 56 种元素进行了三天的分类工作，当他筋疲力尽时，他决定睡觉。"在梦中，我看到了一张表格，所有元素都按顺序排列。醒来后，我立即把它写在一张纸上，"门捷列夫在日记中写道。"只有一个地方后来证明需要更正"。
- 印度数学家斯里尼瓦萨-拉马努扬 (Srinivasa Ramanujan) 因其在数论、分析和其他纯数学领域的巨大贡献而闻名，他声称印度女神纳玛吉里-塔亚尔 (Namagiri Thayar) 在梦中给了他数学启示：%u200A 在这些幻觉中，"包含最复杂数学的卷轴在他眼前展开"："突然，一只手开始在屏幕上写字。我开始全神贯注。这只手写下了许多椭圆积分。它们深深地印在我的脑海里。一醒来，我就把它们写了下来
- 爱因斯坦相对论的灵感来源于一片牛田。在梦中，爱因斯坦告诉一位农夫，奶牛被电栅栏包围着，但农夫看到的却是另一番景象。爱因斯坦醒来后意识到，同一事件从不同角度会有不同的结果，于是相对论开始形成。
- 如果说查尔斯-达尔文是进化论的焦点人物，那么科学家阿尔弗雷德-拉塞尔-华莱士也不甘示弱。在对现在的印度尼西亚进行长达八年的考察期间，华莱士收集并研究了数千种动物标本。1855 年，华莱士得出了生物进化的结论，但他直到 1858 年才明白生物是如何进化的，当时的一个发烧梦给了他启示：动物是通过适应环境而进化的。
- 在奥托-洛维的研究之前，问题是神经传递本质上是化学传递还是电传递。复活节周日的前一晚，罗威梦见了一个完美的实验装置：两个装有跳动心脏的腔室--一个神经完好无损，另一个则没有。这两个腔室将充满溶液，并用一根管子连接起来。实验者用电刺激第一个腔室，使其跳动得更慢。如果神经传递本质上是电传递，那么第二个心脏就没有理由慢下来。但是，如果神经传递是化学性的，那么理论上化学物质就会顺着管道飘下，也会减缓另一个腔室中第二个心脏的跳动速度。罗威注意到了这个想法，但早上醒来时却无法破译自己的笔迹。第二天晚上，他又做起了梦。罗威与亨利-戴尔合作，利用这一实验装置演示了化学神经传递，并获得了 1936 年的诺贝尔奖。
- 詹姆斯-沃森 (James Watson) 与弗朗西斯-克里克 (Francis Crick) 一起发现了 DNA 的双螺旋结构--生命的构成要素--他显然梦见了螺旋楼梯，这让他想到了 DNA 的构造方式。另一种说法是，他梦见两条交织在一起的蛇，蛇头分别位于两端。
- 还有无数的歌曲、书籍、电子游戏和电影，都是作者在某天早晨恍然大悟的。

理性的头脑（别忘了，其理性源于梦境）可以从中得出几个结论：

1. 梦使发明者能够以不同于头脑的方式综合自己的想法。结论：我们的内心有一个不同的思维过程，它与我们内心已有的一切为基础，并以原型的形式表现出来。无意识能够带给我们有趣的信息。
2. 梦是通往不同知识层面的大门。结论：梦是一种语言，它带给我们迄今为止无法获取的信息，或许来自其他现实或其他有意识的存在。

这两种可能性并不相互排斥。但是，不管梦是通往我们内心的大门，还是通往另一个现实的大门，在这两种情况下，都有一个结论：梦的语言，无意识的原型，是我们意识问题的有效信息来源和进化。

经过十多年的冥想，我们的个人经验是，冥想能让无意识与有意识更好地沟通。冥想训练意识更好地倾听 "小声音"，否则它只能在梦境深处表达自己。我们已经看到了给无意识更多空间的力量。这两个方面共同作用，可以更好地解决问题，因为它们可以进入非常不同的知识领域。

我的另一个个人结论是，内部交流需要像肌肉一样进行训练。克莉丝汀最初的幻觉非常模糊和不确定，但经过多年的训练，她产生了一种新的 "感觉"，这种感觉就像通常的五感一样具体。无论对这种信息的来源作何解释，它已被无数次证明与其他感官的信息一样真实。但是，如果没有经过训练，就很难将幻觉与现实区分开来。毕竟，我们需要多年的时间来掌握和信任我们的五种物理感官；这五种感官只是将反映外部世界现实的刺激转化为我们神经元中的模式。我们逐渐了解到，还有一些 "微妙" 的感官也能转化为具体的外部现实，而这些感官也需要训练。

在生物一致性中的应用

引导式冥想调用不同的原型，使无意识和有意识在解决问题和内在自我发展中发挥作用。

真正的心脏协调

丹-温特将真正的心脏一致性定义为分析的 "和谐" 部分（即二阶 FFT）出现峰值级联。FFT 或傅立叶变换用于从信号中提取频率。二阶 FFT 可以提取出音乐上和谐频率。通过这种数学运算，我们可以检测到心电图中的绝大多数频率是相互和谐的；他将此称为 "真正的心脏一致性"。

这个 "和谐" 部分的峰值可以在多个频率上找到，并且已经确定了这个峰值的频带，这些频带与记录时的基本情绪相对应。

分形、压缩和相位共轭

"当频率之间的比值是黄金分割率的幂时，无限多的状态会被最大程度地压缩。

在这里，压缩被定义为频率的最大相加（因此它们之间具有建设性的共轭相位），如果频率是它们之间 d 或 n 的倍数的话。

分形指的是在不同尺度上可以发现类似的结构。

精灵测量

丹-温特 (Dan Winter) 再次从理论上提出了最佳能量 "内爆" 的基本方程；该方程预测了宇宙中发现的许多共振频率。我将相应的量命名为 "Elfie"，一方面是向精灵（尤其是精灵建筑）致敬，另一方面也是向等式本身致敬： $n \text{ Elfie} = L_p x^{\text{Phin}}$ ，即普朗克长度（宇宙中可测量的最小长度）乘以黄金比例的 n 倍。

这样，埃尔菲尺度不仅与埃尔菲数成正比，而且还包含了整个埃尔菲的数值。这些整数包括许多已知量，如长度、时间和频率。更多信息，请参见 [Elfie.link](https://elfie.link)²。

2. <https://elfie.link>

3.1.

模块概述

- BioCoherence 扫描 是一个完整的分析模块，从原始心电图到数十个图表、图形和明确的计算与解释生物标志物的方法。
- BioCoherence 测试 是一个开放的方法，可以通过脉搏的实时变化（生物反馈）来评估项目列表。
- BioCoherence 平衡 允许识别资源并选择优先事项，并基于此生成PDF报告和自定义冥想。

Contenido

1.	扫描：生物标志物和技术分析.....	18
1.1.	时间图模块.....	18
1.2.	生物标志物模块.....	18
2.	扫描：器官图谱.....	20
2.1.	显著原因：能量.....	20
2.2.	显著原因：熵.....	20
2.3.	显著系统：一致性.....	21
2.4.	大脑.....	21
2.5.	心血管系统.....	22
2.6.	消化系统.....	22
2.7.	膜.....	22
2.8.	椎骨.....	23
2.9.	神经系统.....	23
2.10.	牙齿.....	23
2.11.	运动系统.....	24
2.12.	呼吸系统.....	24
2.13.	女性生殖器.....	24
2.14.	男性生殖器.....	25
3.	扫描：中医经络、腧穴和方剂.....	26
3.1.	膀胱经带链接.....	26
3.2.	经络按能量，及常见相关问题.....	26
3.3.	中医穴位.....	27
3.4.	中医食谱，通过一致性.....	27
4.	扫描：能量模块.....	28
4.1.	阿育吠陀：三大体质及其亚体质.....	28
4.2.	能量图：脉轮、平面、时钟和动量.....	28
4.3.	能量图：微观世界.....	28
5.	扫描：思维模块.....	30
5.1.	阴影模块.....	30
5.2.	阴影：驱动器.....	30
5.3.	精神模块.....	31
6.	平衡模块.....	32
6.1.	资源.....	32
6.2.	优先事项.....	32
6.3.	PDF报告.....	33
6.4.	平衡：定制冥想.....	33

7.	测试模块	34
7.1.	一个实时评估后的测试列表	34
7.2.	A 测试列表	34
7.3.	测试列表	34
7.4.	测试: 生物反馈实时评估	35
7.5.	测试: 编辑	35
8.	理解模块	36

1. 扫描：生物标志物和技术分析

对ECG脉冲、生物标志物和光谱进行工作。

BioCoherence 通过对原始记录的ECG脉冲进行数学运算，专门构建其生物标志物。

- 在此模块中，您可以访问原始记录，如果存在测量误差，可以禁用心跳（该应用程序会根据自动质量检测算法自动禁用心跳），并处理时间事件。
- 您还可以查看生物标志物的1阶、2阶和3阶信息，并按类别浏览它们（有超过1400个生物标志物...）。

1.1. 时间图模块

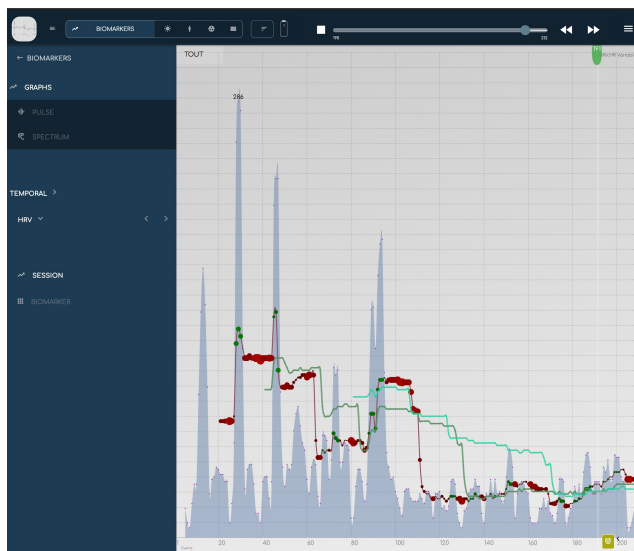
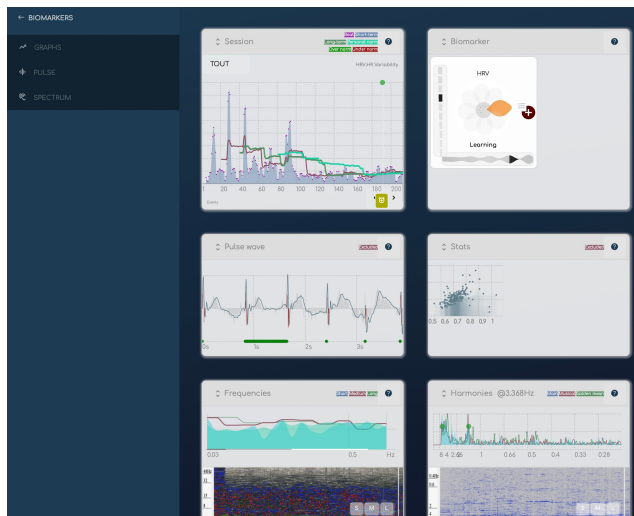
查看生物标志物如何随时间和会话演变。

BioCoherence 通过生物标志物以非常动态的方式工作，评估它们在多个时间段内的演变，并在时间段之间进行比较。

- 在此图表中，每个生物标志物在每次心跳级别上显示，与短期、中期和长期移动平均值进行比较。
- 您可以使用顶部滚动条在录音中移动（按下播放按钮以显示；按下停止按钮以在会话间进行比较）。您还可以在图表中单击以移动当前标记。
- 您可以使用左上角的范围选择器更改缩放比例。
- 您可以在此模块中处理事件：事件显示在图表底部。要创建或编辑事件，请单击图表底部的按钮。

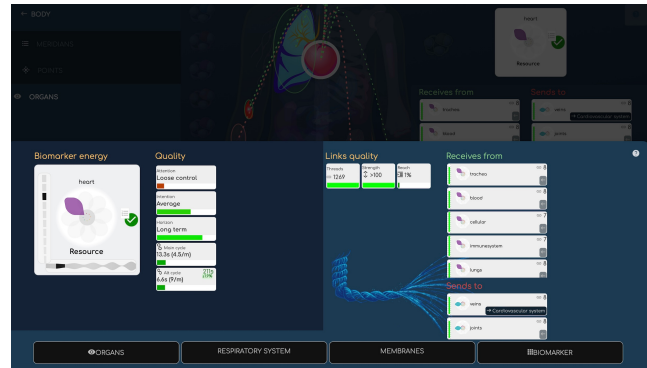
1.2. 生物标志物模块

对一个生物标志物广泛信息的深入探讨。



每个生物标志物只需一键即可访问生物标志物面板，该面板以紧凑和方便的方式显示有关其动态的所有信息。

- 主要信息是生物标志物 花朵，它可以立即评估其主要质量。花朵是其主要能量和主要熵（或激动）的一种综合体。有9个不同的花瓣，每个花瓣都有一个简单的词来理解其主要质量。
- 动态质量显示在第二列。注意、意图和视野 是关于其长期动态的信息。
- 主要循环和交替循环也显示在此列。这是生物标志物的主要呼吸。循环以持续时间（秒）和周期（每分钟）显示。如果循环与一个 整数 [Elfie值¹](https://elfie.link) 匹配，它表示与良好能量内爆的共鸣，则链接到Elfie表的链接将被突出显示。
- 链接面板显示与其他生物标志物（这里是其他器官）的关系。链接质量是主要绳索的综合体（线程是所有链接的计数，强度取决于它们的稳固性，而Reach表示与此生物标志物连接的家族中有多少个生物标志物）。接收来自和发送到列出其他生物标志物。点击它将打开它们的信息页面。
- 在底部，地图和图表按钮允许直接访问相关页面。



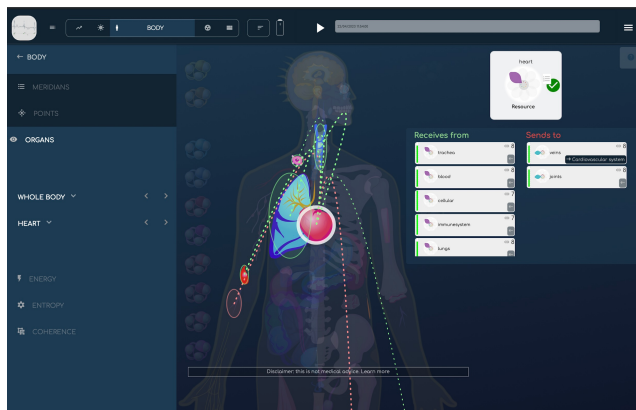
1. <https://elfie.link>

2. 扫描：器官图谱

数十幅独特且精美绘制的身体图谱已为BioCoherence设计，使导航和链接变得易于查看和理解。

随着接近500个专门针对器官系统、器官或器官部分的生物标志物，我们觉得必须绘制出所有内容，以便理解它。

- 十二个精美制作的地图，提供整体视图，或放大到牙齿、脊椎、神经、大脑……
- BioCoherence的核心功能之一是第三阶信息生物标志物之间的链接。每个地图都精美地突出了地图上器官之间的链接，或者通过一次点击链接到其他地图上的器官。
- 可视链接和两列允许立即评估与其他器官的能量关系（接收自、或发送至）
- 左侧的选择器列出了此地图上的所有器官及其生物标志物评估。



打开模块

通过点击“身体”，然后点击“器官”，该模块以身体的一般概述打开，包括一系列最重要的生物标志物：主要器官、主要激素、运动系统的主要部分、血液、细胞。

如果您点击一个器官，或从菜单列表中选择它，它会被白色光环包围，主要与此屏幕上其他器官的链接被显示（如果它们从所选器官接收能量，则用红色圈出，如果它们向其发送能量，则用绿色圈出）。

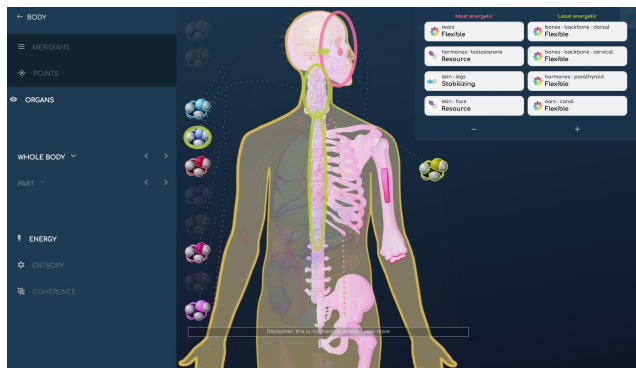
如果与在其他身体地图上详细描述器官存在链接，则这些链接会以黑色背景上的地图名称标识；点击它将打开该详细地图。

2.1. 显著原因：能量

立即突出显示最有活力和最无活力的部分

每个身体图都包含一个能量、熵和一致性子菜单，位于图谱菜单和部件菜单下方。

- 能量模块显示该图中能量最低和最高的元素，以及它们之间的关系链接。您可以通过点击列表下方的 + 和 - 按钮来更改元素的数量，并点击任何生物标志物以显示其信息。



2.2. 显著原因：熵

立即突出显示最激动和最静态的部分

每个身体地图都有一个能量、熵和一致性子菜单，在地图菜单和部件菜单下方。

- 熵模块显示了此地图中最激动和最静态的元素，以及它们的关系链接。您可以通过点击列表下方的 + 和 - 按钮来更改元素的数量，并点击任何生物标志物以显示其信息。

2.3. 显著系统：一致性

立即突出最能共振的系统。

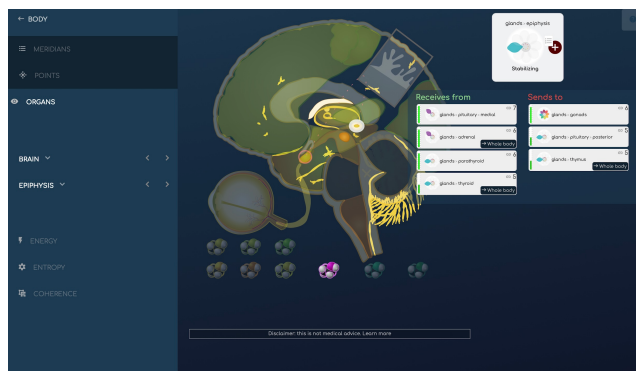
每个身体图都有一个能量、熵和一致性子菜单，位于地图菜单和部件菜单下方。

- 一致性模块显示了最为同步、相互共鸣的系统，以及它们之间的关系链接。您可以点击任何生物标志物以显示其信息。

2.4. 大脑

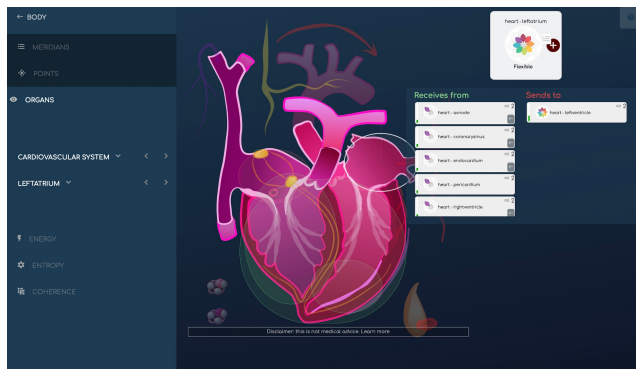
大脑各个组件之间的联系，以及与之相关的激素，在这里以图形方式突出显示；还可以从能量的角度显示出最显著的部分，包括那些更或更少激动的，以及那些处于一致中的部分。

我们还将眼睛及其组件添加到了这张地图中。



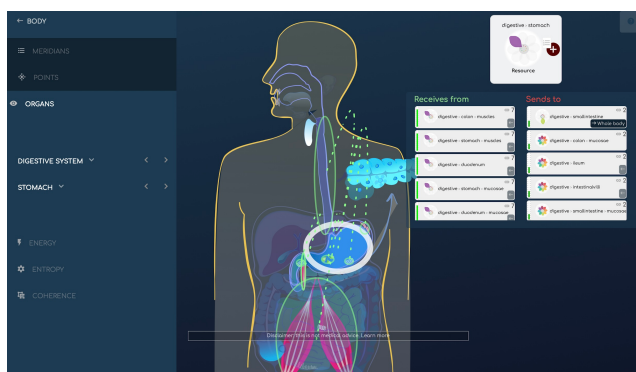
2.5. 心血管系统

这里图形化地突出显示了心血管系统各个元素之间的联系；还可以从能量的角度显示最显著的、最激动或最平静的，以及那些处于协调状态的元素。心血管系统的解剖板包括心脏及其所有细节、血液系统（静脉、动脉……包括循环和对血压的交感控制）、血液（血浆、血红蛋白）和激素（肾上腺素和去甲肾上腺素）。



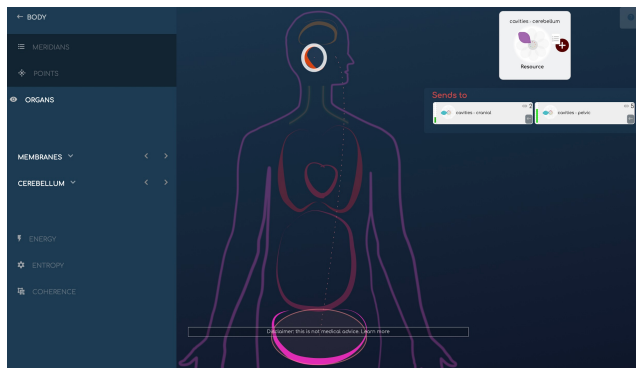
2.6. 消化系统

消化系统各个元素之间的联系，从口腔到肛门，在这里以图形方式突出显示；也可以从能量的角度显示最显著的内容，最活跃或最不活跃的状态，以及那些处于协调状态的元素。



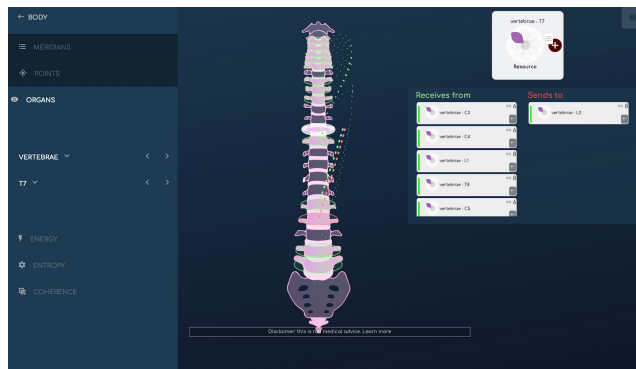
2.7. 膜

这些膜的解剖布局有点不寻常；我们想强调这些大腔体之间的共振联系。实际上，它们是从整体角度来看整体平衡的重要组成部分，这通常很少被考虑。它们提供了一个半全球的读取水平，并且从逻辑解释的角度来看也很重要。



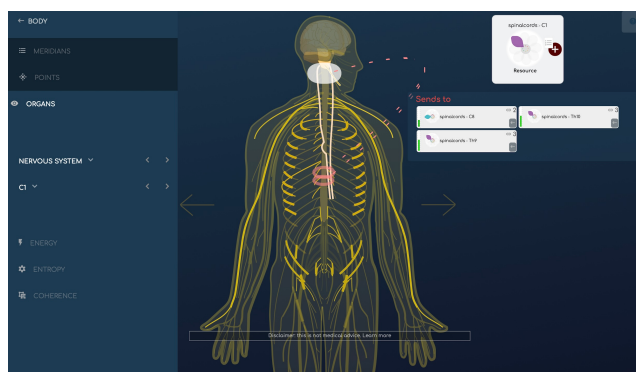
2.8. 椎骨

这里图形化地突出显示了椎骨之间的联系；也可以显示那些从能量角度来看最显著的、那些更或更少激动的以及那些一致的联系。



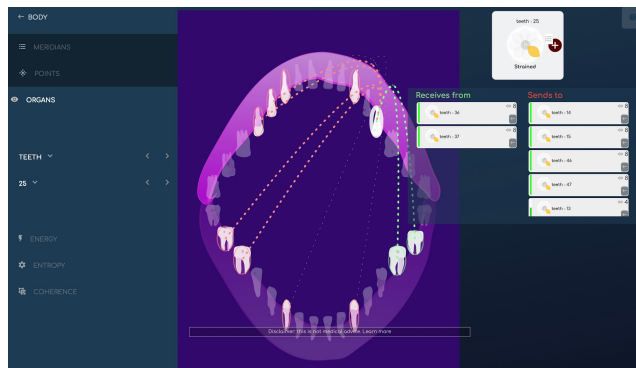
2.9. 神经系统

神经系统各元素之间的联系在这里以图形方式突出显示；从能量的角度来看，也可以显示出最显著的，有些是比较激动的，另一些则处于协调状态。神经系统包括大脑及其细节、神经及某些神经的细节，以及与脊髓相连的神经。



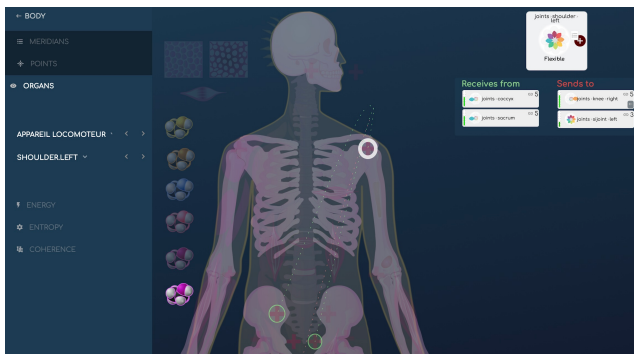
2.10. 牙齿

牙齿与牙龈之间的联系在这里以图形方式突出显示；还可以显示能量最显著的牙齿，那些或多或少激动的牙齿，以及那些处于一致状态的牙齿。



2.11. 运动系统

肌肉骨骼系统（骨骼、肌肉以及激素和一些器官）各元素之间的联系在此以图形方式突出显示；还可以显示从能量的角度来看最显著的部分，即最活跃或不活跃的部分，以及那些处于协调状态的部分。在每个解剖图板上所做的选择旨在突出各元素之间的相关关系。在此屏幕上，除了脊柱、骨髓、骨骼、软骨、肌肉、筋膜和钙代谢的部分外，我们还添加了一些有趣的激素和器官，如甲状旁腺、hdh或去甲肾上腺素、头发、皮肤和牙齿。



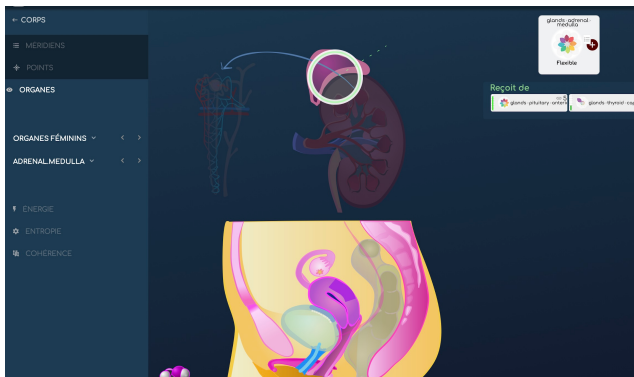
2.12. 呼吸系统

呼吸系统各元素之间的联系在这里以图形方式突出显示；还可以从能量的角度显示最显著的部分，包括更加或更少激动的部分，以及那些处于协调状态的部分。在这个屏幕上，我们还可以找到额窦、听道和心脏。



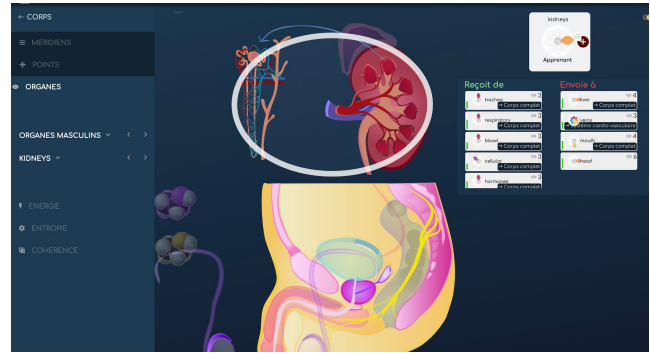
2.13. 女性生殖器

女性生殖器及相关器官（肾脏、膀胱、骶骨、肾上腺及相关激素如孕酮等）之间的联系在此图形上突出显示；还可以从能量的角度显示最显著的、那些或多或少激动的，以及那些处于一致性的状态。



2.14. 男性生殖器

男性生殖器及相关器官（肾脏、膀胱、骶骨、肾上腺及相关激素如睾酮、DHEA、HGH.....）之间的联系在此处以图形方式突出显示；还可以从能量的角度展示最显著的，更多或更少激动的，以及那些处于协调状态的。



3. 扫描： 中医经络、 腧穴和方剂

经络、 针灸点、 中医处方

掌握能量评估已有5000年的传统中医在BioCoherence中被广泛使用并得到了显著扩展。

- 经络以12或20个部分显示。图表展示了身体主要能量通道的联系和它们的路径地图。
- 针灸点在地图上动态动画展示。我们的独特算法计算了超过350个点。
- 食谱是解决能量问题的传统方法，采用中医方式。我们显著扩展了这一原则，以计算数百个食谱的能量、熵和一致性，以评估它们在当前评估中的实用性，从而指示它们可能的需求——这种评估形式可以帮助诊断问题。



3.1. 膀胱经带链接

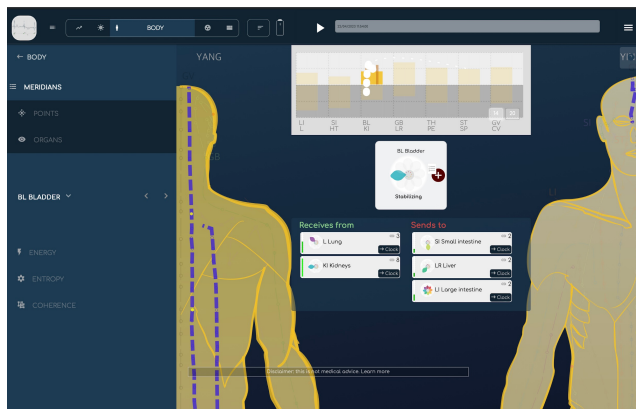
点击一个经络以获取信息。

当点击一个经络时，图表将显示它与其他经络的关系，生物标志将显示其主要特性，其他经络的连接（接收自或发送至）将被展示。

- 您可以使用左侧菜单浏览经络，并在下拉菜单中显示所有经络及其生物标志。

3.2. 经络按能量，及常见相关问题

识别最佳和最差的能量，一键完成



能量菜单直接显示最有活力和最没有活力的经络，这可以帮助识别问题。

- 当点击一个经络时，会出现额外的结论，这些结论与该经络当前的能量状态有关，并且与根据中医知识与其他经络状态相关的可能情况。

3.3. 中医 穴位

计算超过350个点

该点数模块显示 TCM 针灸点。

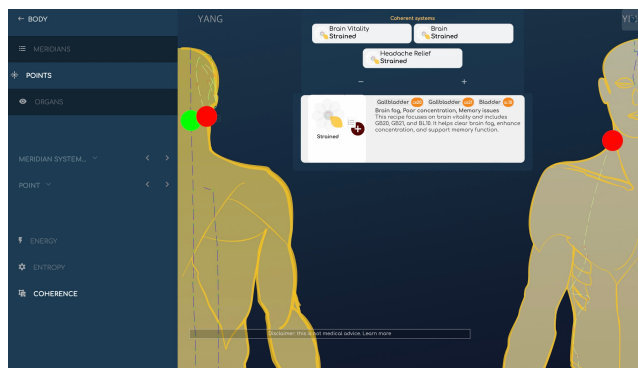
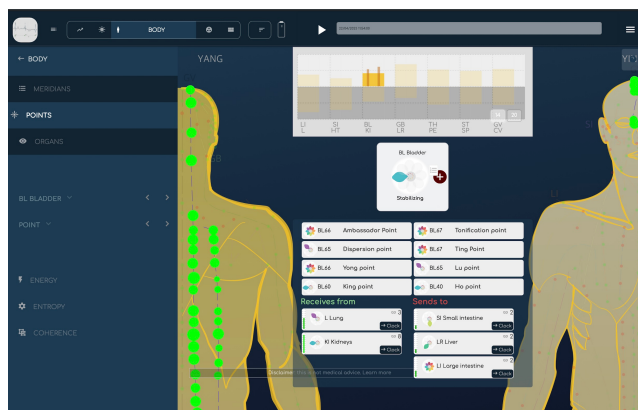
- 点击一个经络 以显示该经络中的所有点，以及有关该经络重要点的传统信息。
- 点击一个点以查看其生物标志物。

3.4. 中医食谱，通过一致性

一致性是一种查看完全同步的配方的方法。

我们逆向工程了针灸配方以将其制作成评估工具。

- 通过点击 **Coherence**，那些点完全同步的配方（这意味着，它的点彼此共振并且像一个单一点一样一起移动）将会被显示。点击一个配方可以查看地图上的点并且获取方向。当添加到优先级时，该配方将会在平衡部分中使用以帮助重新平衡其效果。



4. 扫描：能量模块

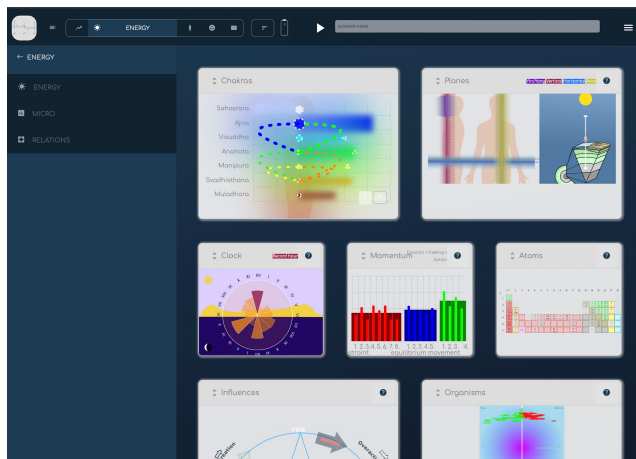
您需要评估能量水平的所有内容

这些图表允许查看诸如脉轮、时钟、平面、动量、原子、影响和生物体等信息。

4.1. 阿育吠陀：三大体质及其亚体质

身体能量的阿育吠陀评估。

阿育吠陀从业者知道如何与身体的能量体质一起工作。三种主要的体质是Vata、Pitta和Kapha，每种体质都有5种亚Dosha。在BioCoherence分析中，当您移动时间游标时，可以看到每个Dosha和亚Dosha的变化，因为所有这些系统都是动态的。它们的运动方式是我们评估的一部分。

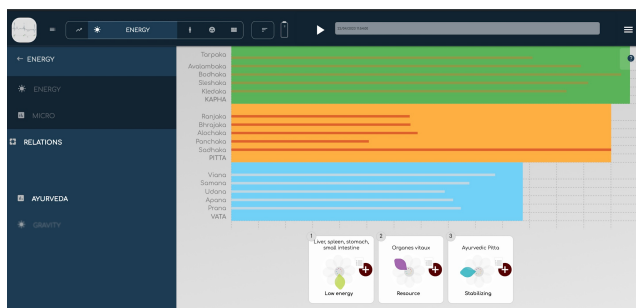


4.2. 能量图：脉轮、平面、时钟和动量

身体的主要能量动力源

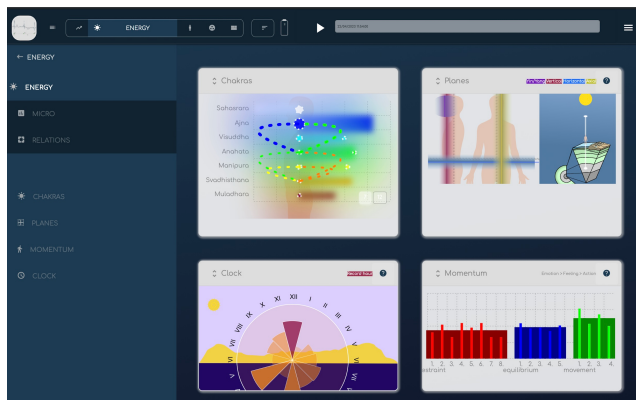
这些 4 图表允许对身体主要功能进行适当的能量评估。

- **脉轮** 可以显示 7 或 12 个脉轮，它们的整体光环，以及它们之间的关系。
- **平面** 突出显示身体的主要能量平衡：显示水平、垂直和轴向平面，以及与深地场和天体场的联系。
- **时钟** 显示经络与其主要功能时间之间的关系，以及记录时间，以评估适当的时间对齐。
- **动量** 是我们创建的图表，用于显示 3 个主要惯性及其组成部分：那些限制、那些平衡和那些帮助运动的。



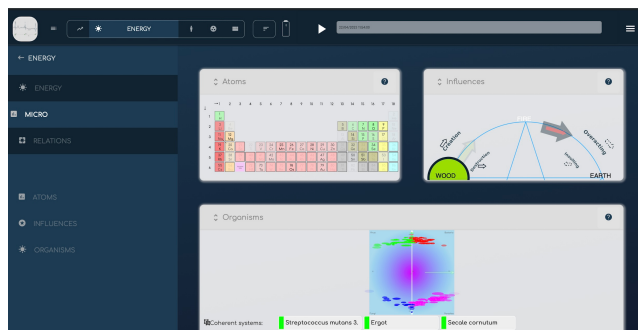
4.3. 能量图：微观世界

非常小，但非常有用



这3个图表显示了可能影响全球系统的微量元素。

- 原子 显示了元素周期表及元素之间的共振。
- 影响 是中医五行星，计算并通过箭头突出显示了它们各自的建设性或破坏性影响。
- 生物体 是对200种外部生物体（病毒、细菌、真菌和寄生虫）及其各自联系的评估。

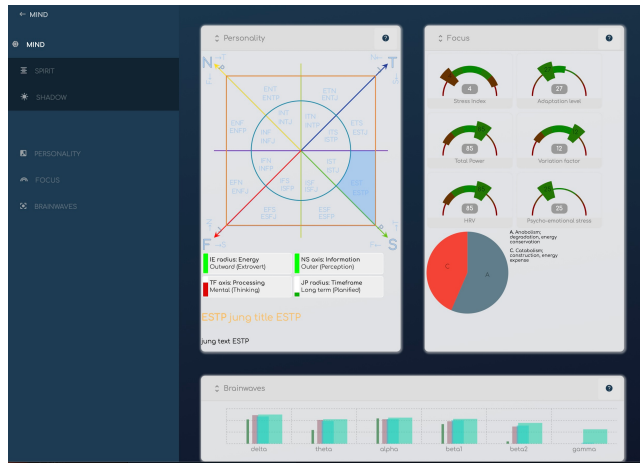


5. 扫描：思维模块

心灵、精神和阴影是本模块的重点。

随着超过300个专注于我们思维中发生的事情的生物标志物，Mind模块旨在以方便的方式组织它们的读数。

- 思维 关注个性、专注和脑电波。
- 个性 重建了荣格个性类型（后来广为人知的迈尔斯-布里格斯或MBTI）。对于这个屏幕，我们创建了一个独特的新逻辑可视化，基于我们在个性评估中发现的4个轴。
- 专注 重新整合了传统的HRV学术指标以及一个建设性/破坏性平衡可视化工具。
- 脑电波？ 是的，我们的传感器可以读取高达64Hz的全身电信号，而不仅仅是心脏的电信号。我们设计了一种算法来提取脑电波的特定信息，以获得思维最活跃的专注状态的感觉。

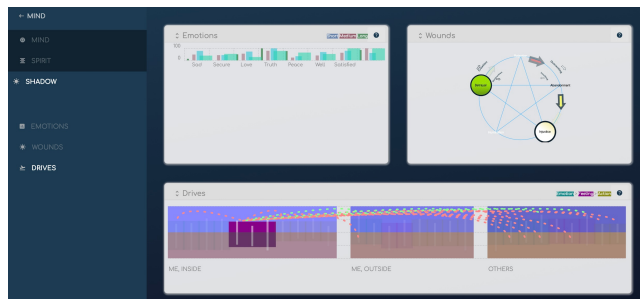


5.1. 阴影模块

情感、创伤和驱动力

影子或潜意识是我们行为的一个重要部分。

- 情绪 从心电图的主要节律中提取。
- 创伤 与中医影响相关。5种创伤（或8种创伤，正如最初设计的那样）自30年前以来得到了广泛使用。在BioCoherence中，我们通过添加它们各自的建设性或破坏性关系来扩展它们的含义。
- 驱动 是一种全新的方式，以有意义的方式组织情绪。



5.2. 阴影: 驱动器

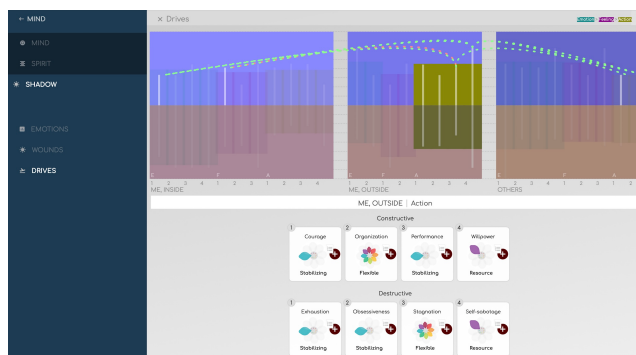
一种组织情感的新方法。

Drives 是一种全新的方式，将情感以有意义的方式组织成28组对立的情感，整齐地分为3个主要组别（ME内心，ME外部和其他人），每个组别包含3个子组（情感，感觉，行动）。

- **ME 内心** 关注与我内在功能相关的情感。
- **ME 外部** 关注与我内在运作与周围发生的事情相关的情感。
- **其他人** 关注与我周围其他人相关的情感。
- 情感 是它们起源的根本。
- 感觉 是我对它们的解读。
- 行动 是我对它们的反应。

通过使用冥想技巧，如观察心态，人们可以更好地理解情感的表述和影响。

情感之间的共鸣链接，在您点击图表时显示，也可以帮助理解发生了什么。



5.3. 精神模块

音乐和音阶对齐

精神是我们超越空间和时间的部分。

- 音乐 是对心电图主要频率的解读，结合了大量的音乐理论。音阶和主和弦是在短期（一个小节）、中期（两个小节）、长期（三个小节）和非常长期（四个小节）上计算的。然后，这些被用于构建定制的冥想，以音乐的方式将你从现在的状态带到可能的状态。
- 对齐 基于丹·温特的方程和 Elfie 整数值²。
- 在对齐中，专注一致性，正如丹所说，是“真实的心脏一致性”：它通过倒谱（2阶FFT）计算专注的量，或者用简单的术语来说，它计算心电图中发现的全局频率在音乐上有多少是协调和同步的。
- 在对齐中，真实心脏一致性 计算相同的内容，但针对的是黄金比例的频率倍数。
- 在对齐中，嵌入式内爆 % 显示接近整数 Elfie 值的频率部分，从而指示当前嵌入在最佳能量内爆周期中的能量量。



2. <https://elfie.link>

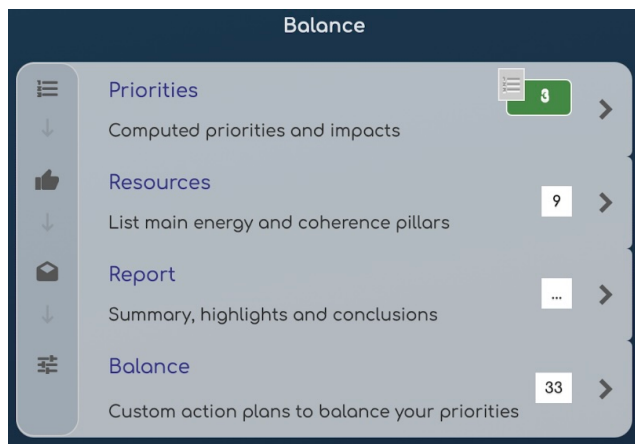
6. 平衡模块

优先事项、资源、报告和引导冥想。

平衡是一个工具集合，帮助您实现最高质量。

- 优先事项是现在需要关注的内容。
- 资源是您可以可靠地依赖的基础。
- 报告是分析中所有重要部分的PDF文档。
- 平衡是引导冥想、频率、双耳节拍和重新评估的生成，所有这些都通过生物反馈实时优化。

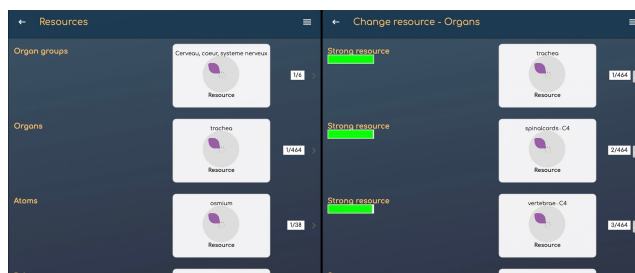
6.1. 资源



资源的力量：它们已经是你的，并且它们已经可以帮助你

资源是该录音的主要支柱，主要的能量驱动。平衡模块主要基于资源来选择相关的频率、双耳节拍和音频指导声音，以在开始处理优先事项之前建立能量。

- 资源会自动识别，但如果需要可以更改。要更改资源，请单击它并选择该类别中最重要的另一个资源。

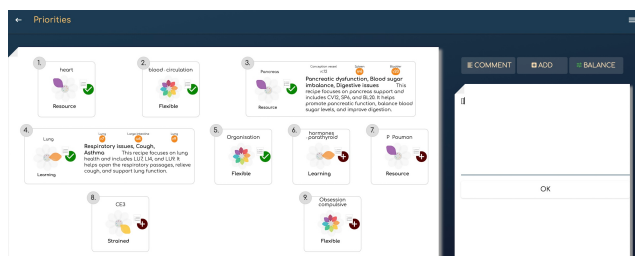


6.2. 优先事项

什么 需要 关注。

优先级是需要关注的生物标志物。它们在录音后会自动计算，但完全由用户决定添加或删除优先级。

- 优先级可以在任何页面的任何生物标志物花朵中添加或删除，或在优先级模块中。只需点击按钮！
- 在优先级下，评论按钮允许用户添加任何文本。
- 添加按钮显示一个相关附加优先级的列表供选择，如果需要，可以从器官、针灸经络、经络点、中医食谱、脉轮、驱动、动量等中选择...



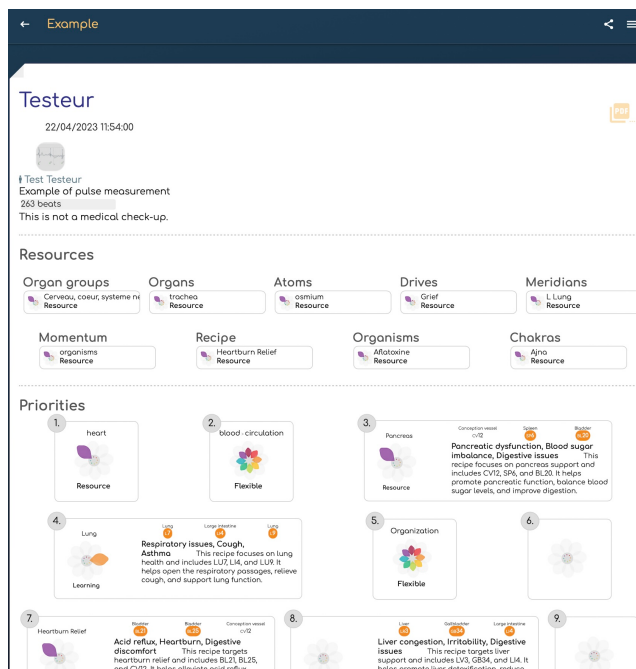
6.3. PDF报告

一键导出所有重要信息为PDF

PDF报告可以通过1次点击打印、保存或发送。它包含：

- 客户信息
- 录音信息
- 注释
- 部件和会话
- 资源和优先级
- 主要经络（能量、熵、一致性）
- 主要器官（能量、熵、一致性）
- 主要中医方剂（能量、熵、一致性）

它可以由专业人员进行个性化调整。



6.4. 平衡：定制冥想

现在是采取行动的时候。

平衡是一个完整的模块，用于创建自定义冥想。

- 用户可以选择与之相关的风格，这将从不同的引导冥想系列中选择卡片。
- 建议每天重新评估，在新的冥想之前：所有生物标志物将会演变，冥想将根据情况重新计算。
- 主要参数（潜水速度、个性、音乐、资源）是根据计算出的生物标志物的主要特征计算得出的。音乐是根据用户当前的旋律和和弦生成的，以达到所需的状态，以和谐的进程进行。
- 优先级显示为围绕用户轨道运行的行星，越来越远，因为冥想将以这种方式接近他们，越来越深入深空。
- 一个额外的工具是时间水晶熔化器，它将在整数时间-Elfie值周围计算，并在适当的时刻提醒用户有关决策和正在进行的工作的情况。可以将其视为微冥想，持续5到30秒，在特定的时间节点为自己。目标是在21天内溶解习惯的时间水晶，并重新编程整个系统。



7. 测试模块

使用生物反馈实时评估任何信息

测试是一种独特的方式来评估任何类型的信息。

- 使用实时生物反馈，测试是对兼容性的个体评估。
- 测试由元素列表组成。每个元素可以通过扫描预先计算，并实时测试其对身体反应的信息。

7.1. 一个实时评估后的测试列表

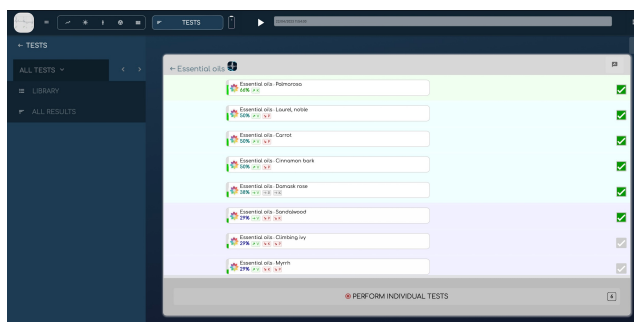
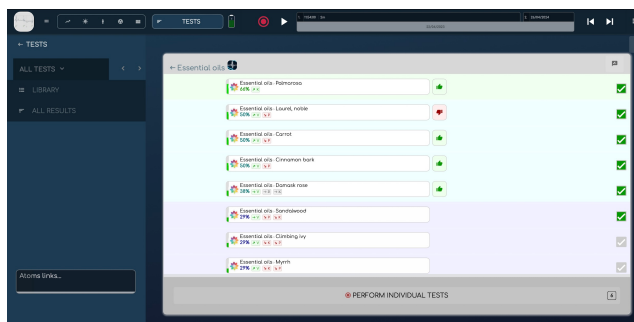
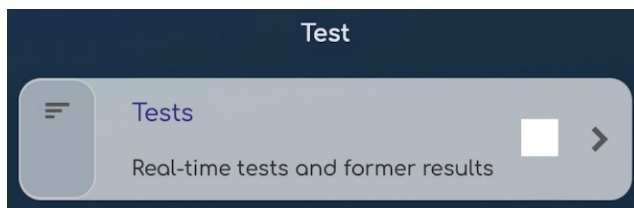
在实时评估后，您可以在列表上看到两个信息：基于生物标志物需求和每个列表元素的声明效果的自动预评估（如果有）；以及生物反馈响应，根据测试期间有机体的躯体反应，给出一个赞或不赞。

7.2. A 测试列表

一个测试由一系列要评估和排序的元素组成。

7.3. 测试列表

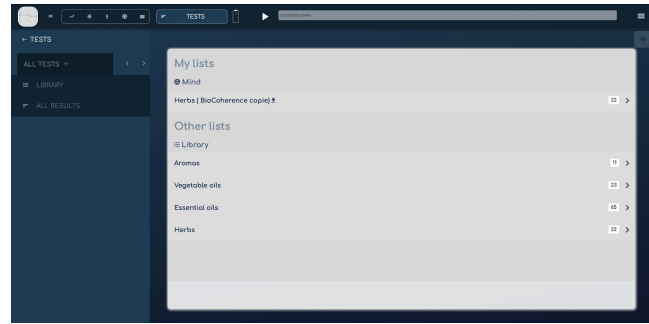
搜索、编辑、共享和选择测试



测试是一个开放的平台，创作者可以在这里创建和分享他们的列表。您可以通过关键词、创作者或测试类型进行搜索，复制现有的测试以构建您自己的，并且只需一键即可显示当前报告的所有测试结果。

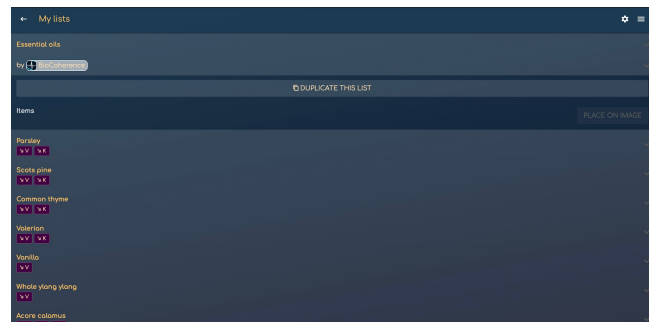
7.4. 测试：生物反馈实时评估

当启动测试时，信息会发送给用户，并评估身体反应。



7.5. 测试：编辑

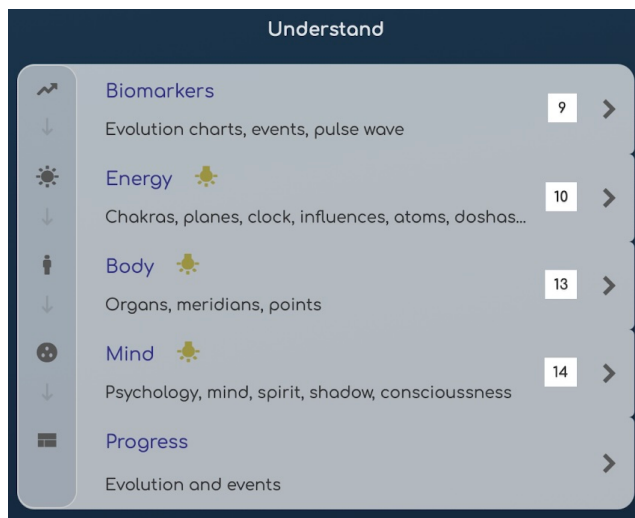
任何专业人士都可以为自己创建测试或稍后分享。对于测试列表中的每个元素，可以指定对生物标志物的操作以进行自动评估，或添加任何类型的信息以进行生物反馈评估。



8. 理解模块

扫描结果显示在此模块下。

查看不同的扫描章节以获取更多详细信息。



3.2. 详细指南

本手册涵盖了应用程序的所有方面，每个章节都配有截图和视频，以帮助您了解如何最好地使用它。

要访问按章节分类的视频和论坛，请访问 biocoherence.net/tutorials

Contenido

9.	介绍	40
9.1.	软件界面概述	40
9.2.	打开报告	41
9.3.	使用传感器录音	42
9.4.	客户管理	43
9.5.	多部分报告	45
10.	了解：生物标志物	46
10.1.	生物标志物的详细信息	46
10.2.	脉冲波编辑和验证（原始记录）	48
10.3.	监测生物标志物在会话过程中的变化	49
10.4.	频率和谐波分析	49
10.5.	因果链	50
10.6.	流行率	53
10.7.	多通道测谎仪	53
11.	理解：能量	54
11.1.	原子	54
11.2.	阿育吠陀能量评估	54
11.3.	脉轮可视化	56
11.4.	影响	56
11.5.	动量	56
12.	理解：身体	58
12.1.	中医经络	58
12.2.	器官图谱	60
12.3.	针灸点	60
13.	理解：思想	62
13.1.	对齐	62
13.2.	脑波	62
13.3.	驱动器	63
13.4.	情感	65
13.5.	专注	66
13.6.	音乐	66
13.7.	2016年人格类型	67
13.8.	伤口	68
14.	测试	70
14.1.	测试列表	70
15.	人工智能在BioCoherence中	74
15.1.	AI 助手	74

16.	平衡	77
16.1.	优先事项	77
16.2.	资源	78
16.3.	PDF报告	80
16.4.	平衡：冥想、声音和工具	80
16.5.	谐波增强	84

9. 介绍

本指南的总体介绍

在这个介绍中，我们将查看如何打开现有报告、从健康中导入ECG，或通过使用传感器录制来创建新报告。我们还将看看应用程序的初步概念。

9.1. 软件界面概述

在计算机、平板电脑或智能手机上的界面；论坛、上下文敏感的手册访问和上下文敏感的帮助请求。

当您在录制后打开报告时，会有几个界面元素帮助您高效地导航和分析数据。

在界面的顶部，您会发现一个菜单，可以访问报告的不同部分。导航栏使您能够在录制中移动。主菜单分为几个部分。要返回摘要，只需点击提供的按钮。

主要部分包括：

- **扫描分析:** 此部分显示各种屏幕，例如身体，能量，生物标志物技术分析，思维分析和录制过程中的进展。
- **测试:** 目前，此部分只有一个条目，但将会添加更多选项。它包括列表测试，频率测试和实时测试。
- **传感器连接:** 通过点击电池图标，您可以启动与传感器的蓝牙连接，并直接开始录制。

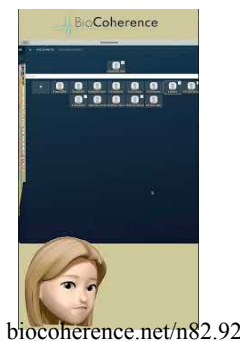
在录制中的导航可以在计算机的屏幕顶部或在手机的底部，具体取决于屏幕大小。您可以在各个部分之间导航，例如会话前、会话后，并查看为特定客户执行的所有操作。界面还允许逐拍导航，以进行详细的实时分析。

报告保存包括客户信息、报告标题和将报告保存在云中的能力。这使得可以从多个设备访问，并将数据安全地存储在本地计算机之外。如果在错误的个人资料上开始了录制，您还可以更改客户。

界面顶部的一般菜单提供几个选项：

- 返回主页
- 编辑测试列表
- 联系人管理
- 修改联系信息和帐户
- 更改订阅
- 更新应用程序数据
- 使用Elfie计算器

最近的新闻和帮助请求选项可从所有页面访问。如果发生技术问题，您可以输入“意见和建议”，提出问题或发送带有屏幕截图的支持请求。



帮助请求、论坛和在线手册

该应用程序还为每个项目提供上下文敏感的帮助和集成的视频。每当您看到问号符号 (?) 时，它将打开一个小的帮助文本。此文本可能会直接为您提供访问视频和手册页面的权限。它还将为您提供访问协作论坛的权限。如果您没有特定的问题，但希望在此时发表评论，或者如果您需要在从业者之间进行澄清，您可以通过点击问号打开此协作论坛。在那里，您可以提出问题或回答其他用户的问题。

使用“建议和建议”功能请求帮助

“通知与建议”功能可从您界面的任何页面访问，使您能够在发生技术问题请求帮助。以下是有效使用它的方法：

1. 打开右上角的菜单并访问“通知和建议”菜单。
2. 在提供的文本框中输入您的问题或描述您的问题。
3. 系统将搜索知识库以寻找您问题的答案。
4. 如果找到答案，它将直接显示在屏幕上。
5. 如果未找到答案，您可以发送支持请求。

要发送支持请求，您有两个选项：

- **截屏：** 这可以帮助您更好地了解屏幕上发生的事情。截取屏幕截图后，您可以使用顶部的工具对图像进行注释。例如，您可以圈出问题区域并添加解释性气泡。
- **写票：** 您也可以简单地写出对问题的描述，而不必截取屏幕截图。

一旦您注释了屏幕截图或写下了描述：

- 点击“验证”。
- 如果需要，添加一些文本以澄清您的初步搜索。
- 发送消息。

您的请求将被转换为一个包含所有必要信息的票据，以便支持团队可以尽可能地帮助您。每当您有特定问题或需要解决的问题时，请始终使用“建议和建议”菜单。

跟进您的请求

仍然在“建议和建议”菜单中，第三个按钮“跟踪您的票据”打开所有当前请求，允许您添加信息或查看我们的回复。

返回主页

当您返回主页时，最后打开的报告将显示以便快速访问。界面包括扫描分析、实时测试、扫描结论和共享结果的关键部分。

该界面旨在提供流畅的导航和全面的工具，以分析和共享录制内容。

9.2. 打开报告

发现应用程序

介绍

欢迎来到本章，专门介绍BioCoherence应用程序，该应用程序可在智能手机和计算机上使用。此应用程序允许您跟踪和分析各种生物标志物，以实现更好的身心平衡。

主屏幕

打开应用程序后，您会发现自己主屏幕上。您有两个选择：开始新的测量或打开样本报告。我们建议您首先打开样本报告，以便熟悉界面。此主屏幕还具有一个菜单，提供各种信息，我们将在后面的章节中详细描述。



biocoherence.net/n82.2

示例报告

一旦您打开示例报告，您会注意到计算会立即开始。这将带您进入主菜单，该菜单分为以下几个部分：

- 平衡：优先事项，资源
- 报告：PDF报告，引导冥想
- 详细分析：生物标志物，能量，身体，心理，进展

计算机应用程序

计算机应用程序提供与智能手机相似的体验，但具有更多的导航空间。菜单和部分是相同的，但显示优化了更大的屏幕。

导航

无论您使用智能手机还是计算机，屏幕顶部或底部都有一个导航区域。这使您能够从一个部分移动到另一个部分，特别是比较锻炼前后的记录，或跟踪在给定时间段内的日常进展。要返回或向前移动记录，只需按“播放”并在记录中导航。

生物标志物分析

当您选择“生物标志物”部分时，您可以检查脉冲波等数据。此分析可能会根据标志物类型和记录时间而有所不同。在计算机上，还提供“测试”和“进展”等附加标签，提供生物标志物在多次会话中的演变的详细视图。

结论

本章提供了BioCoherence应用程序的一般概述。要深入了解每个屏幕和功能，我们邀请您查看补充视频。

9.3. 使用传感器录音

有几种方法可以使用BioCoherence进行干净的心电图记录。您可以从主页开始，启动新的记录并点击“记录”。另一个选择是从“进度”页面开始，或通过点击屏幕顶部的电池图标。执行这些操作将自动将应用程序连接到蓝牙传感器并开始记录。

在记录期间，会显示一个动画以说明预期结果。然而，这个动画不会实时更新测量数据。数据将在记录结束时计算。这个动画帮助您花费所需的时间以获得良好的记录，理想情况下至少需要两分钟。

屏幕顶部有三个滑块，标记为“能量”、“活动”和“链接”，会逐渐填满。这些指示器必须完全填满，以确保收集到的信息足够计算所有必要的变量。一旦这些指示器达到100%，记录就被认为是足够的。



biocoherence.net/n82.13

为了确保记录质量，请在每个传感器上放置一个拇指。如果信号质量不好，请使用电极胶或稍微弄湿您的手指。信号质量会自动评估。例如，如果您移开一个手指，记录将立即停止。如果您把手指放回去，重新连接大约需要一秒钟，但您可能需要重新校准。

如果您施加的压力不足、移动或突然移动，屏幕会变成红色背景，表示数据未被考虑。设备将等待重新校准，重新校准的指示是绿色点的返回和红色背景的消失，然后再恢复高质量数据的记录。

一旦指示器达到100%满，请点击“停止”。应用程序将计算所有数据，您将能够查看扫描记录的各个主要章节。

9.4. 客户管理

概述

BioCoherence Pro 允许您与无限数量的客户建立网络，每个客户都可以通过他们自己的应用程序连接。本章将指导您完成与客户管理和共享信息所涉及的步骤。

客户选择

在所有需要选择客户的页面上，右上角都有一个按钮可以进行此选择。要查找客户，只需在搜索框中输入他的名字。系统将显示相应的客户及每个客户可用记录的数量。



biocoherence.net/n82.15

记录管理

一旦选择了客户，您将看到该客户可用的记录。记录可以通过不同的图标进行识别：

- 一个图标表示记录存储在本地计算机上。
- 另一个图标表示录音在云中。
- 第三个图标表示客户可以访问此录音。

共享报告

当您打开报告时，可以选择是否希望与客户共享访问权限。在主页上，有一个按钮允许您修改客户的信息，例如性别、电子邮件和照片。这些信息对特定于性器官和脉轮的可视化至关重要。

发送邀请

要向客户发送邀请，请输入他们的电子邮件地址并点击“发送电子邮件”。您还可以通过 SMS、WhatsApp 或您设备上可用的任何其他应用程序分享邀请链接或文本。消息可以通过使用语言选择器更改为英语或法语发送。

使用这些功能，您可以轻松管理和共享信息与您的客户在 BioCoherence Pro 上，同时确保有效和安全的沟通。

BioCoherence 中的用户和客户端管理，详细信息

BioCoherence 应用程序提供全面的用户和客户端管理功能，允许用户管理他们自己的个人资料和客户的个人资料。本节详细介绍应用程序内管理用户和客户端的可用功能，包括创建新联系人、在用户之间切换和管理用户数据。

当前用户显示

- 用户显示: 当前用户显示在应用程序界面主页的顶部。这可以是您（主要用户）或任何客户或联系人。
- 隐私功能: 用户可以通过点击模糊图标模糊所有名称和图片，确保在其他人查看屏幕时的隐私。

用户分析

- 查看分析: 点击“打开分析”或“查看所有分析”将仅显示与当前用户相关的分析。
- 切换用户: 要切换用户, 请点击两个箭头图标以访问用户目录。主要用户始终列在此列表的顶部。

用户目录

- 访问用户目录: 点击两个箭头图标以打开用户目录。
- 搜索用户: 使用页面底部的搜索图标 (放大镜) 通过输入关键词来过滤用户。
- 创建新联系人: 通过菜单访问联系人列表, 并点击“创建新联系人”以添加新用户。指定性别以确保准确的屏幕显示。如果您希望邀请他们或共享报告, 请添加他们的电子邮件, 或给予他们在他们的应用中访问报告的权限。

联系人管理

- 编辑联系人: 编辑当前联系人的详细信息, 包括姓名、电子邮件和性别。性别选择影响屏幕显示, 特别是针对性别的分析。
- 电子邮件集成: 添加电子邮件允许直接发送 PDF 报告, 并为用户在服务器上创建一个帐户。
- 附加信息: 可选字段包括出生日期、体重和个人备注。出生日期目前不用于计算, 但将用于将来的功能, 如生物年龄比较。

用户文件管理

- 文件保存: 分析保存在用户文件中。确保分析在正确的用户下保存, 以避免混淆。如果在不同的用户下开始记录有误, 您可以在此阶段更改用户。
- 云上传: 分析可以上传到云中以便共享。这对于与客户共享访问权限是必要的。

共享和邀请用户

- 邀请用户: 通过电子邮件或短信发送邀请给用户, 允许他们访问他们的报告并使用应用程序。
- 共享报告: 与客户共享 PDF 报告。报告可以通过选择要包含的部分进行自定义。

设备兼容性和更新

- 设备兼容性: 该应用程序与各种平台兼容, 定期发布更新以改善功能。
- 更新应用程序: 用户应定期检查更新, 以确保他们拥有最新的功能和修复。

附加功能

- 多视图分析: 实时比较多个变量的录音。对研究和详细分析非常有用。您可以显示并比较特定联系人的历史。
- **Apple 健康集成:** 从 Apple 健康导入录音。请注意, 设备上的导入来自主要用户自己的 Apple 健康帐户。如果您在自己的 Apple Watch 上进行录音, 您只能从自己的设备导入。因此, 如果在客户的 Apple Watch 上进行录音, 导入必须在他的设备上, 并使用他的应用和登录。然后他可以与您分享。

隐私和数据管理

- 本地数据存储: 所有计算和数据都存储在设备的本地。云存储是可选的, 仅用于共享目的。
- 数据安全: 该应用程序可以在没有互联网访问的情况下运行, 确保数据安全和隐私。

未来发展

- 简化版应用程序: 将提供应用程序的简化版本, 专注于录音、频率回放和报告阅读。

此关于 BioCoherence 应用程序中用户和客户端管理的全面指南确保用户能够有效管理他们的个人资料和客户的个人资料，从而提升整体用户体验。

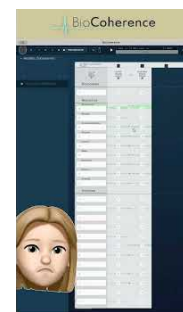
9.5. 多部分报告

要检查报告的详细信息，请首先打开相关报告。单击其名称以打开它，这将显示它包含的各种元素。在计算机屏幕顶部或手机底部，报告的不同部分将显示出来。默认情况下，整个记录都是可见的，但您可以选择仅显示第一部分或第二部分，例如。

可以通过“进展”标签访问部分详细信息，该标签也位于主页界面的中间。此标签显示了在记录过程中各种变量的演变。例如，您可以看到间隔5分钟、4分钟30秒的记录，或长度不同的记录，例如40秒和20秒。

还可以为这些记录添加注释。此功能可以记录会议的开始和结束，或注释特定操作，以观察标记在会议过程中的演变。

各种记录是直接可访问的，允许您逐部分比较生物标记的状态，并观察动量、脉轮等的变化。这些功能提供了报告不同部分的详细比较视图。



biocoherence.net/n82.6

10. 了解：生物标志物

脉冲波技术分析

这些屏幕使脉搏波的技术分析成为可能，例如提取频率和谐波、编辑录音、直接分析波形、生物标志物演变图.....

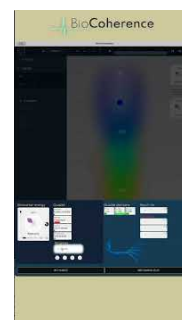
10.1. 生物标志物的详细信息

介绍

在这一章中，我们将探索用户界面中生物标志物的细节。让我们以脉轮为例，来说明它们是如何工作的，以及相关信息是如何显示的。

访问脉轮

当访问专门针对脉轮的页面时，各种脉轮将被显示。通过点击特定的脉轮，相关的生物标志物将出现在屏幕的右侧。



biocoherence.net/n82.8

能量与激动

第一个关键要素是能量，这是一种根据其能量水平和激动进行评估的资源。在屏幕的左侧，能量被可视化，而在底部，激动被显示。这两个方面由9个不同的花瓣表示，描述能量和激动的状态：

- 在这里，高能量和低激动表示一种资源。

附加信息

还显示其他信息：

- 注意力水平
- 意图水平
- 时间范围（短期、中期或长期）
- 元素的主要周期

演变与平均

可以跟踪生物标志物在一个会话中的演变，分为四个部分。例如，您可以观察能量的变化，其间有上升和下降的阶段，使您能够评估整体平均值。

优先事项

每个生物标志物页面提供超过1,400种不同的生物标志物。一个按钮允许您自动将生物标志物添加到优先事项中。通过点击“添加到优先事项”，该项目将被标记以便进一步处理，例如冥想或重新和谐频率。添加和移除的过程只需简单点击一下。

链接质量

同一家族元素之间的链接（例如脉轮）被指示：

- 纤维数量（链接）
- 共鸣点
- 扩散百分比（例如，33%的链接脉轮）

直接访问按钮

两个按钮简化导航：

- 直接访问脉轮
- 直接访问全屏生物标志物分析页面

帮助与信息

每个页面上都有一个问号，提供关于花瓣及各种共鸣和调节的含义的附加信息。

简而言之，这个界面使得生物标志物的详细个性化管理成为可能，促进脉轮和其他相关元素的分析与优化。

生物标志物能量与激动信息

能量

左侧的垂直刻度显示生物标志物的平均能量。低值（向下）表示低能量生物标志物。高值（向上）表示高能量生物标志物。对于某些生物标志物（例如针灸点、情绪等），能量可以是负或正，表示对整体平衡的影响。在这种情况下，低能量在刻度的中间表示。

激动

底部的水平刻度显示生物标志物的平均激动。低值（向左）表示主要静态的生物标志物。高值表示主要激动的生物标志物。

生物标志物花瓣

8个花瓣（加上开放的花朵，所有8个花瓣处于平衡状态）表示生物标志物的主要能量/激动区域。

静态

低能量，低激动。这是生物标志物可能的最低活动。通常与慢性、长期状况相关联。

低能量

低能量，正常激动。该生物标志物具有低而功能性活动。

紧张

低能量，高激动。这是痛苦的标志。

稳定

正常能量，低激动。该生物标志物是一个稳定的支柱。

灵活

正常能量，正常激动。开放的花朵表示最佳功能状态。

学习

正常能量，高激动。这表明学习过程，通常是对某些外部信息的反应。

资源

高能量，低激动。这是主要资源的特征。

适应

高能量，正常激动。这表明适应过程，通常是对某些外部刺激的反应。

不稳定

高能量，高激动。这表明一种急性、难以解决的情况。

生物标志物调节信息

这是对生物标志物的非线性分析。

注意力

表示对生物标志物管理的强度。

意图

较低的值表示分散（存在许多同时的生物标志物调节）。较高的值表示集中（强烈存在的生物标志物主要调节）。负值表示混乱（没有明确的调节）。过高的值表示过度警觉（调节过强）。

时间范围

较低的值表示短期激动（在生物标志物调节中更短期的管理多于长期）。较高的值表示长期放松（在生物标志物调节中更长期的管理多于短期）。

生物标志物共鸣信息

这是对同一组中生物标志物之间共鸣的非线性分析。

线程

表示与该组中其他生物标志物的共鸣总数（主要绳索的线程数量）。

强度

表示与该组中其他生物标志物的链接的总强度（主要绳索的宽度）。

范围

表示该生物标志物与同一类别中其他标记的链接的比例（主要绳索分成单独的绳索）。

资源

资源是与其他生物标志物的强链接。资源表示两个系统之间的能量交换。能量交换的主要方向被指示（接收自或发送给）。资源首先按其接收的最强资源或发送的最需要资源进行排序。

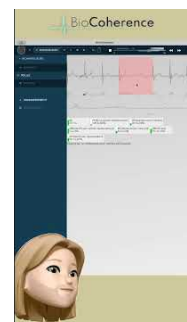
10.2. 脉冲波编辑和验证（原始记录）

在这一部分，我们将看一下如何编辑脉冲波，以应对录制问题，以及如何检查原始波形。首先，前往“生物标记”部分并选择“脉冲波”。然后，您将能够逐点查看每次心跳的波形。这种逐次可视化对于比较和观察每个波的演变非常有用。

除了我们习惯看到的平均波形外，重要的是要注意，真实的波形通常在这个平均值周围会更加抖动。例如，如果在录制过程中发生问题，例如部分波形未被检测到，软件会自动停用这一部分。然而，如果您决定应考虑这一部分，您可以重新激活该部分。

要做到这一点，只需点击相应的部分。您还可以通过单击来激活或停用单个心跳。停用的心跳将不再在花朵的计算或图表中被考虑。

最后，您将在脉冲波下方找到一组技术统计数据，如RR间隔、PR间隔、QRS间隔等。这些数据可以为进一步分析提供宝贵的信息。



biocoherence.net/n82.9

10.3. 监测生物标志物在会话过程中的变化

要分析生物标志物随时间的演变，首先访问“生物标志物”选项卡并打开“会话”，然后选择“动态”。您将看到生物标志物随时间的完整演变。

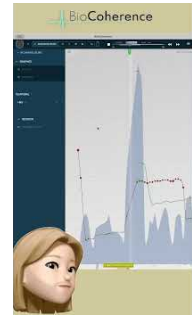
在播放模式下，您可以逐点移动光标以观察演变的不同部分。在屏幕底部，标记指示会话每个部分之间的分隔。您可以调整缩放以进行更精确的分析，并在会话的不同部分之间导航，无论是第二部分、第三部分等。

您可以通过单击您希望添加事件的位置来添加事件。例如，如果您执行了一项值得注意的操作，您可以标记此事件。添加后，事件会作为标记显示在屏幕底部，您可以通过单击它再次访问。您还可以通过编辑事件然后确认新位置来移动事件。

事件用于记录您实践中的重要方面，并且还会出现在各个部分的摘要中。演变图分为几个部分：非常短期（瞬时演变的蓝色背景）、中期、长期和非常长期。非常长期提供一个更长时间段的平均值，需要大约90次心跳来计算。

分析非常短期和中期之间的关系至关重要。有时，非常短期曲线位于中期曲线的上方或下方。当曲线位于下方时，用红色标记；当位于上方时，用绿色标记。这些指示提供了评估测试期间瞬时趋势的重要信息。

最后，信息的综合以“花朵”的形式提供，指示能量和激动水平。该摘要也可以分部分进行分析，以观察不同部分的演变。



biocoherence.net/n82.16

10.4. 频率和谐波分析

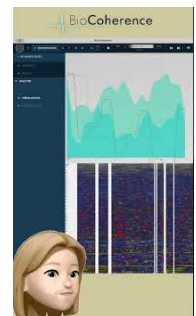
通过一种称为FFT的数学运算，波被转换为频率，然后对这些频率进行分析以找到它们的谐波。

在这一章中，我们将关注从波形计算出的频率和谐波。我们仍然处于生物标志物空间，即在技术列表中。

首先，打开频率。您将看到一个显示在0到60 Hz之间。在此显示的顶部，您会找到最低的频率，即低于0.03 Hz的非常低频率、低频率和大约0.4 Hz的高频率。这些频率范围通常包含非常有趣的信息。

我们首先查看0-3 Hz范围，但也可以找到其他频率带的信息。

接下来，进入谐波部分。此部分对频率进行计算，以确定哪些是最强的。这里获得的信息也与各种生物标志物相关。这种技术分析允许您扫描录音并识别主要频率。用肉眼在这些显示屏上区分相关信息是困难的，但这是应用程序用于计算生物标志物的基础之一...



biocoherence.net/n82.7

FFT（快速傅立叶变换）是一种快速高效计算傅立叶变换的算法。它广泛用于信号处理、谱分析和数据压缩。傅立叶变换是一种数学工具，可以将一个函数或信号分解为不同频率的正弦波的总和。它将信号从时域转换到频域。

10.5. 因果链

BioCoherence中的因果链功能提供了一种全面的方法来分析不同生物标志物之间的相互联系，使用户能够识别失衡的根本原因，并确定最有效的干预措施。与之前仅显示同一类别内（例如，器官与其他器官相关联）关系的方法不同，因果链将这种分析扩展到包括所有生物标志物类别，例如经络、脉轮、原子、病原体等。此功能使用户能够：

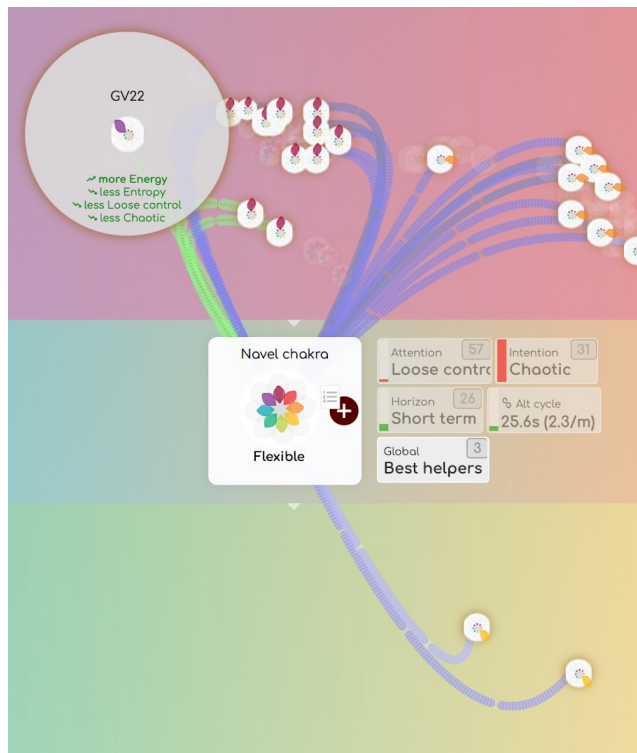
- 识别失衡的根本原因。
- 确定哪些生物标志物彼此共振。
- 找到最佳辅助者以恢复平衡。
- 建立一个定制的和諧优先列表。

访问因果链

要访问因果链：

1. 打开分析并导航到生物标志物部分。
2. 选择一个感兴趣的生物标志物（例如，一个器官、经络或驱动）。
3. 点击关系菜单下的因果链子菜单。

这将打开一个新界面，显示所有与所选生物标志物共振的生物标志物。



理解因果链界面

因果链界面展示了一个相互连接的生物标志物网络图。主要元素包括：

1. 中心生物标志物

- 您选择的生物标志物位于图的中心。
- 所有与其共振的其他生物标志物围绕它显示。
- 您可以点击周围的任何生物标志物，将其置于中心并重新计算。

2. 共振生物标志物

- 仅显示当前与中心生物标志物共振的生物标志物。
- 这些生物标志物被分为不同组别，例如器官、经络、脉轮、原子、病原体等。组别显示在屏幕底部。点击组名以显示相关生物标志物。每个组可以显示一个或两个数字：
 - 始终显示该组中相关生物标志物的数量
 - 仅在存在时，显示在一个白色圆圈中：该组中的大链接数量（最佳辅助者）。

3. 关系强度

每个生物标志物之间的连接都通过颜色编码：

- 大链接（白色、绿色或蓝色）：最佳辅助者，具有最强的共振和最能提供帮助的能力（最佳能量、激发和质量改善）
- 绿色：对中心生物标志物的积极影响（例如，增加能量，减少熵）。

- 蓝色：中心生物标志物向其发送能量。
- 细链接表示与注意、意图和视野相关的特定关系。顶部的图例显示它们的含义。

4. 能量和熵映射

- 生物标志物根据能量水平（低到高）和激发（熵）（低到高）在图形图上定位，方式与花瓣在花上的组织相同。
- 这允许用户直观评估哪些生物标志物对稳定性或失衡产生影响。

5. 过滤和最佳辅助者

用户可以根据特定特性过滤显示的生物标志物：

- 增加注意
- 增加意图
- 增加视野
- 与主要周期对齐
- 最佳辅助者（提供最有益影响的生物标志物）

6. 导航和历史

- 点击任何生物标志物将其置于分析中心，允许用户探索其因果链。
- 历史面板跟踪探索路径，允许用户返回到先前的生物标志物。
- 用户可以导航回原始生物标志物或深入探索相关生物标志物。

详细指南：使用因果链进行分析

步骤1：识别根本原因

- 从优先列表中的生物标志物开始。
- 打开因果链查看哪些生物标志物正在影响它。

步骤2：找到最佳辅助者

- 使用最佳辅助者过滤器识别可以积极影响中心生物标志物的生物标志物。
- 寻找绿色连接，因为这些指示对其的最强有益关系。
- 蓝色连接可能指示其他元素受此生物标志物的帮助并从中获取能量，从而揭示可以解释当前状态的因果链接。

步骤3：建立自定义优先列表

- 点击一个生物标志物并将其添加到优先列表中。
- 继续探索相关生物标志物并将相关生物标志物添加到列表中。
- 这确保和谐过程不仅解决症状，还解决根本原因。

步骤4：应用发现

- 使用和谐增强功能播放选定频率。
- 如适用，将中医针灸点、器官、经络或原子整合到和谐过程。
- 通过在每个生物标志物上添加选定协议来改善和谐增强。
- 监测多个会话中的进展，以跟踪改善情况。

示例用例

场景：解决肺部失衡

1. 从优先列表中选择肺部。
2. 打开因果链以查看相关生物标志物。
3. 识别最佳辅助者：例如，器官：胃、肝脏 - 经络：肾脏、膀胱 - 原子：铈、铀 - 驱动：缺乏信任、过度敏感
4. 将最相关的生物标志物添加到优先列表中。
5. 播放和谐频率（和谐增强）和程序（个人指南），并跟踪进展。

因果链的好处

- 整体分析：提供生物标志物之间相互联系的完整视图。
- 个性化方法：根据个体独特的能量状态定制和谐，并允许从特定症状开始，找到相关的因果链项。
- 深入洞察：帮助从业者和用户理解失衡的根本原因。
- 高效优先级：专注于对更快结果影响最大的生物标志物。

因果链是BioCoherence中的一个强大工具，它增强了在更深层次分析和解决失衡的能力。通过绘制生物标志物之间的关系并识别最佳辅助者，用户可以创建高度有效的和谐增强和个人指南程序，以满足其特定需求。

10.6. 流行率

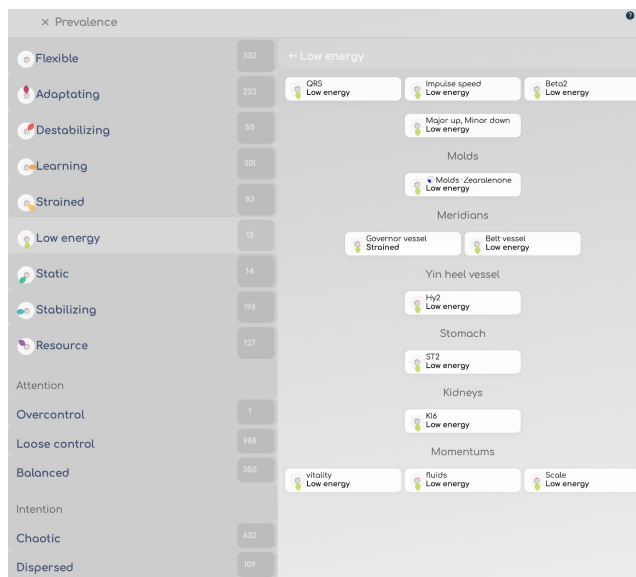
这个屏幕允许一目了然地查看特定状态下的所有生物标志物：

- 按花瓣状态（灵活、适应、低能量、资源……）
- 按质量（注意、意图、视野）

主页显示每个状态下生物标志物的数量；点击它以列出相关的生物标志物。

您可以使用菜单中的选择器筛选生物标志物类别。例如，您可以仅显示器官流行率，或特定经络中的点，或驱动（情感）。

流行率可以帮助您快速获取概览，并查看记录中多次重新评估的进展。



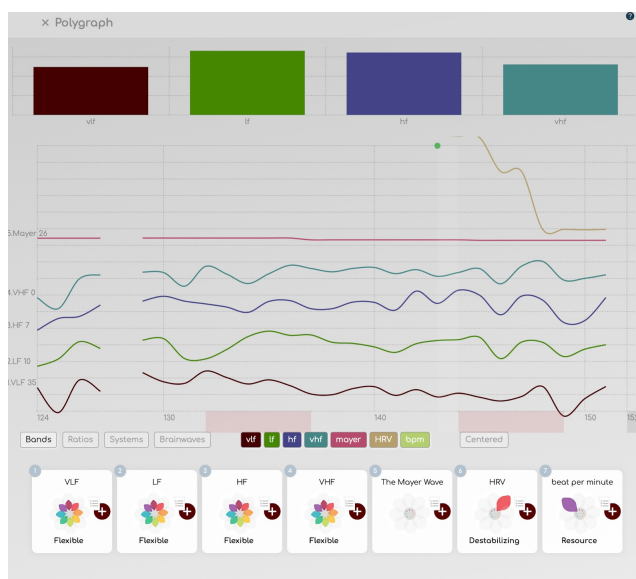
10.7. 多通道测谎仪

此屏幕主要使用学术生物标志物。

它提供了一种方便的方式，可以一目了然地查看例如VHF、HF、LF和VHF比例，以及最多7条重要曲线的线性图。

在录制过程中实时使用此功能，所有屏幕（只需在录制期间切换屏幕）均可使用。所有这些标志物都来自于对心电图的学术研究。您可以选择最多7条您所选择的带宽，平行显示或集中在同一条线上。

- 在带宽模式中，7条线为：Bpm、HRV、梅耶波、VHF、HF、LF和VLF。
- 在比率模式中，7条线为：SDNN（总功率）、SI（应激指数）、IC（集中化指数）、LF/HF（功率，迷走-交感神经相互作用）、LF/VLF（放松）、VLF/HF（应激）和VLF/HF（全球活动）。
- 在系统模式中：CNS、正交、交感、迷走、IRSA、免疫、HRV。
- 在脑电波中：Delta、Theta、Alpha、Beta、Beta1、Beta2、Gamma。



点击图表下的类别以显示这些项目；点击彩色图例中的项目以显示或隐藏它们。点击“居中”以显示所有项目在同一基线。点击图表下的花朵以访问完整的生物标志物详细信息。

如果您使用此图表进行研究，它可能成为新见解或新生物标志物的基础。此外，请记住，您可以在其时间轴上分析任何生物标志物，并在生物标志物动态屏幕上查看事件。

11. 理解：能量

能量屏幕功能图形展示生物钟、脉轮、冲动、原子、影响、阿育吠陀、微生物……

11.1. 原子

元素周期表

在原子页面，您可以访问元素的周期表，以获取有关不同原子的相关信息。通过点击该表中的原子，您可以查看它可能与其他原子的键，即常见的共振。这条信息也可以在屏幕底部查看，但直接在表中查看更加直观。

目前，该应用程序为每个原子的共振提供一般评估。未来的版本可能会基于不同原子之间的键，启用整个分子的共振重建。此功能在您进行体检时可能特别有用，以查看某些元素的过量或不足，或者借助可以比较的多部分记录，查看某个元素在应用产品或治疗后是否正在稳定。



biocoherence.net/n82.114

11.2. 阿育吠陀能量评估

多沙和次多沙

阿育吠陀是一种传统医学体系，与传统中医不同，尽管它确实有一些相似之处，特别是以15个亚多沙（sub-doshas）的形式对应12条经络。这些亚多沙分为三种主要影响：卡法（Kapha）、皮塔（Pitta）和瓦塔（Vata）。

这些影响可以被一般性地感知，我们通常的花朵形状的视觉表示可以显示这些影响。也可以展示单个元素，称为亚多沙。通过点击其中一个亚多沙，您可以看到它对应的组。例如，一个亚多沙可能对应于皮肤和四肢组皮肤。另一个亚多沙可能对应于不同的组，依此类推。



biocoherence.net/n82.98

根据阿育吠陀的三种多沙

1. 瓦塔 (Vata)

- 描述：与空气和以太相关，瓦塔控制身体内的运动，包括血液循环、呼吸和神经冲动。

2. 皮塔 (Pitta)

- 描述：由火和水组成，皮塔控制消化、新陈代谢和能量生产。

3. 卡法 (Kapha)

- 描述：由土和水组成，卡法负责身体结构、稳定性和关节润滑。

15种亚多沙

瓦塔亚多沙

1. 普拉纳瓦塔 (**Prana Vata**)
 - 功能：控制呼吸和思维。
2. 乌达纳瓦塔 (**Udana Vata**)
 - 功能：控制语言和表达。
3. 萨曼纳瓦塔 (**Samana Vata**)
 - 功能：调节消化和食物的同化。
4. 维亚纳瓦塔 (**Vyana Vata**)
 - 功能：监督循环和体液的运动。
5. 阿帕纳瓦塔 (**Apana Vata**)
 - 功能：调节废物排泄。

皮塔亚多沙

6. 帕查卡皮塔 (**Pachaka Pitta**)
 - 功能：控制胃和肠道中的食物消化。
7. 兰贾卡皮塔 (**Ranjaka Pitta**)
 - 功能：负责血液的形成。
8. 萨达卡皮塔 (**Sadhaka Pitta**)
 - 功能：影响情感和心理健康。
9. 阿洛查卡皮塔 (**Alochaka Pitta**)
 - 功能：影响视觉和视觉感知。
10. 布拉贾卡皮塔 (**Bhrajaka Pitta**)
 - 功能：调节皮肤健康。

卡法亚多沙

11. 克莱达卡卡法 (**Kledaka Kapha**)
 - 功能：润滑和保护胃壁。
12. 阿瓦兰巴卡卡法 (**Avalambaka Kapha**)
 - 功能：支持心脏和肺。
13. **Bodhaka Kapha**
 - 功能：调节口腔和唾液功能。
14. **Tarpaka Kapha**
 - 功能：润滑大脑和神经系统。
15. **Shleshaka Kapha**
 - 功能：润滑关节。

这些多沙和亚多沙共同作用，以维持身体和心理的平衡与健康。

11.3. 脉轮可视化

在本章中，我们将探索能量标签，首先是脉轮部分。此部分允许您详细查看和互动脉轮信息。

首先，您可以选择通过点击专用按钮来显示脉轮。您可以通过点击屏幕底部的小“12”按钮来显示7个或12个脉轮。

一旦脉轮显示出来，您可以通过点击特定的脉轮来选择它。此操作使您能够访问与该脉轮有关的所有信息，包括能量链接和相关的针灸点。针灸点指示脉轮的出入口，并根据其能量水平在屏幕上以不同大小显示。

此外，脉轮光环也会显示，其呈现根据所选脉轮的整体能量而有所不同。通过这种方式，您可以获得每个脉轮能量状态的准确视觉表示。



biocoherence.net/n82.14

11.4. 影响

五行：木、火、土、金、水

另一个重要的能量概念是影响。这一屏幕被称为“影响”，可视化了根据传统中医（TCM）评估的五行之间的关系。这些关系可以是生成、破坏、侮辱或过热。

例如，木可以通过施加压力影响金，而水可以压制火。另一方面，木有助于产生火。这些关系是根据中医规则和经络评估推导出来的。

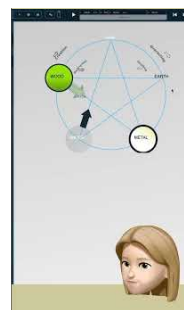
传统中医（TCM）的五行是：

1. 木：与肝和胆相关。
2. 火：与心和小肠相关。
3. 土：与脾和胃相关。
4. 金：与肺和大肠相关。
5. 水：与肾和膀胱相关。

这些元素之间的主要关系是：

- 生成周期（Sheng）：木 > 火 > 土 > 金 > 水 > 木。
- 控制周期（Ke）：木 > 土 > 水 > 火 > 金 > 木。

这些周期确保了身体的平衡与和谐。



biocoherence.net/n82.116

11.5. 动量

约束、平衡和运动

在这一部分，我们将探讨能量管理中的动量。要访问此功能，请转到“能量”菜单并点击“动作”。在这里，您将发现大约二十种可用的动量，分为三大类：约束、平衡和运动。

动量的原则

我们的身体不断在运动：运动就是生命。但我们是由无数元素组成的，其中一些是我们的一部分，一些是外部约束，还有一些想要违背整体利益。我们将冲动分为三类：那些减缓我们速度的、那些平衡我们的以及那些推动我们的。

1. 约束

约束是对运动施加刹车的元素。这些包括：

- 地质压力（点击图表中的任何元素以获取更多信息）。
- 地质辐射。
- 地质水：水脉、断层等，导致地下电流。
- 有害能量。
- 重金属。
- 病原体。
- 毒气。
- 毒素。

2. 平衡

平衡部分涵盖了帮助维持稳定的方面。它包括：

- 情感平衡。
- 能量平衡。
- 睡眠质量。
- 地形（整体身体平衡）。
- 垂直平衡。

3. 运动

运动涵盖了赋予您活力的因素。主要元素包括：

- 身体。
- 活力。
- 血压。
- 液体。

您还可以观察整体运动，并根据您记录的不同阶段和部分进行比较。

一个有趣的观点是这些元素之间的关系。例如，在这里，身体与情感平衡相关，而血压接收并发送信息到不同的位置，这可以为整体分析质量提供有价值的见解。

通过结合这些信息，您可以更好地理解和管理您能量和驱动力的不同方面。



biocoherence.net/n82.97

12. 理解：身体

使用导航和评估方法在身体屏幕中

身体筛查包括三种主要类型的分析：中医经络、带有相关中医处方的针灸点以及器官。

12.1. 中医经络

14 或 20 条经络、链接和相关症状

应用程序的“身体”部分提供了三张主要信息表：经络、针灸点和器官。本章将重点介绍如何导航和评估经络。

1. 经络显示:

- 应用程序允许您选择14条或20条经络。
- 在20条经络模式下，除了标准经络外，还显示了奇经。
- 在14条经络模式下，显示主要的12条经络，以及两条脉管：督脉和任脉。

2. 导航和可视化:

- 您可以点击屏幕顶部以显示经络的路径及其主要特征。
- 点击花朵图标会弹出额外信息。
- 点击以在经络之间导航，查看它们之间的联系。
- 可以在会话的不同部分中跟踪经络的发展。
- 使用左侧或顶部菜单在手机上导航。

3. 经络评估:

- 点击经络列表将显示它们的评估。
- 子菜单提供三种标准：能量、熵和一致性。
- 这些标准的逻辑适用于所有核心页面。

4. 评估标准:

- 能量
 - 以两列显示：最具能量的经络和最少能量的经络。
 - 每次点击显示更多或更少的经络。
 - 基于当前能量状态和中医（TCM）症状的额外信息。
 - 与其他经络交叉参考信息，以获得更精确的细节。
- 熵
 - 显示最激动和静态的经络。
 - 提供与每种情况相关的可能症状。
- 一致性
 - 显示共同共振的经络。
 - 一致性的经络形成一个以相同节奏共振的系统。



biocoherence.net/n82.96

5. 信息的使用:

- 能量-熵-一致性逻辑用于分类评估的主要元素。
- 这些元素帮助理解被评估者的功能。

遵循这些指示，您将能够有效地导航应用程序，并使用评估标准获得有关经络、它们的能量状态、熵和一致性的详细信息。

关于中医中的经络:

在中医 (TCM) 中，经络是气 (生命能量) 流动的能量通道。主要有12条经络和8条奇经，包括2条调节经络。具体如下:

12条主要经络:

1. 肺经 (LU) : 调节呼吸和免疫系统。
2. 大肠经 (LI) : 排除固体废物, 调节肠道功能。
3. 胃经 (ST) : 消化食物, 吸收营养。
4. 脾/胰经 (SP) : 营养的转化和运输, 提供能量支持。
5. 心经 (HT) : 支配血液和血管, 控制心智。
6. 小肠经 (SI) : 分离纯物质和不纯物质, 吸收营养。
7. 膀胱经 (BL) : 排除液体废物, 调节体液。
8. 肾经 (KI) : 储存生命精华, 调节水分, 控制骨骼和耳朵。
9. 心包经 (PC) : 保护心脏, 调节情绪和血液循环。
10. 三焦经 (TE或SJ) : 调节三焦 (上、中、下), 控制能量和液体的循环。
11. 胆经 (GB) : 储存和排泄胆汁, 帮助决策。
12. 肝经 (LV) : 储存血液, 调节气流, 支持肌腱和肌肉。

8条奇经:

1. 任脉 (Ren Mai) : 调节阴经, 控制生殖。
2. 督脉 (Du Mai) : 调节阳经, 控制中枢神经系统。
3. 冲脉 (Chong Mai) : 调节血液和主经络的能量。
4. 带脉 (Dai Mai) : 环绕垂直经络, 调节性器官和腹部。
5. 阴跷脉 (Yin Qiao Mai) : 调节阴阳平衡, 控制睡眠和清醒。
6. 阳跷脉 (Yang Qiao Mai) : 调节阴阳平衡, 影响肢体运动。
7. 阴维脉 (Yin Wei Mai) : 调节阴经, 影响情绪。
8. 阳维脉 (Yang Wei Mai) : 调节阳经, 影响身体防御。

2条调节经络:

1. 任脉 (Ren Mai) : 已在奇经中提到。
2. 督脉 (Du Mai) : 已在奇经中提到。

这些经络共同工作以维持能量平衡和整体身体健康。

12.2. 器官图谱

超过10个详细的器官图表和链接

在本节中，我们将探讨我们身体评估应用中器官的功能。当您访问器官类别时，您将首先看到全身可视化。您可以通过点击特定器官进入一般评估，以查看其与身体其他部分的关系。例如，突出显示的器官是那些感兴趣的器官。通过点击心脏，您将看到它与各种器官的连接，这些关系在地图上也可见。

您可以通过点击特定系统（例如呼吸系统）轻松导航，以查看其连接，包括与神经递质、舌头、口腔和各种组织的连接。点击口腔会放大消化系统，修改地图以显示口腔与消化系统其他方面之间的关系。

您还可以选择不同的地图，例如大脑地图。该地图将向您展示大脑的不同部分，并以列表形式提供完整评估。如果您希望定位某个特定部分，地图将为您显示它。例如，如果您点击松果体，您将看到它的位置以及它接收和发送信号的腺体。每个元素，例如血清素或催乳素，都可以进行探索，以查看它与其他激素的连接或缺乏连接。

器官部分还提供查看能量、熵和一致性的选项，这些根据使用的屏幕而有所不同。在全身屏幕上，这些参数会显示出被认为最相关的元素，指示其能量资源或激动水平。例如，通过检查牙齿或椎骨，您可以识别出哪一些是最有活力或激动的，从而为全面检查提供有价值的信息。

最后，作为提醒，每当您识别出相关项目时，您可以通过点击专用图标将其添加到优先列表中。这将使它们能够被纳入后续和谐的平衡选择中。



biocoherence.net/n82.95

12.3. 针灸点

评估超过350个针灸点以及数百个中医食谱的相关性

对点和经络的探索

在软件中探索身体时，您可以访问经络、点和器官。通过点击特定的经络，显示会更改为显示每个经络上点的详细信息，而不是整个经络。此功能使得对每个点的精确评估成为可能。

点的选择和信息

您可以点击每个点以获取有关该特定点的详细信息。还可以选择一个经络并查看其每个点的状态。通过切换经络，您可以在地图上查看不同点及其位置，这对于高效导航特别有用。

导航和跟踪经络

您可以通过点击屏幕顶部选择器中的经络标题来导航经络。您还可以查看点在多个会话中的演变。这一功能对于跟踪特定点随时间的演变非常宝贵。



biocoherence.net/n82.94

经络特定信息

当您选择一个经络时，您可以访问与经络选项卡中可用的信息不同的信息。在这里，您会找到八个主要点，例如大使点、分散点、涌泉和河流，这些在传统中医（TCM）中是必不可少的。关于经络的供电和连接的信息也可以获取。

在地图上显示点

点击一个点会在地图上显示其精确位置。左侧的菜单提供诸如能量、熵和相干的信息等选项。通过选择能量，显示将分别用紫色和黄色显示最有能量和最少能量的点。

TCM配方逻辑

该应用程序使用TCM配方逻辑，将多个点结合在一起以纠正症状。例如，如果某些点一起共振且过于虚弱或过于强大，这可能表明存在不平衡。TCM配方经过数千年的发展，用于治疗特定症状，如胃酸反流。在此应用程序中，我们应用了反向逻辑。我们假设如果某些点一起共振且能量水平过低或过高，这可能会为我们提供有价值的见解。例如，高能量或非常低能量的点，或者过于激动或过于静态的点，可能会表明在通常用于治疗胃酸反流或烧心等状况的相干系统中的不平衡。以个体身上三个特定点非常静态的情况为例。这可能表明与这些点相关的配方或治疗对该人是必要的。这种方法可以为您提供额外的诊断思路。

应用配方

可以通过针灸或在平衡阶段使用声音或电频率来应用配方。相干系统中，点一起共振，对于准确诊断尤其相关。点的同步化表明TCM治疗对被分析者的相关性增加。

结论

本章详细介绍了在TCM软件中使用点和经络，解释了如何导航、选择和解释信息以实现准确诊断和有效治疗。

13. 理解：思想

心灵、精神和阴影

这些屏幕专注于分析的心理、精神和无意识部分。它们包括个性、音乐和谐、情感、对齐、创伤和动机。

13.1. 对齐

精确度和一致性在Elfie波管理中的作用

对齐是心智的一个重要组成部分，特别是在处理Elfie波时。对齐在这些波的不同尺度上表现出来，理解它们可以通过使用可视化工具来促进。例如，心脏一致性可以通过视觉方式表示，提供一个关于个体能量状态的视角。

在界面中，底部的三个滑块允许参数可视化，而顶部则显示了内爆螺旋的可视化。Elfie波尺度，由值205、206和214所示，指示当前的尺度水平。要获取特定值的详细信息，例如214 Elfie，只需点击以获取其特征和含义的详细信息。

每个尺度在某些波长上呈现显著的值，提供关于能量交互的有价值信息。通过观察这些尺度，可以确定与其他尺度水平的连接程度。例如，分析可能会显示个体在微观尺度上比在宏观尺度上更有活力，这表明在较小结构中能量更集中。

螺旋的可视化允许您跟踪能量路径穿过不同的尺度。通过沿着螺旋向下移动并观察每个层级的值，可以理解能量如何随时间演变。这在扩展记录中尤为相关，在那里可以研究不同尺度上的演变。

此分析的一个关键方面是目标一致性，特别是心脏一致性，它衡量个体的能量与Elfie值的同步程度。这些值被认为是在所有尺度上能量传输的最兼容值。光标在调整这些参数以实现最佳一致性方面发挥着重要作用。

总之，Elfie波管理中的对齐和一致性是复杂但基本的概念，用于理解不同尺度上的能量。可视化工具和光标在导航和优化这些参数方面提供了宝贵的帮助，促进更好的能量管理和传输。

更多信息请访问<https://elfie.link>或在软件中的“Elfie”菜单上。



biocoherence.net/n82.103

13.2. 脑波

一般脑波活动分析

在本节中，我们将查看“心理”界面的最后一个选项卡，该选项卡涉及脑电波。此功能仍处于实验阶段。说我们可以在心电图读取脑电波是大胆的，因此它允许您检查与各种脑电波相对应的心电图中的分析光谱，并观察它们随时间的演变。毕竟，我们的设备测量的是全身的电活动，但脑电波的强度比心电图低100倍，因此它仍然是一个实验算法。

脑电波显示是动态的。当处于回放模式时，您会注意到一个多频带显示。这种显示的逻辑是，频带越宽，表示的时间段就越长。相反，较薄的频带表示较短的时间段。

以下是不同频带的解释：

- 最短的频带对应于非常短期的测量，测量在每次心跳或几次心跳的水平。
- 随着频带的加宽，它们表示越来越长的时间段。

值得注意的是，短期元素移动得非常快，而长期元素则显示出较慢的变化。

当您单击一个频带时，屏幕底部会显示一个评估，并显示您所知道的花朵的表示。您可以使用此评分将项目直接添加到优先列表中，从而使跟踪和分析您的脑电波变得更加容易。



biocoherence.net/n82.105

了解更多信息

脑电波分为几类，每类与不同的心理状态和警觉水平相关：

1. **Delta波 (0.5-4 Hz)**：与深度睡眠和再生相关。
2. **Theta波 (4-8 Hz)**：与深度放松、冥想和浅层睡眠阶段相关。
3. **Alpha波 (8-12 Hz)**：与平静放松状态和清醒冥想相关。
4. **Beta波 (12-30 Hz)**：与集中注意力、警觉性和认知活动相关。
5. **Gamma波 (30-100 Hz)**：与高认知过程相关，如学习和记忆。

这些波动根据个体的活动和心理状态而波动。

13.3. 驱动器

51 情感、感觉和行为面对面，分为3个主要组和每个组的3个子组。

理解心智与潜意识的引擎

心智和潜意识扫描的最终元素涉及到驱动器。这些驱动器由大约六十种情绪组成，这些情绪可以是建设性的或破坏性的。这些情绪被分类为三类：内在自我、外在自我和他人。

1. 情绪类别：

- 内在自我: 包括与我们内心世界相关的所有情绪。
- 外在自我: 包括与我们外部世界相关的所有情绪。
- 他人 包括与我们与他人互动相关的所有情绪。



biocoherence.net/n82.104

2. 情绪结构:

- 每个情绪类别被分为三个子类: 情绪、感觉和行动。
- 情绪: 所有认知的基础, 它随后产生感觉。
- 感觉: 源于情绪并导致行动。
- 行动: 情绪-感觉过程的最终结果。

3. 横向组织:

- 情绪也可以横向分类: 顶部是建设性情绪, 底部是破坏性情绪。
- 例如, 抑郁与放手相对, 健康焦虑与冥想状态相对, 心碎与快乐相对, 自我破坏与满足相对。

4. 相互联系:

- 情绪可以在不同的地方相互联系。例如, 平静与强迫性痴迷相对, 反思与严厉相对, 等等。
- 这些相互联系为冥想和自我理解提供了重要信息。

5. 自定义:

- 可以选择特定情绪进行处理。例如, 如果组织处于低能量状态, 您可以决定增强它。
- 您可以将特定项目添加到您的个人工作清单中, 例如高能量决策。

简而言之, 理解和组织这些情绪驱动可以更好地管理我们的情绪和行动, 促进更平衡和自觉的个人发展。

了解更多

情绪和感觉是对外部和内部刺激的内在反应。

- 内在自我包含自我意识、个人思想和感觉。
- 外在自我涉及我们向他人投射的形象以及我们在社会中展示的行为。
- 他者自我涉及我们对外部世界所呈现的一切的反应方式。

与他人的互动通过情感交流和社会反馈影响这两个维度。快乐、悲伤、愤怒和恐惧等情绪塑造我们的经历和行动, 从而影响我们对自己和他人的看法。更好地理解这些动态可以提高情感智力和人际关系。

以下是每种情绪的详细描述:

1. 敏捷性: 快速有效适应变化的能力。
2. 健康焦虑: 对自己或他人健康的过度关注。
3. 善良: 对他人的友善和同情的态度。
4. 心碎: 失去或失望后的深切悲伤和情感痛苦。
5. 平静: 一种宁静和内心安宁的状态。
6. 魅力: 吸引、魅惑和影响他人的能力。
7. 专注: 在特定任务或目标上保持注意力的能力。
8. 自信: 对自己或他人的能力感到确定和安全。
9. 体谅: 对他人的感受和需求的关心和尊重。
10. 勇气: 面对恐惧、痛苦、危险或不确定性的能力。
11. 决策: 坚定和果断地做出选择的能力。
12. 抑郁: 长期的悲伤、绝望和对生活失去兴趣的状态。
13. 意志力: 尽管面临障碍, 仍决定追求目标的决心。
14. 欣快: 强烈的幸福和兴奋感。
15. 口才: 清晰有效地表达自己的能力。
16. 情感不稳定: 情绪的过度 and 不可预测的变化。
17. 同理心: 理解和分享他人感受的能力。
18. 情绪波动: 情绪的频繁和不可预测的变化。

19. 疲惫: 极度疲劳的感觉, 包括身体和情感上的疲惫。
20. 悲伤: 强烈的情感痛苦, 通常由于失去引起。
21. 诚实: 坦率和真诚的品质。
22. 希望: 对更美好未来的积极期待。
23. 绝望: 对未来的完全失去希望和信心。
24. 过度情绪化: 对刺激的过度情感反应。
25. 过度敏感: 对情感或感官刺激的反应性增强。
26. 思维不连贯: 难以维持逻辑、结构化的思维线索。
27. 缺乏悲伤: 感到超然和情感冷漠。
28. 缺乏自信: 对自己或他人的能力的怀疑。
29. 学习困难: 影响获取知识或技能能力的障碍。
30. 放手: 能够放弃控制并接受事物的本来面目。
31. 忠诚: 对某人、团体或事业的忠诚和奉献。
32. 冥想状态: 深度放松和增强意识的状态, 通常通过冥想实现。
33. 记忆: 保留和回忆信息的能力。
34. 长期记忆: 在较长时间内存储和回忆信息的能力。
35. 短期记忆: 能够在短时间内保留信息的能力。
36. 强迫症: 重复、不受控制的思想或行为。
37. 痴迷: 对某个想法或人的过度和持续的关注。
38. 组织能力: 有条理和高效地安排自身活动的的能力。
39. 表现能力: 成功完成任务或活动的的能力。
40. 快乐: 感到满足和愉悦的感觉。
41. 拖延: 推迟重要任务的倾向。
42. 僵化: 思维或行为缺乏灵活性。
43. 无礼: 对他人的粗暴或无情行为。
44. 自我破坏: 故意破坏自己成功的行为。
45. 空间意识: 对周围空间及其包含的物体的感知。
46. 停滞不前: 缺乏进步或发展的状态。
47. 惊讶: 对意外事件的情绪反应。
48. 反思: 对某个主题或情境的深入、专注的思考。
49. 害羞: 在社交互动中的保留或焦虑。
50. 宽容: 接受和尊重他人的差异。
51. 意志力: 尽管面临困难, 仍决心实现目标的决心。

13.4. 情感

悲伤、安全、爱、真理、和平、幸福和满足

关于无意识的章节分为三个主要领域: 情感、创伤和动力。我们将从情感开始。

在此页面上, 您可以评估七种主要情感: 悲伤、安全、爱、真理、和平、幸福和满足。您还可以跟踪它们的演变。通过点击条形图, 您可以以花朵的形式可视化生物标志物, 显示其内部动态以及这些情感之间的联系。在此, 图表显示了不同时间范围的评估, 最宽的条形图代表长期, 而最细的条形图代表短期。

此分析在技术上与Drives中的数据非常不同, 因此比较它们是非常有趣的。

这些主要情感依赖于二阶谐波分析和整体深层心脏节律。它们可以描述如下:

1. 悲伤: 因失去、失败或失望而造成的痛苦或忧郁感。它通常表现为哭泣、缺乏能量和退缩。



biocoherence.net/n82.115

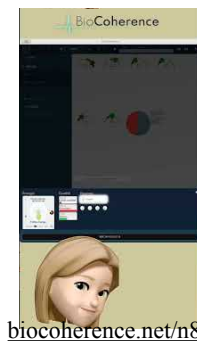
2. 安全：一种保护感和无危险的状态。它带来信心与宁静，让我们感到免受身体或情感威胁的安全。
3. 爱：对某人、动物或活动的深厚情感和依恋。它转化为温柔的举动、积极的思想和对亲近的渴望。
4. 真理：一种真诚和真实性的感觉。真理为关系和情况带来清晰和透明，避免混淆和欺骗。
5. 和平：一种宁静和内心和谐的状态。和平表现在没有冲突、压力和焦虑的状态中，促进放松和整体幸福。
6. 幸福：一种健康、舒适以及身体和心理满意的总体感觉。它包括健康、情感平衡和个人成就等方面。
7. 满足：因满足愿望、需求或目标而产生的满意和愉悦的情感。它带来成就感和满足感。

13.5. 专注

压力指数，心率变异性...

在本节中，我们将探讨焦点屏幕，它提供了对高级心电图分析至关重要的大量信息。这些信息通常用于学术和研究环境，并包括各种科学标记。

1. 压力指数：该指数由俄罗斯研究员Bevski开发。它通过特定参数测量身体的压力水平。
2. 适应水平：另一个在俄罗斯开发的指数，用于评估身体对不同刺激和条件的适应能力。
3. 总功率、变异因子和心脏变异性：这些标记在心脏病学领域广为人知，用于测量心脏功能和压力反应的各个方面。
4. 心理-情感压力：该指标评估对心脏系统的情感和心理影响。



焦点屏幕提供的数据可以以光标的形式显示，以实现快速可视化。或者，它们可以以注释、花朵和质量的形式呈现，从而实现更详细的分析。

焦点屏幕还包括有关注意力、意图和视野控制质量的信息。这些指标提供了关于用户心理和情感状态的额外信息。

该屏幕的一个有趣方面是构建（分解代谢）和破坏（合成代谢）之间的关系。分解代谢代表能量支出，而合成代谢对应于能量的保存。这个比例是动态的，并且在录音过程中会有所变化，反映生物系统的一般呼吸。请记住，我们是一个系统整体，破坏是压缩-扩张、破坏-重建、分离-再统一、复杂化-简化的一般运动的一部分。一个健康的复杂有机体应该在这些状态之间不断振荡。

观察这些动态变化至关重要，因为它们表明构建与破坏之间比例的演变。加入这个演变因素可以更好地理解生物系统的呼吸。

最后，焦点屏幕呈现了两朵花，代表合成代谢和分解代谢，以提供关于这些过程的可视化信息。这些数据可以逐部分进行分析，也可以在整个录音中分析，提供用户生理和心理状态的完整概述。

13.6. 音乐

音乐分析与对齐

在这一部分中，我们将探讨心理概念的第二部分，其中包括心智、灵魂和潜意识。我们将主要集中在心智上，特别是音乐和协调的元素。

录音中的音乐

当我们分析心智时，我们首先识别录音中存在的音乐元素。目标是找到相关的音乐对应关系。你有两个选择：可视化所有音乐元素或将它们回放以观察它们随时间的演变。

细条表示短期元素，而宽条则表示长期元素。另一个有趣的指标是录音中音乐和谐的整体水平。在大约一百个节拍后，我们可以开始识别特定的短期、中期、长期和非常长期的音乐和弦。

这些和弦可能包含2、3或4个音符，并分布在不同的音阶上。尽管这些信息并不总是直接有用，但在重建引导冥想时变得至关重要。它使我们能够理解参与者的当前状态，即他们录音中存在的音乐，并确定我们希望在音乐上将他们带到哪里。

音乐协调和调整

音乐协调涉及调整音阶和和弦类型以符合冥想的目标。例如，如果当前的和弦是小七和弦，而我们希望转向大和弦，那么这种过渡将在冥想过程中逐渐进行。同样，如果我们瞄准的某个频率不存在，我们将构建音乐，使其逐渐向该目标频率演变。

其理念是带领参与者在他们当前的音乐状态中，并使用他们身体中存在的旋律引导他们进入更深层次的冥想。这种方法通过直接与参与者的音乐语言对话，促进了进入冥想的过程。

简而言之，音乐分析和协调使引导冥想的个性化成为可能，从而使每个人的体验更具可及性和有效性。

13.7. 2016年人格类型

荣格类型，也称为MBTI或迈尔斯-布里格斯，在一个全新的地图中

根据荣格类型评估个性

在本节中，我们将探讨“精神”标签，以获取根据荣格类型的个性概述。个性通过四个主要轴线进行分析。

个性轴线

荣格类型使用四个轴线进行计算，我们首次将其放置在逻辑图表上：

1. **NS (感觉/直觉)**: 该轴线决定一个人如何处理信息。
2. **FT (思维/情感)**: 该轴线评估一个人处理信息的方式，侧重于思想或思维。
3. **IE (内向/外向)**: 该轴线测量能量，指示一个人是否是外向型（外向）。
4. **JP (判断/知觉)**: 该轴线与时间空间有关，指示一个人是否是短期导向（自发性）。

每个轴线被划分为多个部分，使我们能够进行详细评估。例如，在IE轴线中，一个人可以被评估为外向或内向。



biocoherence.net/n82.102



biocoherence.net/n82.101

荣格类型与评估

荣格类型，如ENTP、ENTJ、ESTJ、ESTP等，是根据在这四个轴线上的位置来确定的。例如，评估可能会揭示一个主导的ESTJ类型。

个性类型动态

与静态问卷评估不同，这种方法使我们能够观察一个人无意识的动态反应。当我们在轴线之间导航时，可以看到评估在移动，这表明个性类型是动态的。这意味着个体可以根据情况在不同的相邻类型之间摆动。

这种对荣格类型的非静态方法为理解行为和个性开辟了有趣的视角。

个性类型详细信息

荣格的个性类型基于四个主要心理功能：思维、情感、感觉和直觉，结合外向和内向的态度。这导致了八种个性类型：

1. 外向思维: 逻辑、客观、以事实为导向。
2. 内向思维: 反思、分析、独立。
3. 外向情感: 社交、温暖、以社会价值为导向。
4. 内向情感: 内敛、深刻、受自身价值观引导。
5. 外向直觉: 创新、机会主义、面向未来。
6. 内向直觉: 富有远见、内省、洞察驱动。

这些类型有助于理解个体感知世界和做出决策的不同方式。

以下是16种迈尔斯-布里格斯类型指标（MBTI）个性类型的简要描述：

1. **ISTJ (检查员)** - 可靠、有条理、现实和实用。
2. **ISFJ (保护者)** - 专注、关心、忠诚和细致。
3. **INFJ (顾问)** - 理想主义、共情、敏锐和鼓舞人心。
4. **INTJ (建筑师)** - 具有战略性、独立性、分析性和决心。
5. **ISTP (工匠)** - 实用、观察、适应性强和逻辑。
6. **ISFP (艺术家)** - 敏感、内敛、自发和和谐。
7. **INFP (理想主义者)** - 创造性、热情、利他和内省。
8. **INTP (逻辑学家)** - 创新、好奇、客观和独立。
9. **ESTP (企业家)** - 精力充沛、直接、务实和善于交际。
10. **ESFP (翻译者)** - 热情、自发、温暖和娱乐。
11. **ENFP (激励者)** - 富有想象力、善于交际、精力充沛和富有远见。
12. **ENTP (创新者)** - 聪明、精力充沛、足智多谋和知识渊博。
13. **ESTJ (监督者)** - 组织性、务实、现实和果断。
14. **ESFJ (顾问)** - 友好、尽责、合作和善于交际。
15. **ENFJ (教师)** - 富有魅力、利他、共情和激励。
16. **ENTJ (指挥官)** - 富有远见、果断、战略和高效。

这些简要描述提供了每种MBTI个性类型的一般概述。

13.8. 伤口

放弃、拒绝、羞辱、背叛、不公正

人类的无意识在很大程度上受到心理创伤的影响。其中，有五种主要的创伤：拒绝、抛弃、背叛、羞辱和不公。这五种创伤源于最初的八种创伤模型。它们的相互作用与传统中医中的五行相似，形成了一个复杂的相互影响网络。

了解我们当前活跃的创伤可以提供有价值的洞见。通过观察拒绝、背叛或不公如何相互影响，我们可以获得对自己心理状态的动态洞察。这种理解可以成为更大自我认知和自我提升的关键。

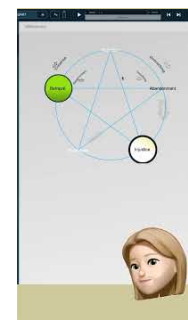
五种创伤的起源

约翰·皮埃拉科斯 (John Pierrakos)，心理治疗师和生物能量分析研究所的联合创始人，于1956年开始研究威尔海姆·赖希 (Wilhelm Reich) 关于存在性创伤 (或自恋创伤) 的工作，并定义了八种创伤：抛弃、拒绝、羞辱、背叛、不公、侵扰、无力感和不安全感。

莉丝·博尔博 (Lise Bourbeau) 后来将这一理论改编和简化为五种情感创伤，这些创伤阻碍了我们做自己。根据她的说法，这些创伤是许多情感问题和功能失调行为的根源。它们起源于童年，通常是在出生到七岁之间，但如果不愈合，仍会继续影响我们的成年生活。

1. 拒绝创伤：这种创伤通常在很早的时候形成，有时甚至在出生之前，通常与不被想要的感觉有关。拥有这种创伤的人感到不配获得爱，并避免可能被拒绝的情境。他们在自我主张和占据自己位置方面存在困难。
2. 抛弃创伤：当一个孩子感到被身边的人抛弃或缺乏支持时，就会出现这种创伤。受到这种创伤影响的人对孤独有强烈的恐惧，常常寻求他人的关注和认可。他们可能会变得情感依赖。
3. 羞辱创伤：当孩子因其行为或举动而感到被父母或亲人贬低或批评时，这种创伤就会发展。拥有这种创伤的个体往往感到羞愧并缺乏尊严。他们可能还会羞辱自己，以防止他人这样做。
4. 背叛创伤：这种创伤发生在孩子感到被某个他信任的人背叛时，通常是一个不守承诺的父母。拥有这种创伤的人很难信任他人，并试图控制一切。他们可能会变得嫉妒或占有欲强。
5. 不公创伤：当孩子感到受到不公平对待时，通常是由过于专制或批评的父母造成的。这种创伤影响下的人追求完美，可能变得僵化和不容忍。他们常常在表达自己的情感方面存在困难。

莉丝·博尔博解释说，这些创伤会影响我们的行为和我们看待世界的方式。要愈合，关键是要识别这些创伤，理解它们的起源，并努力克服它们。



biocoherence.net/n82.113

14. 测试

此模块专门用于实时生物反馈测试和对现有记录的测试列表的评估。

测试模块使您能够执行任何类型的实时测试，其结果根据某些生物标志物的瞬时变化进行评估；并根据当前扫描中某些生物标志物的值预评估任何测试列表

列表预评估

您可以创建新列表或使用其他用户创建的现有列表。当您打开列表时，所有项目将根据当前打开的报告进行优先排序。然后，您可以勾选希望实时测试的项目

实时测试

一旦选择了项目，实时测试使您能够将其展示给客户，并使用传感器测量其系统的生物反馈反应。结果被分类为三种可能的反应：增强系统；削弱系统；或中性

还有一个无限开放的测试选项，可以直接在客户或自己身上测试任何治疗方法，并使用生物反馈实时测量结果。

14.1. 测试列表

在BioCoherence中使用列表进行测试

在您的应用程序中管理和编辑列表

当您正在处理列表时，您可以随时使用关键字搜索功能。虽然当前列表的数量有限，但系统设计时考虑了扩展到数百甚至数千个列表的可能性。这将使您能够编辑和管理自己的测试。

测试编辑模式

1. 访问编辑模式: 如果您在一个属于您的测试上，会出现一个小铅笔图标。点击它以进入编辑模式。
2. 编辑项目: 一旦进入编辑模式，您可以点击每个项目以修改文本和相关操作。例如，您可以定义与类别相关的操作，如阿育吠陀、器官、瓦塔、维塔等。
3. 定义操作: 点击VPK等类别以指定效果，例如增加或减少某些元素（例如，氨基酸、膀胱、血液、大脑、眼睛）。



biocoherence.net/n82.112

自动评估

自动评估基于用户的元素水平与测试中定义的操作之间的匹配。这使得根据预期结果对列表中的项目进行排名成为可能。

附加工具

1. 添加和导入: 您可以添加新工具或通过逐行粘贴项目导入列表。
2. 删除列表: 提供了完全删除列表的选项。
3. 二维逻辑图: 不久之后，您将能够将项目放置在二维图像上，使可视化和组织测试变得更容易。

一般列表属性

在界面的顶部，您可以修改一般属性：

- 列表类别
- 可见性（公开或私有）
- 访问（免费或付费）

付费列表可以公开，以便其他用户可以以一次性或通过每月订阅的方式访问它们。这使您能够分享您的知识并获得报酬。

管理无主列表

如果您正在处理一个不属于您的列表，您可以复制它。复制允许您创建一个可编辑的副本，您可以在其中更改标题、描述和操作。

访问列表

从右侧屏幕的常规菜单中，您可以导航到“我的列表”以编辑现有列表或创建新列表。此功能可以在任何屏幕上使用，包括主屏幕。

按照这些说明，您将能够有效地管理您的列表和测试，同时利用应用程序提供的各种编辑和组织选项。

基于列表的测试简介

在BioCoherence中的基于列表的测试是一个完全开放的系统，允许用户选择现有列表，创建新列表或复制现有列表以与其他用户共享。

什么是列表？

测试列表是一个条目的集合，例如香草或精油。当在带有可用记录的报告中打开列表时，每个条目都会被评估和优先排序。百分比表示条目与记录的兼容性，范围从0%到100%。

颜色代码

- 绿色: 非常相关，高兼容性（例如85%）
- 其他颜色: 不同的兼容性梯度（例如40%用于中间系列）
- 紫色: 低兼容性（20-30%）
- 灰色: 中性或接近零兼容性（约0%）
- 红色: 不兼容或负反应

实时测试

经过初步评估后，第二部分是实时测试。以下是要遵循的步骤：

1. 选择项目: 单独选择要测试的项目。
2. 连接传感器: 连接传感器以进行校准。
3. 运行测试: 测试一个一个运行，向被测试者发送视觉、音频或其他信息。
4. 观察: 被测试者必须看到或听到正在测试的信息，以便进行准确评估。
5. 评估: 系统根据所呈现的信息对身体的反应进行分类。

结果显示

在测试结束时，结果会重新显示并分类如下：

- 成功测试: 良好的身体反应
- 平均测试: 混合反应
- 不确定测试: 负面或不一致的反应

信息呈现的重要性

呈现尽可能多的信息关于被测试元素（例如，照片、精油作用的系统细节）的重要性，以便通过生物反馈系统获得身体的直观和可测量的反应。

报告中结果的整合

测试结果会出现在报告中，仅显示良好或平均反应的项目，并排除被拒绝的项目。报告包括：

- 兼容性百分比: 基于初步扫描的计算
- 无意识的身体反应: 在信息显示时测量

未来的发展

新的测试功能，如频率测试和任何信息的实时测试，将很快可用。

测试编辑模式

当您在属于您的测试上时，会出现一个小铅笔图标。通过点击这个铅笔，您进入测试编辑模式。您可以点击每个项目以修改相关文本和操作。例如，您可以为阿育吠陀和器官等项目设置操作，未来将会有其他类型的操作可用。

编辑操作

要修改操作，请点击相关元素（例如VPK），并定义影响，例如增加或减少某些方面（例如瓦塔和维塔）。您还可以指定对器官的影响，例如增加氨基酸、膀胱和血液，或减少大脑和眼睛。这些修改定义了该输入的具体操作，这对于自动评估至关重要。

自动评估

自动评估通过将用户水平（以花朵形式）与定义的操作进行比较来执行。这种匹配使您能够根据获得的结果对列表中的项目进行排名。

可用工具

各种工具可在屏幕底部使用。您可以添加工具，通过逐行粘贴项目导入列表，或删除列表。不久后，您还可以将这些项目放置在二维图像上，通过拍照或导入图像将它们放置在逻辑图上。这样测试就可以根据所选择的项目在图上移动。

一般列表属性

一般列表属性位于屏幕顶部。您可以通过点击它们来修改，定义类别、可见性（公开或私有）和定价模式（免费或付费）。付费列表可以在准备好后公开，允许用户为其使用支付费用，或者通过每月费用支付。

分享和报酬

该系统允许您分享您的知识或评估类型，并因此获得报酬。如果您正在处理一个不属于您的列表，您可以复制它。您将无法直接编辑它，但通过复制它，您创建了一个可以完全修改的副本，包括标题和描述。

访问列表

从右侧屏幕的常规菜单中，您可以访问“我的列表”。从任何屏幕（例如主屏幕）中，您可以选择编辑您的列表。您还可以轻松地从此界面创建新列表。

结论

该系统为您提供了极大的灵活性和自主权，以管理和分享您的测试列表，同时提供强大的编辑和评估工具。

15. 人工智能在BioCoherence中

BioCoherence 使用最新的尖端人工智能 (AI) 技术以无缝且完全集成的方式促进理解、使用和分析。

- AI 助手能够解释、分析、测试并对优先事项采取行动。超过 30 个专业助手可以接收生物标志物值并与用户或专业人士开启简单的聊天。
- 对于专业人士，创建列表项的过程得益于在撰写冥想部分、自动识别行动、产品成分搜索等方面的协助而加速。
- BioCoherence 整合了数千个与 BioFeedback 和生物标志物相关的独特算法，其中一些是通过深度学习和人工智能的协助获得的。

15.1. AI 助手

BioCoherence 中最令人兴奋的发展之一是引入了 AI 助手。这些人工智能驱动的助手旨在帮助用户浏览应用程序内大量的信息，使他们更容易理解和利用生物反馈扫描中的数据。

BioCoherence 中的 AI 助手旨在通过提供量身定制的指导、解释和基于用户数据的程序创建来增强用户体验。这些 AI 模块减少了新用户的学习曲线，并为专业人士提供了一种简化客户互动的方式。AI 助手可以根据使用的上下文以两种不同的模式运行：

1. 没有录音：用户可以与 AI 聊天，根据他们的需求创建一个基本程序。从主页：用户可以与 AI 互动以获得一般指导，而无需链接到特定的生物标志物。
2. 有开放录音：AI 助手分析用户的生物标志物，并根据录制的扫描数据提供见解或建议。

主要功能

AI 助手充当虚拟诊所，专门助手作为普通用户和专业从业者的护士和支持人员。这些 AI 助手可以：

- 读取和解释您和客户的扫描中的生物标志物。
- 显示特定的生物标志物并解释其值。
- 播放和声增强以帮助平衡您的能量。
- 根据您的健康数据和讨论修改您的优先事项。
- 向您的和声增强列表中添加元素以实现个性化治疗。
- 实时请求和分析新的测试。
- 为各种生物标志物和测试结果提供解释和建议。
- 在需要时将客户引导至专业咨询。

这意味着用户可以与 AI 互动，以深入了解他们的健康，询问有关结果的问题，甚至获得可操作见解、冥想、草药疗法等的建议：

- 量身定制的帮助：每个 AI 助手专注于特定领域，例如自然疗法、传统中国医学 (TCM)、精油或冥想。目前有超过 25 个 AI 助手。他们获得与其专业知识相关的经过策划的生物标志物子集、特定的提示、特定的知识和培训、特定的列表和列表项、特定的附加信息和特定的能力。
- 基本程序创建：用户可以通过与 AI 讨论他们的需求来创建个性化程序。这些程序保存在“基本程序”部分，并可以立即启动。
- 语言支持：AI 助手支持多种语言，允许用户以其母语进行互动。该系统设计为有效处理多语言查询。



- 可定制的访问：专业人士可以控制哪些AI助手可供客户使用，以及他们可以访问哪些数据。这确保AI在专业人士设定的边界内运行。

AI被设计为承认其局限性，确保用户在必要时寻求专业指导。

专业人士的AI助手

对于从业者，AI助手作为智能助手，可以：

- 帮助向客户解释复杂的生物标志物。
- 根据客户数据建议额外的测试。
- 推荐冥想技术或草药疗法。
- 通过向客户提供选择的AI助手，减轻解释过程，这些助手具有解释但不修改专业人士决策的能力。

当专业人士处理客户记录时，AI助手接收客户数据并充当专业人士的助手。

访问AI助手

AI助手可以通过以下方式访问：

- 主页：用于一般指导或基本程序创建。
- 开放录音：分析和解释特定生物标志物，提供详细的分析见解。

AI助手使用案例

创建基本程序：

- 从主页导航到AI助手部分。
- 选择一个AI助手（例如，睡眠教练、冥想指导）。
- 进行对话以描述您的需求（例如，“我感到压力，需要帮助放松”）。
- AI将生成一个量身定制的基本程序，并将其保存在您的“基本程序”部分。

解释生物标志物：

- 打开录音并导航到AI助手部分，在“结论”下。
- 选择与您希望探索的生物标志物相关的AI助手（例如，TCM从业者用于经络）。
- AI将根据您在录音中计算的生物标志物提供详细的解释和建议。

示例：定制茶或精油混合物。使用草药师或精油专家AI助手。AI将分析相关的生物标志物并建议定制茶混合物或精油配方。

AI助手的局限性

- AI助手无法修改录音或分析结果。它们旨在根据现有数据进行解释和提供指导。
- 提供给每个AI助手的初始生物标志物集仅限于其专业领域。然而，AI可以在对话中请求额外的生物标志物（如果需要）。

高级功能

摘要和报告整合：

- 在对话结束时，AI助手会生成讨论的摘要。
- 专业人士可以选择将此摘要包含在客户的PDF报告中以供将来参考。

反馈和评分：

- 每次互动后，用户可以对AI助手在解决其查询时的有用性和成功率进行评分。此反馈有助于改善AI的性能。

可定制的AI客户访问：

- 专业人士可以为其客户启用或禁用特定的AI助手。
- 他们还可以控制客户是否可以访问个人指南、和声增强或完整报告等功能。

技术说明

- AI助手数据处理：每个AI助手接收用户生物标志物的5%至10%，具体取决于其领域。这确保了集中和相关的指导。
- AI助手是基于大型语言模型的工具，其响应未经过医疗专业人士的审核。答案的准确性应始终得到验证。
- 目前有26个AI助手可用，但现在系统正在运行，添加新助手相对容易；如果您看到任何您想添加到AI助手手中的领域，请与我们联系。

结论

BioCoherence中的AI助手是专业人士和个人用户的强大工具。通过利用先进的AI能力，它们简化了复杂的分析，提供可操作的见解，并创建针对用户需求量身定制的个性化程序。随着系统的发展，新的功能和改进将继续增强用户体验。

16. 平衡

资源和优先事项；报告、冥想生成和频率。

这些屏幕允许自我识别和修改资源和优先级，生成PDF报告，以及创建重新平衡工具，如引导冥想、特定频率...

16.1. 优先事项

定义分析后需解决的关键要素

平衡部分处理在分析完成且目标明确后需要采取的行动，或当设备被信任自动确定需求时。

优先事项

定义和目的 优先事项是应用程序识别为需要关注或干预的元素。这些是用户健康可能受到损害且需要已识别资源支持的领域（请参见下一章关于资源）。

选择过程 应用程序根据评估各种生物标志物的算法自动选择优先事项。用户可以在每个类别中探索其他潜在优先事项，并根据需要添加它们，可以通过单击“探索”获取有趣生物标志物的预选，或通过浏览所有屏幕选择有趣的优先事项。

类别 与资源类似，优先事项被分类为各种组，包括器官、情绪和能量点。用户可以探索这些类别，以识别其他关注领域。

自定义 用户可以从列表中添加或删除优先事项，从而允许针对他们的健康旅程进行量身定制的方法。建议将优先事项的数量保持在可管理范围内（15-20），以保持专注和有效性。



biocoherence.net/n82.107

运行重新计算以优化系统。

要重新启动优先事项和资源计算，请单击主屏幕右上角的相应图标。首先识别资源，这将使系统能够自动重新识别所有必要资源。接下来，通过单击相应选项识别优先事项，这将自动添加系统识别的优先事项。您还可以在优先事项屏幕上单击“添加”和“自动识别优先事项”；这将仅将新优先事项添加到您当前的选择中，而不会删除它们。

波形分析是逻辑演变中的关键步骤。您可以根据需要重新计算生物标志物、链接、优先事项并识别资源。如果您在访问完整报告时遇到问题，您可以随时重新计算。

查看和修改优先事项

在优先事项部分，系统显示所有被识别为相关的内容。您可以通过删除这些优先事项或添加新优先事项来修改它们。要添加优先事项，请单击“添加”，并从提供的各种类别中选择感兴趣的项目，例如器官、经络点或中医（传统中医）配方。

您还可以通过删除不再需要的优先事项来清理优先事项列表。优先事项编辑在系统的所有页面上使用相同的界面，但在这里将您定义的所有优先事项分组在一起。

最后，您可以向优先事项添加评论。这些评论将被整合到最终报告中，为每个识别的优先事项提供额外的背景。

您可以从任何页面添加或删除优先事项项目，通过单击相关花朵右侧的图标。如果该图标为绿色，则表示生物标志物在优先事项中；如果为红色，则表示不在其中。

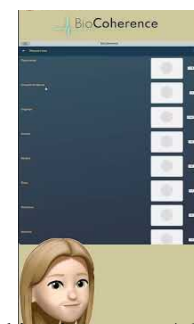
16.2. 资源

要坚实和谐的支柱

在我们探索资源之前，Christine Degoy 将分享一些关于她研究的见解，因为这是一个关键焦点：

“我们已经发展了一种文化——一种关于与问题系统互动的**新心态**。十年的治疗工作和与客户的研究最初向我揭示了每个生命体内部的协调性。这种自然的共鸣至关重要，因为它帮助探索问题的全谱。这是建立深刻内部连接的最简单方式，促进一种 **积极的传染**，增强系统中的协调性。这种方法赋予个体内部治愈和成长的能力，尊重他们身体的自然秩序。我们称之为“资源之道”，这是通往可能性的开放之门。

资源是我们存在中最协调和强大的部分，类似于我们在生活中发展出的超级力量。终生资源的概念最终将成为我们生活任务模块的一部分。即使是单一的器官、经络、针灸点、脉轮、情感等也可以成为强大的资源，促进一种 **快乐的传染**，使我们的生活和身体保持一致。” -- Christine Degoy



biocoherence.net/n82.108

在查看优先事项——在任何给定时间需要解决的关键元素——之后，我们将转向资源。资源由带有星星的小票图标表示，是身体的“星星”元素。它们是充满能量的元素，极其稳定，身体可以依赖这些元素在整个治疗过程中分配能量给优先事项。

在应用程序中，我们开发了一个复杂的算法来计算每个生物标记的资源分数。该分数识别出最具能量和稳定性的元素，突出显示改进的优先事项。它考虑了各种因素，如元素的稳定性、能量和连接性，最终形成您现在看到的资源页面。

对 BioCoherence 应用中资源和优先事项的详细了解为用户提供了清晰的路径，以利用他们固有的优势并解决健康和福祉改善所需的领域。

资源在录音后会自动识别，这得益于一个考虑所有可用元素的算法。然而，如果需要，可以手动修改这些资源。例如，当访问器官部分时，如果神经递质被识别为主要资源，可以单击它们以查看其他强大资源的选择。

然后，这个家庭的可用资源按照从最强到最弱的重要性逆序排列。如果您更喜欢使用不同的资源，例如舌头而不是神经递质，或者气管，或者神经元的细胞核，只需单击所需的资源以选择它。为了更好地理解每个资源对应的内容，您可以单击花朵图标以查看连接并做出更明智的选择。

这些资源将随后在各种再和谐阶段中使用。

资源的简要介绍

我们的方法为解决问题系统引入了一种范式转变。最初通过治疗实践发现，这种方法强调个体内部的协调性。这种治疗与个人协调性之间的自然共鸣为解决更广泛的问题奠定了基础。这种方法促进内部连接，导致一种“快乐的传染”，在没有外部协议的情况下增强个人的治愈和赋权。这种方法论被称为“资源之道”，尊重复杂系统并促进协同作用。

资源被识别为身体中最协调和最有力的方面，类似于固有的超级力量。为了进一步扩展对个人旅程的理解，未来的更新将包括生活任务，这是对 *Christine* 研究的扩展。

例如，某个特定器官可能是一个重要的资源，可能在身体中扩散力量和协调性。应用程序采用先进的算法为每个生物标记计算资源分数，识别最佳资源和优先事项。该算法评估能量、稳定性和与其他元素的连接性，考虑这些连接的强度或弱点，最终形成一个综合的资源页面。

BioCoherence 中的资源和优先事项

概述

BioCoherence 应用程序通过详细扫描提供用户的生理和能量状态的综合分析。初步扫描完成后，用户将看到两个关键组成部分：资源和优先事项。这些元素对于解释扫描结果和引导用户实现最佳健康和福祉至关重要。

资源

定义和目的： BioCoherence 应用中的资源指的是用户身体内最协调、稳定和能量充沛的元素。这些元素被识别为用户的固有优势或可以利用的“超级力量”，以支持治愈和平衡。

计算： 该应用程序采用复杂的算法来确定每个生物标记的资源分数。该分数考虑了能量水平、稳定性和与其他元素的连接性等因素。得分最高的元素被确定为资源。

类别： 资源分为十个组，包括：

- 器官组（例如，基于阿育吠陀的组）
- 个体器官
- 原子
- 经络
- 动量（动态状态）
- 驱动（情感）
- 有机体（共生或寄生）
- TCM 点
- 阿育吠陀亚分支
- 脉轮

定制： 用户可以接受应用程序的资源自动选择，或根据个人共鸣或治疗目标手动调整它们。这种定制允许采取个性化的治愈方法。

与平衡特征的集成

- **频率：** 该应用程序使用资源和优先事项创建频率程序。该程序包括主要频率，以针对特定器官、情感或能量结构。用户可以通过额外的协议增强该程序，以提高效果。
- **平衡：** 该应用程序计算通过所选优先事项的最佳路径，创建引导冥想或平衡会话。该会话首先激活资源，然后依次解决每个优先事项。
- **PDF 报告：** 用户可以生成包含有关其资源和优先事项的详细信息的 PDF 报告，提供对其当前状态和治疗重点的全面概述。

实际应用

使用时机： 该应用程序的冥想和频率程序可以在一天中的任何时间使用，具体取决于个人偏好。有些用户可能会发现，在安静的时刻进行这些练习是有益的，例如清晨或深夜。

16.3. PDF报告

生成、导出PDF、打印和分享结果

章节：使用Balance生成和管理报告

Balance的第三个关键特性是报告生成。此功能允许您创建一个包含在使用应用程序期间保留的所有信息的PDF文件。

PDF报告内容

生成的PDF报告包括：

- 项目部分和持续时间
- 书面评论
- 识别的资源
- 定义的优先级
- 最有活力或活力最少的器官
- 最激动或最少激动的器官
- 处于一致状态的器官
- 经络
- 传统中医（TCM）处方
- 等等。

报告定制

您可以添加或删除报告中的部分。要做到这一点，请访问部分类型并使用可用工具根据您的需求自定义报告。

报告共享和保存

PDF报告可以通过多个渠道直接共享：

- 直接共享：使用共享框通过WhatsApp、短信或Messenger发送报告。
- 保存：单击“PDF文件”以保存报告。在计算机上，您可以直接将其保存到硬盘上。在手机或平板电脑（iPad）上，它将保存在您的文件中。
- 打印：单击“打印”以打印报告。在计算机上，这将打开打印对话框。在手机上，如果您的网络上有兼容的打印机，将出现打印选项。

PDF报告保留所有输入的信息，包括在各个部分中添加的任何评论。此功能确保所有重要数据集中并且易于未来使用。

16.4. 平衡：冥想、声音和工具

引导冥想、频率生成和时间水晶溶解。在这个阶段，这个模块正在准备中，并将在接下来的几个月中开发。



biocoherence.net/n82.109

通过个性化引导冥想实现平衡

“平衡”部分是我们方法的关键组成部分，致力于创造集成每个个体所需频率的引导冥想或音频文件。该原则基于一种渐进的方法，可以与剥洋葱相提并论：离我们最近的问题是最容易处理的，而那些远离我们的问题则需要更深入的处理。这个过程是一步一步进行的，遵循为了通过各种优先元素以特定顺序进行的理想路径。

冥想参数

1. 冥想速度: 根据录制过程中检测到的参数，确定一个人进入冥想的速度。
2. 个性类型: 该因素影响冥想的构建。
3. 音乐: 确定和弦和一般音阶，以便从个人的水平开始。

资源选择

资源旨在利用每个类别中最强大的项目。相关资源每天被调用以应对当天的优先事项。

优先事项选择

对于每种选择的优先事项类型，包含一系列的冥想。这些系列包括适应不同档案的不同类型的引导冥想。应用程序然后确定最合适的引导冥想进行开始，接着是基于需要解决的优先事项和要借鉴的资源生成的频率或声音的第二部分。

录音和后续跟进

一旦设计了个性化的引导，便可以保存在用户的账户中。如果由专业人员制作，用户可以安装BioCoherence应用程序，输入他们的电子邮件地址并访问他们的个性化冥想。也可以通过应用程序定期在每次冥想会话之前重新评估。重新评估会提示您注册传感器并将其连接以进行新的评估。

进度监测

进度以曲线的形式显示，对应于每个优先事项，使得可视化进度和仍需解决的点成为可能。其他跟踪方法也可用，例如初始和后续问卷。

计划和持续时间

一旦计划制定并创建个性化冥想，它就可以在用户的个人资料上使用。用户可以被邀请通过电子邮件安装应用程序，以直接启动引导冥想。完整的平衡会话计划持续三周。



biocoherence.net/n82.110

详细指南：使用BioCoherence中的谐波增强和个人引导

谐波增强和个人引导是BioCoherence应用程序中的两个关键功能，允许用户参与他们个性化的频率程序。这些工具帮助用户将生物活性频率融入他们的日常生活，支持他们的能量和生理平衡。本部分提供了如何有效使用这些功能的详细指南，包括不同场景的最佳实践。

1. 谐波增强

什么是谐波增强？

谐波增强是一个基于频率的工具，可以同时播放所有选择的优先事项。它旨在在短时间内提供全面的整体能量协调。

如何使用谐波增强

- 访问谐波增强：
 - 打开BioCoherence应用程序。
 - 导航到您的活动记录（它位于您的主屏幕中央），或在列表中选择一個记录。
 - 点击谐波增强以开始播放频率。
- 播放谐波增强：
 - 谐波增强同时播放所有选定的优先事项。您还可以按能量、身体和心理过滤；高优先级程序；具有协议的程序等。如果您希望仅获得能量提升，例如，或者如果您希望通过仅过滤具有协议的程序来解决更深层次的问题。
 - 它可以在执行日常活动时在后台播放。音量可以非常低。
 - 建议使用耳机或外部扬声器以获得更好的共鸣。您甚至可以在口袋中使用入耳式耳机，这样会向您的身体传递一个微小的电磁场，配合所包含的生物活性频率。这样，您无需听到频率：您的能量场、身体和心理将以电磁方式注册它们。
- 导出谐波增强：
 - 用户可以将谐波增强导出为MP3文件以供离线使用。
 - 在Mac、iPhone、iPad和Android上，文件可以直接通过SMS、AirDrop、WhatsApp或电子邮件保存或共享。
 - 在Windows上，文件必须手动保存，然后共享。
- 最佳实践：
 - 每日使用：每天播放谐波增强一次或两次。
 - 被动听取：可以在背景中以低音量播放。
 - 专注会话：为了达到更深的效果，在安静的环境中听取，尽量减少干扰。

2. 个人引导

什么是个人引导？

个人引导是一种引导冥想，集成了个性化的频率和语音指导。它帮助用户通过结构化的可视化和放松技术，关注他们的能量和平衡。该指导的目标是将专注的治疗意识融入您的日常生活。

如何使用个人引导

- 访问个人引导：
 - 打开BioCoherence应用程序。
 - 导航到您的活动记录（它位于您的主屏幕中央），或在列表中选择一個记录。
 - 点击个人引导以开始会话。
- 自定义个人引导：
 - 持续时间：使用滑块调整您希望的会话长度。
 - 潜入速度：使用的放松技术的速度和强度是根据您的生命体征预先计算的。
 - 个性类型：根据扫描自动选择。

- 音乐和弦：根据共振分析个性化。
- 结束模式：
 - 唤醒模式：轻柔地将用户带回警觉状态。
 - 睡眠模式：引导用户进入深度睡眠。
- 播放个人引导：
 - 该会话包括语音指导、个体频率和双耳节拍，以及背景噪声。
 - 用户可以静音语音，如果他们更喜欢只听频率。
 - 白噪声、频率和双耳节拍可以调整，以实现更深的放松。
- 最佳实践：
 - 每日使用：建议每天使用一次，最好在安静的环境中。
 - 睡前：使用睡眠模式来增强放松。
 - 冥想期间：关注引导指令以获得最大效果。
 - 无声：一些用户更喜欢静音语音，只听频率。这可以在睡前放松的模式，特别是在21天计划的最后几天，如果指导已经内化。

3. 结合谐波增强、个人引导和基础程序

除了您的个人程序之外，一些基础程序可能在您的旅程中非常有用。

基础程序是针对特定用例的预设程序：例如：排毒、眼睛护理、脉轮协调、压力管理……这些基础程序是由我们的专家仔细设计的，适合一般使用，无需扫描。

用户可以选择：

- 单独运行它们（例如，早晨基础程序，白天谐波增强，晚上的个人引导）。
- 通过添加一些基础程序和谐波增强频率到个人引导来组合它们。

如何组合两者

1. 打开记录，导航到优先事项。
2. 点击 按钮以添加额外的优先事项。
3. 选择基础程序，例如能量 > 排毒（或任何其他相关类别）。
4. 点击“添加所有优先事项”以将它们集成到会话中。

组合的最佳实践

- 晨间例行：使用过滤为能量的谐波增强，快速进行能量调整。
- 晨间能量暂停：播放快速基础程序以获得立即缓解。
- 晚间例行：使用每日21天计划个人引导进行深度放松和整合。
- 持续支持：在白天以非常低的音量播放完整的谐波增强。

4. 评估进展

重新评估

- 用户应每3到7天进行一次重新评估，以跟踪进展。他们需要一个传感器来测量生命体征并计算生物标志物。
- 每次重新评估都会更新优先事项的相关性和进展，并相应调整程序。

改善的迹象

- 身体变化：症状或不适的减少。
- 能量转变：感到更平衡和专注。
- 情绪健康：清晰度和情绪稳定性的提高。

5. 故障排除与常见问题

为什么我的主要问题不在优先事项中？

系统优先考虑根本原因而非症状。使用因果链功能来探索相关因素。

我可以在做其他活动时听吗？

是的，谐波增强可以在后台播放。个人引导最好在安静、专注的环境中使用。

我如何与客户共享个人引导？

确保记录与客户共享。客户可以直接在他们的应用程序中访问个人引导。

我可以导出个人引导吗？

不可以，由于其复杂性和实时生物反馈调整，个人引导必须在应用程序内播放，无法导出。只有谐波增强可以保存为MP3。

6. 总结

- 谐波增强一次播放所有选择的优先事项，用于背景听取和被动协调。
- 个人引导是一种带有个性化频率的引导冥想，适用于专注的会话和深度放松。
- 该组合将两者整合为全面体验。
- 晨间提升、晚间冥想和每3-7天重新评估，允许根据进展更新优先事项。

遵循这些指南，用户可以最大化BioCoherence的好处，创造个性化的治疗旅程。

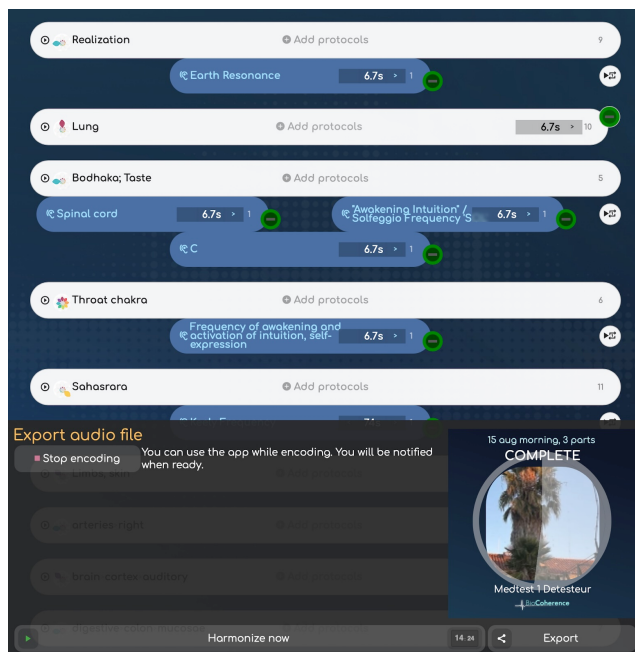
16.5. 谐波增强

BioCoherence中的 Harmonic Boost 功能旨在通过整合特定的频率，增强冥想和基于频率的协调的有效性，这些频率是针对用户的需求和特定的协议量身定制的。此功能允许用户使用预设和个性化频率程序的组合来刺激和修正各种生物标志物。

项目颜色及其功能

Harmonic Boost界面由不同颜色的元素组成，每个元素都有其独特的用途：

- 白色元素：这些代表系统性协调，与特定的生物标志物相关。它们是与特定器官、针灸点、负担（例如，地质压力）或其他生物标志物相关的预计算频率集。这些频率是固定的，不会根据个体分析结果而变化。
- 蓝色元素：这些代表纠正协议。它们是个性化的，并在用户的设备上本地计算。这些频率是根据用户的特定需求选择的，旨在抵消在分析中检测到的失调。
 - 深蓝色元素：这些是生物活性个体频率或频率集合（频率谱），可以通过电或声学播放。
 - 浅蓝色元素：这些是双耳节拍，旨在使非常低的频率以声学方式被听到，并训练大脑进入特定的改变意识状态。它们通过在每只耳朵播放两个略微不同的频率工作，产生一种在大脑中与所需的治疗效果一致的节拍频率。



操作模式和功能

预计算频率

- 所有生物标志物协调频率（白色元素）都是预计算并存储在本地和云端。这确保了平稳播放，而无需实时计算，即使在低端设备上也是如此。
- 相同的预计算过程将在需要时直接在用户的设备上应用于蓝色元素（高度个性化），消除故障并提高性能。

个性化协议的实时计算

- 当用户添加协议（蓝色元素）时，系统会在播放前本地计算所需的频率。
- 这确保频率针对用户的特定需求量身定制，同时保持最佳性能。

同时频率播放

- Harmonic Boost系统同时播放四个频率。
- 如果仅选择白色元素，则播放来自生物标志物协调集四个频率。
- 如果同时选择白色和蓝色元素，系统会动态平衡生物标志物协调频率和纠正频率之间的播放频率。

频率同时播放的事实使协议的针对性操作成为可能，通过建立与所选系统的直接桥梁，并通过共振效果添加协议频率，以获得针对系统的定向激光的效果。

双耳节拍集成

- 当包含双耳节拍（浅蓝色元素）时，它与生物标志物频率之一混合。
- 例如，如果地质压力频率为100 Hz，而双耳节拍为8 Hz，则系统将在一只耳朵中播放100 Hz，在另一只耳朵中播放108 Hz，产生8 Hz的节拍在大脑中。

持续时间和时间

- 每个频率周期的默认持续时间为6.73秒，这是普朗克时间的倍数，符合黄金比例（phi）。
- 每个白色或蓝色程序由多个周期组成，通常持续10到150秒（重置周期为6.73秒）。
- 用户可以根据需求调整程序的持续时间，以使其变短或变长。
- 完整的程序可以导出为一个音频文件，子集可以直接导出以专门处理能量、身体、思想或最需要关注的元素。

定制和导出

添加协议

- 用户可以手动添加协议，以增强Harmonic Boost会话的有效性。
- 系统根据选定的生物标志物提供建议的协议，但用户也可以搜索其他协议。包含的协议超过2000个，列表定期通过新研究进行增强。

导出MP3文件

- 用户可以将Harmonic Boost会话导出为MP3文件以供离线使用。
- 导出的文件包括元数据，如专辑封面和关键词，使其在音乐库中易于组织。

实际应用

- 个人指导增强：用户将在个人指导的冥想中听到Harmonic Boost频率，以实现更深层次的放松和疗愈。
- 针对性疗愈：通过选择特定的生物标志物和纠正协议，用户可以创建个性化的疗愈会话。
- 能量增强：用户可以创建和保存能量增强频率集，以便在需要时快速访问。

Harmonic Boost功能在BioCoherence中提供了一种强大的基于频率的协调工具。通过将预计算的生物标志物频率与个性化的纠正协议结合起来，用户可以创建高效且个性化的疗愈会话。能够导出和离线播放这些会话进一步增强了可访问性和可用性。

附录 1。

常见问题

如何在应用程序中获得帮助

要从应用程序的任何页面请求帮助或发送建议，只需打开右上角的菜单并点击“反馈和想法”。您可以点击“注释屏幕截图”以添加您当前所处页面的屏幕截图，并将此注释的屏幕截图添加到您的请求中。这样我们就更容易帮助您了！

我的家人或客户如何访问定制冥想？

要访问定制冥想，他们需要从 biocoherence.net/install 或 App Store 或 Play Store 安装应用程序。您可以通过为他们创建一个帐户来邀请他们；请在帐户中插入他们的电子邮件，以便他们收到带有正确帐户的邀请。然后，您可以通过将他们添加为分析的联系人与他们分享分析。当他们使用您在创建的帐户中指定的电子邮件登录应用程序时，他们将在应用程序的主页上或在“已记录的分析”下找到该分析。

一旦他们拥有分析，他们可以通过 BioCoherence 应用程序的“平衡”部分收听平衡冥想，其中音频结合了口头指导和频率，以获得最佳效果。

BioCoherence 联盟计划

欢迎来到 BioCoherence 联盟计划！我们非常高兴您能加入我们，与您的受众分享我们尖端技术的好处。我们的计划让您在帮助他人发现健康和幸福的变革性方法的同时赚取佣金。

开始使用

1. 登录您的帐户：访问 <https://biocoherence.net/s0.login/>。
2. 访问您的联盟页面：导航至 <https://biocoherence.net/n119/>。这是您的个人联盟中心。

在这里，您会找到所有所需的工具和信息，包括如何：

- 创建和管理您的邀请代码。
- 跟踪您的佣金。
- 发展您的联盟网络。

关于联盟计划

我们的计划提供基于订阅的佣金，适用于直接销售和多种购买类型。当您推荐新联盟成员加入该计划时，您还可以获得额外的奖励。

直接销售的订阅佣金

当您分享您的邀请代码时，将对使用您的代码注册的用户所做的订阅和其他购买赚取佣金。该计划旨在奖励您和您的客户，为使用您的代码加入的新用户提供优惠和奖励。

额外购买

通过 BioCoherence 平台，您可以对报告、测试和硬件等购买赚取佣金。这些奖励使您能够从您推荐的用户的每一笔交易中获益。

注意：对于区域独占所覆盖的项目，佣金和客户发票将通过当地独占分销商处理。费率可能因分销商政策而异。请查看 biocoherence.net/distributors/ 以获取详细信息。

管理您的邀请代码

在您的联盟管理页面中，您可以创建多个代码，以便在社交媒体、视频和博客等不同渠道中分发。这使您能够跟踪每个代码的表现并优化您的努力。

应用程序安装和首次启动

- 在 Windows、Mac 或 Linux 上：请在 biocoherence.net/install/ 下载安装文件
- 在 iPad、iPhone 或 Android 上：请按照 biocoherence.net/install/ 上的说明进行操作；从 App Store 安装只需点击一下。

安装后

安装完成后，可能仍然会出现问题。

1. 找不到应用程序？它叫做 "BioCoherence"；在 Mac 上，它在 "应用程序" 中。在 Windows 和 Linux 上，在开始菜单中。在 iPad、iPhone 和 Android 上，它被添加到您的主屏幕，您也可以通过搜索找到它。

2. 应用程序无法启动？您的计算机或平板电脑可能太慢，或者存在不兼容问题。
3. 无法登录？如果您有账户，请在登录屏幕上点击“找回密码”。您将收到重置密码的链接。如果没有，您可以在应用内创建一个。

BioCoherence 可以使用 Spooky 的频率协议吗？

是的，BioCoherence 集成了来自各种来源的许多频率协议，包括 Spooky 和其他设备使用的 Rife 基础表。在未来，BioCoherence 旨在允许 Spooky 设备充当发射器，使从 BioCoherence 导出音频并直接输入 Spooky 成为可能。我们计划对尽可能多的设备保持开放，并在设备开放时与其直接接口。在任何情况下，频率程序的音频导出允许在各种设备上播放频率。

它可能“取代”我目前使用的一项技术吗？

BioCoherence 可能会根据您的具体需求替代或补充其他生物反馈和健康分析工具。它可能会替代大多数设备，尤其是那些基于随机数生成器的设备，但可能无法完全替代具有不同验证作用模式的设备。

如何在扫描结果不一致时获取客户的中心主题信息？

要获取客户的核心主题信息，比较多个扫描可能会很有帮助。寻找扫描中的一致模式或反复出现的问题，以识别核心主题。梅德里克提到，查看扫描中的趋势对于更全面地理解客户的核心问题很重要。

结果通常在扫描中非常一致，系统之间的链接和相对能量或激动性会有所变化。这些变化是健康的，并且表明进展。您实际上可以在应用程序中并排比较几个扫描，以查看特定生物标志物的演变，例如在应用特定治疗前后的变化。

我的客户如何在治疗师的办公室之外访问他们的报告？他们如何查看他们的报告并访问冥想？

客户可以通过应用程序访问他们的报告和冥想。以下是从业者如何启用客户访问的步骤：

- 在应用程序中将客户添加为新联系人：
 - 点击您个人资料照片旁边的两个箭头以访问“联系人”。
 - 创建一个新联系人，确保包含客户的电子邮件地址。
- 在客户的个人资料下执行扫描。
- 共享报告：
 - 打开完成的报告并选择“与...共享”选项。
 - 向客户发送邀请电子邮件，包括下载应用程序的链接及登录信息。

一旦客户登录，他们可以直接在应用程序中查看他们的报告并访问冥想。他们还可以为您进行远程测试（对他们进行本地测试，使用传感器），您将在软件中收到结果。

我的家人或客户如何使用为他们生成的自定义频率？

要与您的家人或客户共享自定义频率，请按照以下步骤操作：

- 在 BioCoherence 应用程序中查看他们的频率报告时，导出频率会话的音频文件。
- 然后，您可以通过消息、电子邮件或其他通讯方式与他们分享音频文件。

您还可以邀请您的客户或家人安装应用程序并与他们分享分析。为此，您可以使用他们的电子邮件创建客户帐户。

BioCoherence 有什么独特之处？

BioCoherence 结合了先进的数学算法和心电图技术，以提供详细的健康洞察。它的特点是提供对身体电信号的多层次分析，并包括能量/身体/心灵的方法、多种图形显示以及生物标志物之间的链接。它还包括适应生物反馈的冥想和频率。

如何更新应用程序

始终使用最新的更新，因为您的问题可能已经得到解决 - 或者您的想法，已经被实现！

根据您使用的平台，更新的方式有所不同：

测试版

- 如果您正在使用带有 TestFlight 的测试版：您应该会收到每次更新的通知。启动 TestFlight 并点击“更新”。
- 如果您已在 TestFlight 之外为 Mac、Windows 或 Linux 安装了测试版：请访问 biocoherence.net/beta⁶，下载最新版本的安装程序，并运行该安装程序。您的所有数据将被保留。

公开版本

- 如果您已在 TestFlight 之外为 Mac、Windows 或 Linux 安装了公开版本：请访问 biocoherence.net/install⁷，下载最新版本的安装程序，并运行该安装程序。您的所有数据将被保留。
- 如果您正在使用来自 App Store 或 Play Store 的公开版本：打开 App Store 或 Play Store，并从其页面更新应用程序。

解决与 BioCoherence 的蓝牙连接问题

如果您在 BioCoherence 中遇到蓝牙连接问题，请按照以下故障排除步骤确保顺利设置：

一般指南

- 首先启动过程：
 - 首先在 BioCoherence 应用程序中启动录音或测试。许多连接问题来自于尝试过早连接传感器。
 - 该应用程序设计为在您启动录音或测试后自动管理连接过程。
- 避免系统设置：
 - 不要尝试通过设备的系统设置连接蓝牙传感器。让应用程序处理此过程以避免中断。

1. <https://biocoherence.net/s0.login>

2. <https://biocoherence.net/in119>

3. <https://biocoherence.net/distributors>

4. <https://biocoherence.net/install>

5. <https://biocoherence.net/install>

6. <https://biocoherence.net/beta>

7. <https://biocoherence.net/install>

- 确保蓝牙处于活动状态：
 - **Windows**：通过设置面板或右下角任务栏中的蓝牙快捷方式开启蓝牙。
 - **Mac**：从右上角菜单栏启用蓝牙。确保在系统设置中授予 BioCoherence 蓝牙权限。
 - **iOS/Android**：在设备的设置菜单中打开蓝牙，通常位于 Wi-Fi 选项附近。
- 润湿拇指：
 - **重要**：确保您的拇指适当地用水或导电胶润湿。这可以增强连接并确保传感器读取的准确性。

逐步故障排除

1. 激活蓝牙：
 - 如果卡在此步骤，请确认：
 - 您的设备有一个活跃的蓝牙芯片。
 - 蓝牙已打开并正常工作。
2. 打开传感器：
 - 当传感器从支架上取下时，传感器会自动开机。将您潮湿的拇指放在传感器上。它通常在 1-2 秒内连接。如果没有：
 - 在应用中点击 **重新启动蓝牙**。
 - 拿开拇指，然后再试着将它们放回传感器上。
3. 连接状态：
 - 应用程序在蓝牙面板上提供逐步指示：
 - **激活蓝牙**：确保蓝牙已开启。
 - **打开传感器**：应用程序已准备好连接传感器。
 - **传感器已连接**：传感器已成功链接并准备就绪。
 - **初步数据交换**：应用程序已接收初始数据，例如电池状态和序列号。
 - **活跃数据**：正在接收 ECG 数据，并且录音或测试开始。
4. 处理多个设备连接：
 - 如果传感器之前与多个设备配对，请在未使用的设备上禁用蓝牙以防干扰。

附加说明

- 首次授权：
 - 首次启动应用程序时，请在提示时授予蓝牙权限。如果您不小心拒绝了这些权限：
 - 在系统偏好设置中调整它们。
 - 或者，卸载并重新安装应用程序以重置权限。
- 传感器断开连接：
 - 如果传感器在使用过程中断开连接，请检查：
 - 电池电量。
 - 拇指是否正确放置在传感器上。

通过遵循这些步骤并确保您的拇指适当湿润，您可以解决大多数蓝牙连接问题，并享受与 BioCoherence 的无缝体验。如果问题仍然存在，请考虑联系支持以获得额外帮助。

BioCoherence 的价格是多少？

BioCoherence 提供最大灵活性的价格。您可以免费开始，然后选择最适合您的计划。我们所有的计划都在 biocoherence.net/price⁸ 上有详细说明。

免费计划

免费计划允许您进行无限次录音并与专业人士连接，并接收一次定制的冥想。对于扫描，您可以打开一些一般信息页面，但大多数页面是模糊的；您可以购买一份报告来解锁它。您可以使用 Apple Watch 或我们的传感器进行录音。您还可以访问测试目录，并选择为您想要的任何测试付费。

要使用免费计划，您只需 **安装应用程序**⁹ 并创建一个免费帐户。

如果您想更进一步，这里是我们的付费计划：

个人使用的付费计划

请在我们的网站上查看价格。价格按月（无承诺）到终身许可证，终身包括所有更新。我们还有带折扣的年度计划。

- Me Play 允许无限次播放频率和冥想。
- Me Essential 允许无限次扫描和平衡（冥想和频率），最多支持 2 个帐户，并让您访问报告的基本屏幕和免费测试。您可以根据需要购买完整报告和付费测试。
- Me Custom 允许您选择 3 个始终解锁的屏幕。
- Me Plus 为最多 6 人提供无限完整扫描屏幕、可编辑资源和优先级，以及自定义平衡。

专业使用的付费计划

- Pro Essential 允许无限次扫描（本地或远程）和无限数量客户的平衡，并让您访问报告的基本屏幕和基本测试创建。您可以根据需要购买完整报告和付费测试。
- Pro Custom 允许您选择 3 个始终解锁的屏幕。
- Pro Plus 为无限数量客户提供无限完整扫描（本地或远程）和所有屏幕、可编辑资源和优先级、自定义平衡，以及完整测试创建，包括货币化。
- Med 专注于 ECG 中经过医学验证的生物标记。

要获取有关计划的更多详细信息，请访问 biocoherence.net/price¹⁰

BioCoherence 最擅长做什么？

BioCoherence 软件在提供身体电磁活动的综合分析方面表现出色，能够洞察各种生物标志物和整体健康状态。通过突出资源、优先事项和器官之间的联系，它以简单、图形化的方式展示来自各个领域的复杂数据，便于治疗师日常使用。它专门使用高级数学运算进行多层次分析，直接从身体的电传感器（心电图）中提取有意义的信息。基于这些确定的资源和优先事项，它可以提出定制的引导冥想和再平衡协议。

BioCoherence 并不是为了做什么？

BioCoherence 并不旨在诊断特定的医疗状况或替代传统的医疗建议。虽然一些生物标志物来自官方的学术医学研究，但其主要目的是提供快速理解和识别根本原因的工具。它支持家庭用户的自助，并在需要时将他们与高级治疗师连接。

确保扫描过程完成的最佳方法是什么，考虑到分析应该至少需要 130 秒？

分析确实需要至少约 130 秒才能获得准确的结果（需要至少 128 次有效心跳）。扫描底部有进度条，显示每种分析所需的时间。请确保扫描运行整个持续时间，即使当进度条填充为绿色时看起来已完成。确保扫描的整个持续时间完成对于结果的准确性至关重要。

⁸ <https://biocoherence.net/price>
⁹ <https://biocoherence.net/install>
¹⁰ <https://biocoherence.net/price>

生成的文件质量如何？

重点是开发应用程序内的高质量声音生成，包括一个功能齐全的实时合成器和音序器。这些工具已经在应用程序中可用于噪音、频率和录制的引导冥想。生成的参数正在不断发展。音乐支持冥想和同时进行的小组会议的调音。

已测量或报告了哪些结果？

在测试阶段，BioCoherence 收到了来自初步测试的非常积极的反馈，验证了其有效性。我们正在收集多样化的反馈，以进一步验证并扩展其使用。随着数据的收集，客户推荐和具体案例研究将会提供。

BioCoherence 包含一种收集匿名数据（需选择加入）的方法，以科学验证所有生物标志物和平衡模式。这些数据将成为发表科学文章的基础，并可应信誉良好的机构请求提供原始、匿名的数据。

入门级使用和高级使用会是什么？

入门级使用：我玩（自动扫描或测试，以及自动定制的生物反馈增强冥想）。高级使用：专业版（40个图形页面，链接，资源，以及优先级识别和修改，还有专业目录用于用户-治疗师连接）。未来的功能还将包括比较扫描和多个用户的同时冥想。

为什么我的传感器在我完成扫描后仍然闪烁蓝色或绿色？

您需要将传感器放回传感器外壳中，这将自动将其关闭。我们设计这个传感器时考虑到使用的简单性，因此您甚至不必担心开关——它会自动完成这个过程。您可能会看到在完成扫描后，它继续闪烁绿色或蓝色几秒钟，甚至可能长达1分钟，但随后它会关闭并等待下一次扫描的开始。

为什么在扫描过程中蓝牙有时无法连接？

如果您在扫描过程中遇到蓝牙连接问题，可能是因为BioCoherence扫描仪已与多个设备配对。当这种情况发生时，扫描仪可能会尝试连接到当前未使用的设备。要解决此问题，请确保任何与BioCoherence扫描仪之前连接的其他设备上的蓝牙已完全关闭。通过这样做，扫描仪将顺利连接到正确的设备，使您的扫描能够顺利进行而不受干扰。

为了避免任何麻烦，非常重要是首先通过应用程序启动蓝牙连接过程，方法是开始新的录音或测试，然后再抓取传感器。通过将您的拇指放在传感器上，它将自动启动并连接到此时已经处于研究模式的应用程序。

我可以哪种账户类型来检测寄生虫？

此功能仅限专业用户使用。这些信息需要由专业人员进行解读，我们旨在确保其准确和负责任地使用。它仍然在能量评估的范围内，而不是对寄生虫存在的直接观察。

附录2。

相关研究列表

您可以访问所有链接在 biocoherence.net/studieslist

针灸，经络

H. M. Langevin and J. A. Yandow. *Anat. Rec. (New Anat.)* 269, 257 (2002). [DOI¹](#), [Crossref²](#)

Banes AJ, Tsuzaki M, Yamamoto J, et al. 1995. Mechanoreception at the cellular level: The detection, interpretation and diversity of responses to mechanical signals. *Biochem Cell Biol* 73:349–365. [Crossref³](#) [PubMed⁴](#) [Web of Science⁵](#)

Bonassar LJ, Stinn JL, Paguio CG, et al. 1996. Activation and inhibition of endogenous matrix metalloproteinases in articular cartilage: Effects on composition and biophysical properties. *Arch Biochem Biophys* 333: 359–367. [Crossref⁶](#) [PubMed⁷](#) [Web of Science⁸](#)

Murugan NJ, Cariba S, Abeygunawardena S, Rouleau N, Payne SL. Biophysical control of plasticity and patterning in regeneration and cancer. *Cell Mol Life Sci.* 2023 Dec 15;81(1):9. doi: 10.1007/s00018-023-05054-6. PMID: 3809951; PMCID: PMC10724343. [DOI⁹](#)

Brand RA. 1997. What do tissues and cells know of mechanics? *Ann Med* 29: 267–269. [Crossref¹⁰](#) [PubMed¹¹](#) [Web of Science¹²](#)

Bossy J. 1984. Morphological data concerning the acupuncture points and channel network. *Acupunct Electrother Res* 9: 79–106. [PubMed¹³](#) [Web of Science¹⁴](#)

Cheng X. 1987. Chinese acupuncture and moxibustion. Beijing: Foreign Language Press.

Chicurel ME, Chen CS, Ingber DE. 1998. Cellular control lies in the balance of forces. *Curr Opin Cell Biol* 10: 232–239. [Crossref¹⁵](#) [PubMed¹⁶](#) [Web of Science¹⁷](#)

Chiquet M. 1999. Regulation of extracellular matrix gene expression by mechanical stress. *Matrix Biol* 18: 417–426. [PubMed¹⁸](#) [Web of Science¹⁹](#)

Ciczek LSW, Szopinski J, Skrzypulec V. 1985. Investigations of morphological structures of acupuncture points and meridians. *J Trad Chin Med* 5: 289–292.

Comunetti A, Laage S, Schiessl N, Kistler A. 1995. Characterization of human skin conductance at acupuncture points. *Experientia* 51: 328–331. [Crossref²⁰](#) [PubMed²¹](#) [Web of Science²²](#)

Dung HC. 1984. Anatomical features contributing to the formation of acupuncture points. *Am J Acupunct* 12: 139–143. [Web of Science²³](#)

1. <https://doi.org/10.1002/ar.10185>
2. https://aip.scitation.org/servertime/linkout?suffix=c26_e26_1&dbid=16&doi=10.1063/1.4991499&key=10.1002/ar.10185
3. <https://onlinelibrary.wiley.com/servertime/linkout?suffix=null&dbid=16&doi=10.1002/ar.10185&key=10.1139/o95-043>
4. <https://onlinelibrary.wiley.com/servertime/linkout?suffix=null&dbid=8&doi=10.1002/ar.10185&key=8703408>
5. <https://onlinelibrary.wiley.com/servertime/linkout?suffix=null&dbid=128&doi=10.1002/ar.10185&key=A1995TT60300006>
6. <https://onlinelibrary.wiley.com/servertime/linkout?suffix=null&dbid=16&doi=10.1002/ar.10185&key=10.1006/abbi.1996.0402>
7. <https://onlinelibrary.wiley.com/servertime/linkout?suffix=null&dbid=8&doi=10.1002/ar.10185&key=8809074>
8. <https://onlinelibrary.wiley.com/servertime/linkout?suffix=null&dbid=128&doi=10.1002/ar.10185&key=A1996VJ77600006>
9. <https://doi.org/10.1007/s00018-023-05054-6>
10. <https://onlinelibrary.wiley.com/servertime/linkout?suffix=null&dbid=16&doi=10.1002/ar.10185&key=10.3109/07853899708999346>
11. <https://onlinelibrary.wiley.com/servertime/linkout?suffix=null&dbid=8&doi=10.1002/ar.10185&key=9375981>
12. <https://onlinelibrary.wiley.com/servertime/linkout?suffix=null&dbid=128&doi=10.1002/ar.10185&key=A1997XZ10400003>
13. <https://onlinelibrary.wiley.com/servertime/linkout?suffix=null&dbid=8&doi=10.1002/ar.10185&key=6148847>
14. <https://onlinelibrary.wiley.com/servertime/linkout?suffix=null&dbid=128&doi=10.1002/ar.10185&key=A1984TF83000001>
15. [https://onlinelibrary.wiley.com/servertime/linkout?suffix=null&dbid=16&doi=10.1002/ar.10185&key=10.1016/S0955-0674\(98\)80145-2](https://onlinelibrary.wiley.com/servertime/linkout?suffix=null&dbid=16&doi=10.1002/ar.10185&key=10.1016/S0955-0674(98)80145-2)
16. <https://onlinelibrary.wiley.com/servertime/linkout?suffix=null&dbid=8&doi=10.1002/ar.10185&key=9561847>
17. <https://onlinelibrary.wiley.com/servertime/linkout?suffix=null&dbid=128&doi=10.1002/ar.10185&key=000073043200010>
18. <https://onlinelibrary.wiley.com/servertime/linkout?suffix=null&dbid=8&doi=10.1002/ar.10185&key=10601729>
19. <https://onlinelibrary.wiley.com/servertime/linkout?suffix=null&dbid=128&doi=10.1002/ar.10185&key=000084085600001>
20. <https://onlinelibrary.wiley.com/servertime/linkout?suffix=null&dbid=16&doi=10.1002/ar.10185&key=10.1007/BF01928888>
21. <https://onlinelibrary.wiley.com/servertime/linkout?suffix=null&dbid=8&doi=10.1002/ar.10185&key=7729497>
22. <https://onlinelibrary.wiley.com/servertime/linkout?suffix=null&dbid=128&doi=10.1002/ar.10185&key=A1995QU26800004>
23. <https://onlinelibrary.wiley.com/servertime/linkout?suffix=null&dbid=128&doi=10.1002/>

Giancotti FG, Ruoslahti E. 1999. Integrin signaling. *Science* 285: 1028–1032. [Crossref²⁴](#) [PubMed²⁵](#) [Web of Science²⁶](#)

Gunn CC, Ditchburn FG, King MH, Renwick GJ. 1976. Acupuncture loci: A proposal for their classification according to their relationship to known neural structures. *Am J Chin Med* 4: 183–195. [Crossref²⁷](#) [PubMed²⁸](#)

Ho MW, Knight DP. 1998. The acupuncture system and the liquid crystalline collagen fibers of the connective tissues. *Am J Chin Med* 26: 251–263. [Crossref²⁹](#) [PubMed³⁰](#) [Web of Science³¹](#)

Huan ZY, Rose K. 2001. A brief history of Qi. Brookline, MA: Paradigm Publications.

Kaptekuk TJ. 2000. The web that has no weaver. Understanding Chinese medicine. Chicago: Contemporary Publishing Group, Inc.

Lai WM, Mow VC, Sun DD, Atesian GA. 2000. On the electric potentials inside a charged soft hydrated biological tissue: Streaming potential versus diffusion potential. *J Biomech Eng* 122: 336–346. [Crossref³²](#) [PubMed³³](#) [Web of Science³⁴](#)

Langevin HM, Churchill DL, Cipolla MJ. 2001a. Mechanical signaling through connective tissue: A mechanism for the therapeutic effect of acupuncture. *FASEB J* 15: 2275–2282. [Wiley Online Library³⁵](#) [PubMed³⁶](#) [Web of Science³⁷](#)

Langevin HM, Churchill DL, Fox JR, Badger GJ, Garra BS, Krag MH. 2001b. Biomechanical response to acupuncture needling in humans. *J Appl Physiol* 91: 2471–2478. [Crossref³⁸](#) [PubMed³⁹](#) [Web of Science⁴⁰](#)

Langevin HM, Churchill DL, Wu J, Badger GJ, Yandow JA, Fox JR, Krag MH. 2002. Evidence of connective tissue involvement in acupuncture. *FASEB J* 16: 872–874. [Wiley Online Library⁴¹](#) [PubMed⁴²](#) [Web of Science⁴³](#)

Liu KY, Varela M, Oswald R. 1975. The correspondence between some motor points and acupuncture loci. *Am J Chin Med* 3: 347–358. [Crossref⁴⁴](#) [PubMed⁴⁵](#)

Matsumoto K, Birch S. 1988. Hara diagnosis: Reflections of the sea. Brookline: Paradigm Publications.

McCarroll GD, Rowley BA. 1979. An investigation of the existence of electrically located acupuncture points. *IEEE Trans Biomed Eng* 26: 177–182. [Crossref⁴⁶](#) [PubMed⁴⁷](#) [Web of Science⁴⁸](#)

24. <https://onlinelibrary.wiley.com/servertime/linkout?suffix=null&dbid=16&doi=10.1002/ar.10185&key=10.1126/science.285.5430.1028>
25. <https://onlinelibrary.wiley.com/servertime/linkout?suffix=null&dbid=8&doi=10.1002/ar.10185&key=10446041>
26. <https://onlinelibrary.wiley.com/servertime/linkout?suffix=null&dbid=128&doi=10.1002/ar.10185&key=000082033100034>
27. <https://onlinelibrary.wiley.com/servertime/linkout?suffix=null&dbid=16&doi=10.1002/ar.10185&key=10.1142/S0192415X76000238>
28. <https://onlinelibrary.wiley.com/servertime/linkout?suffix=null&dbid=8&doi=10.1002/ar.10185&key=937240>
29. <https://onlinelibrary.wiley.com/servertime/linkout?suffix=null&dbid=16&doi=10.1002/ar.10185&key=10.1142/S0192415X98000294>
30. <https://onlinelibrary.wiley.com/servertime/linkout?suffix=null&dbid=8&doi=10.1002/ar.10185&key=9862013>
31. <https://onlinelibrary.wiley.com/servertime/linkout?suffix=null&dbid=128&doi=10.1002/ar.10185&key=000073302300001>
32. <https://onlinelibrary.wiley.com/servertime/linkout?suffix=null&dbid=16&doi=10.1002/ar.10185&key=10.1115/1.1286316>
33. <https://onlinelibrary.wiley.com/servertime/linkout?suffix=null&dbid=8&doi=10.1002/ar.10185&key=11036556>
34. <https://onlinelibrary.wiley.com/servertime/linkout?suffix=null&dbid=128&doi=10.1002/ar.10185&key=00016711100006>
35. <https://onlinelibrary.wiley.com/doi/10.1096/fj.01-0015hyp>
36. <https://onlinelibrary.wiley.com/servertime/linkout?suffix=null&dbid=8&doi=10.1002/ar.10185&key=11641255>
37. <https://onlinelibrary.wiley.com/servertime/linkout?suffix=null&dbid=128&doi=10.1002/ar.10185&key=000171920400040>
38. <https://onlinelibrary.wiley.com/servertime/linkout?suffix=null&dbid=16&doi=10.1002/ar.10185&key=10.1152/jappl.2001.91.6.2471>
39. <https://onlinelibrary.wiley.com/servertime/linkout?suffix=null&dbid=8&doi=10.1002/ar.10185&key=11717207>
40. <https://onlinelibrary.wiley.com/servertime/linkout?suffix=null&dbid=128&doi=10.1002/ar.10185&key=00017248200008>
41. <https://onlinelibrary.wiley.com/doi/10.1096/fj.01-0925fje>
42. <https://onlinelibrary.wiley.com/servertime/linkout?suffix=null&dbid=8&doi=10.1002/ar.10185&key=11967233>
43. <https://onlinelibrary.wiley.com/servertime/linkout?suffix=null&dbid=128&doi=10.1002/ar.10185&key=000175425900017>
44. <https://onlinelibrary.wiley.com/servertime/linkout?suffix=null&dbid=16&doi=10.1002/ar.10185&key=10.1142/S0192415X75000426>
45. <https://onlinelibrary.wiley.com/servertime/linkout?suffix=null&dbid=8&doi=10.1002/ar.10185&key=1202933>

- Science®⁴⁸
- Noordegraaf A, Silage D. 1973. Electroacupuncture. *IEEE Trans Biomed Eng* 20: 364–366. [Crossref⁴⁹](#) [PubMed⁵⁰](#) [Web of Science®⁵¹](#)
- NIH Consensus Statement. 1997. Acupuncture. Bethesda, MD: NIH. 15: 1–34.
- O'Connor J, Bensky D. 1981. Acupuncture, a comprehensive text (Shanghai College of Traditional Medicine) Seattle: Eastland Press.
- Oschan J.L. 1993. A biophysical basis for acupuncture. Proceedings of the First Symposium of the Committee for Acupuncture Research.
- Pomeranz B. 2001. Acupuncture analgesia-basic research. In: G Stux, R Hammerschlag, editors. *Clinical acupuncture-scientific basis*. Berlin: Springer-Verlag.
- Rabischong P, Niboyet JEH, Terral C, Senelar R, Casez R. 1975. Bases experimentales de l'analgésie acupunctureale. *Nouv Presse Med* 4: 2021–2026. [PubMed⁵²](#) [Web of Science®⁵³](#)
- Reishmanis M, Marino AA, Becker RO. 1975. Electrical correlates of acupuncture points. *IEEE Trans Biomed Eng* 22: 533–535. [Crossref⁵⁴](#) [PubMed⁵⁵](#) [Web of Science®⁵⁶](#)
- Senelar R. 1979. Les caractéristiques morphologiques des points chinois. In: JEH Niboyet, editor. *Nouveau traité d'acupuncture*. Paris: Maisonneuve.
- Shanghai Medical University, Human Anatomy Department. 1973. A relationship between points of meridians and peripheral nerves: Acupuncture anaesthetic theory study. Shanghai: People's Republic Publishing House.
- Swartz MA, Tschumperlin DJ, Kamm RD, Drazen JM. 2001. Mechanical stress is communicated between different cell types to elicit matrix remodeling. *Proc Natl Acad Sci USA* 98: 6180–6185. [Crossref⁵⁷](#) [PubMed⁵⁸](#) [Web of Science®⁵⁹](#)
- Ulett GA, Han S, Han JS. 1998. Electroacupuncture: mechanisms and clinical applications. *Biol Psych* 44: 129–138. [PubMed⁶⁰](#) [Web of Science®⁶¹](#)
- Veith I. 1949. The yellow emperor's classic of internal medicine. Berkeley: University of California Press.
- Yang J. 1601. The golden needle and other odes of traditional acupuncture, 1601. Translated by R Bertschinger. Edinburgh: Churchill Livingstone.
- Quyen Manh Nguyen, Tuan Hoang Nguyen, Lam Van Tran, Tin Thanh Dang, Anh Dinh, Device to Detect Acupuncture Points in the Feet Soles for Massage Treatment, 8th International Conference on the Development of Biomedical Engineering in Vietnam, 10.1007/978-3-030-75506-5_1, (3-13), (2022). [Crossref⁶²](#)
- Yung-Sheng Yen, Han-Yi Cheng, Hung-Ta Lin, Evaluation of Stress on Acupuncture with Nano-Etched and Diamond-Like Carbon (DLC) Coating Surface Modifications, *Journal of Biomaterials and Tissue Engineering*, 10.1166/jbt.2022.2928, 12, 3, (489-493), (2022). [Crossref⁶³](#)
- Gregory P. Casey, Anatomical characterization of acupoint large intestine 4, *The Anatomical Record*, 10.1002/ar.24681, 305, 1, (144-155), (2021). [Wiley Online Library⁶⁴](#)
- Ajit B. Pai, Lori V. Stuart, David F. Drake, Integrative Medicine in Rehabilitation, *Braddom's Physical Medicine and Rehabilitation*, 10.1016/B978-0-323-62539-5.00018-7, (364-373.e3), (2021). [Crossref⁶⁵](#)
- Tongju Li, Bruce Qing Tang, Wei-Bo Zhang, Minyi Zhao, Qingchuan Hu, Andrew Ahn, In Vivo Visualization of the Pericardium Meridian with Fluorescent Dyes, Evidence-Based Complementary and Alternative Medicine, 10.1155/2021/5581227, 2021, (1-10), (2021). [Crossref⁶⁶](#)
- Chao Sun, Changchun Ji, Ying Li, Jiujie Kuang, Jiangtao Wu, A comparison study of photothermal effect between moxibustion therapy and laser irradiation on biological tissue, *International Journal of Thermal Sciences*, 10.1016/j.ijthermalsci.2021.106924, 164, (106924), (2021). [Crossref⁶⁷](#)
- Nikolay Dimitrov, Nikola Tomov, Dimitrinka Atanasova, Stilyan Iliev, Tatyana Tomova, Dimitar Sivrev, Zoya Goranova, Visible Meridian Phenomena after Acupuncture: A Series of
46. <https://onlinelibrary.wiley.com/doi/10.1002/ar.10185&key=10.1109/TBME.1979.326392>
47. <https://onlinelibrary.wiley.com/doi/10.1002/ar.10185&key=521032>
48. <https://onlinelibrary.wiley.com/doi/10.1002/ar.10185&key=A1979GN78800013>
49. <https://onlinelibrary.wiley.com/doi/10.1002/ar.10185&key=10.1109/TBME.1973.324289>
50. <https://onlinelibrary.wiley.com/doi/10.1002/ar.10185&key=4727423>
51. <https://onlinelibrary.wiley.com/doi/10.1002/ar.10185&key=A1973Q497200007>
52. <https://onlinelibrary.wiley.com/doi/10.1002/ar.10185&key=1178444>
53. <https://onlinelibrary.wiley.com/doi/10.1002/ar.10185&key=A1975AP43900003>
54. <https://onlinelibrary.wiley.com/doi/10.1002/ar.10185&key=10.1109/TBME.1975.324477>
55. <https://onlinelibrary.wiley.com/doi/10.1002/ar.10185&key=1184029>
56. <https://onlinelibrary.wiley.com/doi/10.1002/ar.10185&key=A1975AU02000013>
57. <https://onlinelibrary.wiley.com/doi/10.1002/ar.10185&key=10.1073/pnas.11133298>
58. <https://onlinelibrary.wiley.com/doi/10.1002/ar.10185&key=11353845>
59. <https://onlinelibrary.wiley.com/doi/10.1002/ar.10185&key=000168883700045>
60. <https://onlinelibrary.wiley.com/doi/10.1002/ar.10185&key=9646895>
61. <https://onlinelibrary.wiley.com/doi/10.1002/ar.10185&key=000074292400008>
62. https://doi.org/10.1007/978-3-030-75506-5_1
63. <https://doi.org/10.1166/jbt.2022.2928>
64. <https://onlinelibrary.wiley.com/doi/10.1002/ar.24681>
65. <https://doi.org/10.1016/B978-0-323-62539-5.00018-7>
66. <https://doi.org/10.1155/2021/5581227>
67. <https://doi.org/10.1016/j.ijthermalsci.2021.106924>
- Case Reports, *Journal of Acupuncture and Meridian Studies*, 10.51507/j.jams.2021.14.2.50, 14, 2, (50-57), (2021). [Crossref⁶⁸](#)
- Nasim Bahadorani, Jerry W. Lee, Leslie R. Martin, Implications of Tamarkoz on stress, emotion, spirituality and heart rate, *Scientific Reports*, 10.1038/s41598-021-93470-8, 11, 1, (2021). [Crossref⁶⁹](#)
- Maojun Li, Huawen Peng, Binxiu Wei, Qiuxia Deng, Fen Qian, Xin Liu, Jian Wang, Xiaodong Zhu, Effect of acupuncture anesthesia based on nanomaterial sensor on cognitive function after one-lung ventilation thoracotomy, *Materials Express*, 10.1166/mex.2021.2027, 11, 7, (1051-1056), (2021). [Crossref⁷⁰](#)
- Jaliya Kumaratilake, Teghan Lucas, Maciej Henneberg, Possible relationship of upper limb arteries, median and brachial to the twelfth meridian of the human upper limb, *Journal of Anatomy*, 10.1111/joa.13401, 238, 6, (1492-1493), (2021). [Wiley Online Library⁷¹](#)
- Yong Ming Li, Three hand yin meridians in ancient Chinese medicine were established initially based on arterial structures, *Journal of Anatomy*, 10.1111/joa.13400, 238, 6, (1494-1496), (2021). [Wiley Online Library⁷²](#)
- Yi Zhang, Interpretation of acupoint location in traditional Chinese medicine teaching: Implications for acupuncture in research and clinical practice, *The Anatomical Record*, 10.1002/ar.24618, 304, 11, (2372-2380), (2021). [Wiley Online Library⁷³](#)
- Sanghun Lee, Prospects for the Development of Acupuncture Treatment Led by the Use of Ultrasound Imaging Devices, *Journal of Korean Medical Society of Soft Tissue*, 10.54461/JKMS.2021.5.1.8, 5, 1, (8-11), (2021). [Crossref⁷⁴](#)
- Xiao Ye, Yu-Jan Ren, Yun-hui Chen, Ji Chen, Xiao-jiao Tang, Zong-ming Zhang, A “4D” systemic view on meridian essence: Substantial, functional, chronological and cultural attributes, *Journal of Integrative Medicine*, 10.1016/j.joim.2021.11.006, (2021). [Crossref⁷⁵](#)
- Berna Dincer, Demet İnangil, Gökhan İnangil, Nefise Bahçecik, Elif Yıldırım Ayaz, Ali Arslanoğlu, Miraç Vural Keskinler, Ayşe Kabuk, Gamze Özkan, The effect of acupuncture on sleep quality of older people: A systematic review and meta-analysis of randomized controlled trials, *EXPLORE*, 10.1016/j.explore.2021.11.010, (2021). [Crossref⁷⁶](#)
- Marianna de Melo Salemi, Vanessa Maria da Silva Alves Gomes, Laylla Marjorye Reboças Bezerra, Thania Maion de Souza Melo, Geisa Guimarães de Alencar, Iracema Hermes Pires de Melo Montenegro, Alessandra Paula de Melo Calado, Eduardo José Nepomuceno Montenegro, Gisela Rocha de Siqueira, Effect of Dry Cupping Therapy on Pain and Functional Disability in Persistent Non-Specific Low Back Pain: A Randomized Controlled Clinical Trial, *Journal of Acupuncture and Meridian Studies*, 10.51507/j.jams.2021.14.6.219, 14, 6, (219-230), (2021). [Crossref⁷⁷](#)
- Luis Carlos Matos, Jorge Pereira Machado, Fernando Jorge Monteiro, Henry Johannes Gretten, Understanding Traditional Chinese Medicine Therapeutics: An Overview of the Basics and Clinical Applications, *Healthcare*, 10.3390/healthcare9030257, 9, 3, (257), (2021). [Crossref⁷⁸](#)
- Jingwen Cui, Wanrong Song, Yipeng Jin, Huihao Xu, Kai Fan, Degui Lin, Zhihui Hao, Jiahao Lin, Research Progress on the Mechanism of the Acupuncture Regulating Neuro-Endocrine-Immune Network System, *Veterinary Sciences*, 10.3390/vetsci8080149, 8, 8, (149), (2021). [Crossref⁷⁹](#)
- İngino Öngay de Felipe, The Universality of Science and Traditional Chinese Medicine, *Science & Education*, 10.1007/s11191-021-00249-4, (2021). [Crossref⁸⁰](#)
- Ningcen Li, Yi Guo, Yanan Gong, Yue Zhang, Wen Fan, Kaifang Yao, Zhihan Chen, Baomin Dou, Xiaowei Lin, Bo Chen, Zelin Chen, Zhifang Xu, Zhongxi Lyu, The Anti-Inflammatory Actions and Mechanisms of Acupuncture from Acupoint to Target Organs via Neuro-Immune Regulation, *Journal of Inflammation Research*, 10.2147/JIR.S341581, Volume 14, (7191-7224), (2021). [Crossref⁸¹](#)
- 戴云 冯, Bridging Medicine East and West—Pursuit on the Relation between Biomedical Consequence of Stimulating the Acupoints of the Lung Meridian and Somatosensory Reflexes, Aiming to Treat Chronic Obstruction Pulmonary Diseases, *Traditional Chinese Medicine*, 10.12677/TCM.2020.92022, 09, 02, (145-176), (2020). [Crossref⁸²](#)
- Manon te Dorsthorst, Michael van Balken, John Heesakkers, Tibial nerve stimulation in the treatment of overactive bladder syndrome, *Current Opinion in Urology*, 10.1097/MOU.0000000000000781, 30, 4, (513-518), (2020). [Crossref⁸³](#)
- Peter I-Kung Wu, Lucy Chen, Integrative Medicine, *Spine Pain Care*, 10.1007/978-3-030-27447-4, (473-489), (2020). [Crossref⁸⁴](#)
- I. Giralt Sampedro, G. Carvajal, A. García-Janeras, A. Fabà, M.B. Nishishinya Aquino, A severe case of Ramsay Hunt Syndrome treated with acupuncture and related techniques, *Complementary Therapies in Clinical Practice*, 10.1016/j.ctcp.2020.101119, (101119), (2020). [Crossref⁸⁵](#)
- Eric Leskowitz, A Cartography of Energy Medicine: From Subtle Anatomy to Energy
68. <https://doi.org/10.51507/j.jams.2021.14.2.50>
69. <https://doi.org/10.1038/s41598-021-93470-8>
70. <https://doi.org/10.1166/mex.2021.2027>
71. <https://onlinelibrary.wiley.com/doi/10.1111/joa.13401>
72. <https://onlinelibrary.wiley.com/doi/10.1111/joa.13400>
73. <https://onlinelibrary.wiley.com/doi/10.1002/ar.24618>
74. <https://doi.org/10.54461/JKMS.2021.5.1.8>
75. <https://doi.org/10.1016/j.joim.2021.11.006>
76. <https://doi.org/10.1016/j.explore.2021.11.010>
77. <https://doi.org/10.51507/j.jams.2021.14.6.219>
78. <https://doi.org/10.3390/healthcare9030257>
79. <https://doi.org/10.3390/vetsci8080149>
80. <https://doi.org/10.1007/s11191-021-00249-4>
81. <https://doi.org/10.2147/JIR.S341581>
82. <https://doi.org/10.12677/TCM.2020.92022>
83. <https://doi.org/10.1097/MOU.0000000000000781>
84. <https://doi.org/10.1007/978-3-030-27447-4>
85. <https://doi.org/10.1016/j.ctcp.2020.101119>

- Physiology, *EXPLORE*, 10.1016/j.explore.2020.09.008, (2020). [Crossref⁶⁶](#)
- Hantong Hu, Yongliang Jiang, Xiaoyu Li, Jiali Lou, Yajun Zhang, Xiaofen He, Junfan Fang, Yuanyan Wu, Xiaomei Shao, Jianqiao Fang, The microcirculatory characteristics of the heart and lung meridians, *Medicine*, 10.1097/MD.00000000000019594, 99, 14, (e19594), (2020). [Crossref⁶⁷](#)
- Sheikh Faruque Elahee Bangladesh, Hui-juan Mao, Ling Zhao, Xue-yong Shen, Meridian system and mechanism of acupuncture action: A scientific evaluation 经络系统与针刺效应机制的科学评价, *World Journal of Acupuncture - Moxibustion*, 10.1016/j.wjam.2020.05.003, (2020). [Crossref⁶⁸](#)
- Mário Gonçalves, Luís Carlos Matos, Leonel Duarte, Jorge Machado, Henry Johannes Greten, Giovanna Franconi, PROBLEMS OF SCIENTIFIC METHODOLOGY RELATED TO PLACEBO CONTROL IN QIGONG STUDIES: A SYSTEMATIC REVIEW, *Journal of Bodywork and Movement Therapies*, 10.1016/j.jbmt.2020.06.035, (2020). [Crossref⁶⁹](#)
- Hans-Udo Richarz, Uwe Schütz, Werner Klingler, Das fasciale Bindegewebe – ein Medium für die Akupunktur? The fascial connective tissue—a medium for acupuncture?, *Deutsche Zeitschrift für Akupunktur*, 10.1007/s4212-019-00228-5, (2020). [Crossref⁷⁰](#)
- Shi Yonghong, Wu Ruizhi, Zhang Yue, Bai Xuebing, Imran Tarique, Liang Chunhua, Yang Ping, Chen Qisheng, Telocytes in Different Organs of Vertebrates: Potential Essence Cells of the Meridian in Chinese Traditional Medicine, *Microscopy and Microanalysis*, 10.1017/S1431972620001518, (1-14), (2020). [Crossref⁷¹](#)
- Jinglan Mu, Andrea D Furlan, Wai Yee Lam, Marcos Y Hsu, Zhipeng Ning, Lixing Lao, Acupuncture for chronic nonspecific low back pain, *Cochrane Database of Systematic Reviews*, 10.1002/14651858.CD013814, (2020). [Crossref⁷²](#)
- Kimia Grace Ganjaei, Jeremiah W. Ray, Brandee Waite, Kevin J. Burnham, The Fascial System in Musculoskeletal Function and Myofascial Pain, *Current Physical Medicine and Rehabilitation Reports*, 10.1007/s40141-020-00302-3, (2020). [Crossref⁷³](#)
- Christina L Ross, Energy Medicine: Current Status and Future Perspectives, *Global Advances in Health and Medicine*, 10.1177/2164956119831221, 8, (2164956119831221), (2019). [Crossref⁷⁴](#)
- Phil Trabulsy, COMPLEMENTARY AND ALTERNATIVE MEDICINE, *Cancer*, 10.1002/9781119645214, (499-530), (2019). [Wiley Online Library⁷⁵](#)
- Younyoung Chae, Yeonhee Ryu, Won-Mo Jung, An Analysis of Indications of Meridians in DongUiBoGam Using Data Mining, *Korean Journal of Acupuncture*, 10.14406/aku.2019.034, 36, 4, (292-299), (2019). [Crossref⁷⁶](#)
- Wei-bo ZHANG, Xiao-jing SONG, Ze WANG, Guang-jun WANG, Shu-yong JIA, Yu-ying TIAN, Hong-yan LI, Longitudinal Directional Movement of Alcian Blue in Gephyrocharax Melanocheir Fish: Revealing Interstitial Flow and Related Structure ☆ 阿尔新蓝在黑裙鱼中的纵向定向运动:组织液流动与相关结构的揭示, *World Journal of Acupuncture - Moxibustion*, 10.1016/j.wjam.2019.05.008, (2019). [Crossref⁷⁷](#)
- Nicholas Alexander Wise, Action at a distance: laser acupuncture and the brain, *Photobiomodulation in the Brain*, 10.1016/B978-0-12-815305-5.00036-1, (489-501), (2019). [Crossref⁷⁸](#)
- Liangjun Xia, Qingyu Meng, Jin Xi, Qin Han, Jie Cheng, Jie Shen, Youbing Xia, Liyun Shi, The synergistic effect of electroacupuncture and bone mesenchymal stem cell transplantation on repairing thin endometrial injury in rats, *Stem Cell Research & Therapy*, 10.1186/s13287-019-1326-6, 10, 1, (2019). [Crossref⁷⁹](#)
- Dha-Hyun Choi, Younyoung Chae, Minimisation of variations in locating an acupuncture point using a laser-device, *Integrative Medicine Research*, 10.1016/j.imr.2019.11.005, (2019). [Crossref⁸⁰](#)
- Doohan Oh, Jong-hyun Kim, Youn-Sub Kim, Song-Yi Kim, Analysis of Tonification and Sedation Methods in the 『Yeongsochimugyeong』, *Korean Journal of Acupuncture*, 10.14406/aku.2019.021, 36, 3, (171-180), (2019). [Crossref⁸¹](#)
- Aleksandar Zivaljevic, Bin Shi, ElisaM S. Tam, Vahideh Toossi, Treatment of visceral pain associated with irritable bowel syndrome using acupuncture: Mechanism of action, *World Journal of Traditional Chinese Medicine*, 10.4103/wjtc.wjtc_24_19, 5, 4, (181), (2019). [Crossref⁸²](#)
- Suchan Chang, O. Sang Kwon, Se Kyun Bang, Do-Hee Kim, Min Won Baek, Yeonhee Ryu, Jong Han Bae, Yu Fan, Soo Min Lee, Hyung Kyu Kim, Bong Hyo Lee, Chae Ha Yang, Hee Young Kim, Peripheral Sensory Nerve Tissue but Not Connective Tissue Is Involved in the Action of Acupuncture, *Frontiers in Neuroscience*, 10.3389/fnins.2019.00110, 13, (2019). [Crossref⁸³](#)
- Junaid Wazir, Rahat Ullah, Shihong Li, Md Amir Hossain, Maladho Tanta Diallo, Farhan Ullah Khan, Awais Ullah Ihsan, Xiaohui Zhou, Efficacy of acupuncture in the treatment of chronic prostatitis-chronic pelvic pain syndrome: a review of the literature, *International Urology and Nephrology*, 10.1007/s11255-019-02267-2, (2019). [Crossref⁸⁴](#)
- Noa Schwartz, Madhavi Latha S. Chalasani, Thomas M. Li, Zhonghui Feng, William D. Shipman, Theresa T. Lu, Lymphatic Function in Autoimmune Diseases, *Frontiers in Immunology*, 10.3389/fimmu.2019.00519, 10, (2019). [Crossref⁸⁵](#)
- Sarah Ely, Panos Barlas, Transcutaneous electrical acupoint stimulation for people with chronic musculoskeletal pain: an exploratory review, *Physical Therapy Reviews*, 10.1080/10833196.2019.1648728, (1-12), (2019). [Crossref⁸⁶](#)
- Koh-Woon Kim, Sanhwa Hong, Hong Soo Kim, Taehun Kim, Jaeha Ahn, Hyun-Seo Song, Yu-Kang Kim, Ju-Young Oh, Tae-Yeon Hwang, Hyangsook Lee, Su-Il In, Hi-Joon Park, Physiological impact of nanoporous acupuncture needles: Laser Doppler perfusion imaging in healthy volunteers, *PLOS ONE*, 10.1371/journal.pone.0226304, 14, 12, (e0226304), (2019). [Crossref⁸⁷](#)
- Chang-zhen Gong, Wei Liu, Convergence of Medicines: West Meets East in Newly-Discovered Organs and Functions, *Chinese Journal of Integrative Medicine*, 10.1007/s11655-018-2570-9, 25, 5, (323-326), (2018). [Crossref⁸⁸](#)
- Jeanne Adiwinata Pawitan, Various stem cells in acupuncture meridians and points and their putative roles, *Journal of Traditional and Complementary Medicine*, 10.1016/j.jtcm.2017.08.004, (2018). [Crossref⁸⁹](#)
- Chungda Lee, How can mindfulness-led breathing of qigong/Tai Chi work on qi and the meridian network?, *Advances in Integrative Medicine*, 10.1016/j.aimed.2018.07.002, 5, 3, (122-127), (2018). [Crossref⁹⁰](#)
- Patrick Roynard, Lauren Frank, Huisheng Xie, Margaret Fowler, Acupuncture for Small Animal Neurologic Disorders, *Veterinary Clinics of North America: Small Animal Practice*, 10.1016/j.cvsm.2017.08.003, 48, 1, (201-219), (2018). [Crossref⁹¹](#)
- Meng Huang, Xuezhi Wang, Beibei Xing, Hongwei Yang, Zheyuan Sa, Di Zhang, Wei Yao, Na Yin, Ying Xia, Guanghong Ding, Critical roles of TRPV2 channels, histamine H1 and adenosine A1 receptors in the initiation of acupoint signals for acupuncture analgesia, *Scientific Reports*, 10.1038/s41598-018-24654-y, 8, 1, (2018). [Crossref⁹²](#)
- Ruining Liang, Peishuang Li, Xuemei Peng, Ling Xu, Pei Fan, Jiahua Peng, Xu Zhou, Chunlin Xiao, Miao Jiang, Efficacy of acupuncture on pelvic pain in patients with endometriosis: study protocol for a randomized, single-blind, multi-center, placebo-controlled trial, *Trials*, 10.1186/s13063-018-2684-6, 19, 1, (2018). [Crossref⁹³](#)
- Wei-bo Zhang, De-xian Jia, Hong-yan Li, Yu-long Wei, Huang Yan, Peng-na Zhao, Feifei Gu, Guang-jun Wang, Yan-ping Wang, Understanding Qi Running in the Meridians as Interstitial Fluid Flowing via Interstitial Space of Low Hydraulic Resistance, *Chinese Journal of Integrative Medicine*, 10.1007/s11655-017-2791-3, 24, 4, (304-307), (2018). [Crossref⁹⁴](#)
- Conner E. Liddle, Richard E. Harris, Cellular Reorganization Plays a Vital Role in Acupuncture Analgesia, *Medical Acupuncture*, 10.1089/acu.2017.1258, 30, 1, (15-20), (2018). [Crossref⁹⁵](#)
- 戳云 冯, Relationship among the Meridians, Sinew Channels and Integrative Five Fluid Circulation System, *Traditional Chinese Medicine*, 10.12677/TCM.2018.71013, 07, 01, (74-92), (2018). [Crossref⁹⁶](#)
- David Feinstein, Energy Psychology: Efficacy, Speed, Mechanisms, *EXPLORE*, 10.1016/j.explore.2018.11.003, (2018). [Crossref⁹⁷](#)
- Hiroie MOTOYAMA, Hirohisa ISOGAI, Yoshito MUKAINO, Relaxing Effect Achieved by Acupuncture Stimulation in Different Postures for University Students Living a Sedentary Lifestyle Sedentary Lifestyle を送る大学生を対象とした異なる姿勢への鍼刺激によるリラクゼーション効果, *Kampo Medicine*, 10.3937/kampomed.69.225, 69, 3, (225-238), (2018). [Crossref⁹⁸](#)
- Alexander Waits, You-Ren Tang, Hao-Min Cheng, Chen-Jei Tai, Li-Yin Chien, Acupressure effect on sleep quality: A systematic review and meta-analysis, *Sleep Medicine Reviews*, 10.1016/j.smrv.2016.12.004, 37, (24-34), (2018). [Crossref⁹⁹](#)
- Chenglin Liu, Qinghua Liu, Dongming Zhang, Wei Liu, Xiaohui Yan, Xinyi Zhang, Hiroyuki Oyanagi, Yunchun Pan, Fengchun Hu, Shiqiang Wei, Insight into the biological effects of acupuncture points by X-ray absorption fine structure, *Analytical and Bioanalytical Chemistry*, 10.1007/s00216-018-1146-z, 410, 20, (4959-4965), (2018). [Crossref¹⁰⁰](#)
- Eric Leskowitz, How Tapping into “Energy” Can Trigger a Paradigm Shift in Biomedicine, *The Journal of Alternative and Complementary Medicine*, 10.1089/acm.2018.0073, 24, 6, (525-527), (2018). [Crossref¹⁰¹](#)
- Johannes Fleckenstein, Robert Schleip, Cornelia Sachs, Mark Driscoll, Susan Shockett, Thomas Findley, Werner Klingler, Faszienforschung: Quo vadis? Fascia research: Quo vadis?, *Deutsche Zeitschrift für Akupunktur*, 10.1007/s4212-018-0037-8, 61, 2, (69-74), (2018). [Crossref¹⁰²](#)
86. <https://doi.org/10.1016/j.explore.2020.09.008>
87. <https://doi.org/10.1097/MD.00000000000019594>
88. <https://doi.org/10.1016/j.wjam.2020.05.003>
89. <https://doi.org/10.1016/j.jbmt.2020.06.035>
90. <https://doi.org/10.1007/s4212-019-00228-5>
91. <https://doi.org/10.1017/S1431972620001518>
92. <https://doi.org/10.1002/14651858.CD013814>
93. <https://doi.org/10.1007/s40141-020-00302-3>
94. <https://doi.org/10.1177/2164956119831221>
95. <https://onlinelibrary.wiley.com/doi/10.1002/9781119645214>
96. <https://doi.org/10.14406/aku.2019.034>
97. <https://doi.org/10.1016/j.wjam.2019.05.008>
98. <https://doi.org/10.1016/B978-0-12-815305-5.00036-1>
99. <https://doi.org/10.1186/s13287-019-1326-6>
100. <https://doi.org/10.1016/j.imr.2019.11.005>
101. <https://doi.org/10.14406/aku.2019.021>
102. https://doi.org/10.4103/wjtc.wjtc_24_19
103. <https://doi.org/10.3389/fnins.2019.00110>
104. <https://doi.org/10.1007/s11255-019-02267-2>
105. <https://doi.org/10.3389/fimmu.2019.00519>
106. <https://doi.org/10.1080/10833196.2019.1648728>
107. <https://doi.org/10.1371/journal.pone.0226304>
108. <https://doi.org/10.1007/s11655-018-2570-9>
109. <https://doi.org/10.1016/j.jtcm.2017.08.004>
110. <https://doi.org/10.1016/j.aimed.2018.07.002>
111. <https://doi.org/10.1016/j.cvsm.2017.08.003>
112. <https://doi.org/10.1038/s41598-018-24654-y>
113. <https://doi.org/10.1186/s13063-018-2684-6>
114. <https://doi.org/10.1007/s11655-017-2791-3>
115. <https://doi.org/10.1089/acu.2017.1258>
116. <https://doi.org/10.12677/TCM.2018.71013>
117. <https://doi.org/10.1016/j.explore.2018.11.003>
118. <https://doi.org/10.3937/kampomed.69.225>
119. <https://doi.org/10.1016/j.smrv.2016.12.004>
120. <https://doi.org/10.1007/s00216-018-1146-z>
121. <https://doi.org/10.1089/acm.2018.0073>
122. <https://doi.org/10.1007/s4212-018-0037-8>

- FA Phan, A Srilestari, H Mihardja, MBH Marbun, Effects of acupuncture on uremic pruritus in patients undergoing hemodialysis, *Journal of Physics: Conference Series*, 10.1088/1742-6596/1073/6/062049, 1073, (062049), (2018). [Crossref¹²³](#)
- Kwang-Sup Soh, Sistema circulatorio de Bonghan como una extensión de los meridianos de acupuntura, *Revista Internacional de Acupuntura*, 10.1016/j.acu.2018.02.001, 12, 1, (15-28), (2018). [Crossref¹²⁴](#)
- Helene M. Langevin, Peter M. Wayne, What Is the Point? The Problem with Acupuncture Research That No One Wants to Talk About, *The Journal of Alternative and Complementary Medicine*, 10.1089/acm.2017.0366, 24, 3, (200-207), (2018). [Crossref¹²⁵](#)
- Chun-Yi Lin, Tze-Taur Wei, Chen-Chen Wang, Wan-Chen Chen, Yu-Min Wang, Song-Yen Tsai, Acute Physiological and Psychological Effects of Qigong Exercise in Older Practitioners, Evidence-Based Complementary and Alternative Medicine, 10.1155/2018/4960978, 2018, (1-10), (2018). [Crossref¹²⁶](#)
- Kanae Umemoto, Toshiyuki Saito, Munekazu Naito, Shogo Hayashi, Tomiko Yakura, Hanno Steinke, Takashi Nakano, Anatomical Relationship between BL23 and the Posterior Ramus of the L2 Spinal Nerve, *Acupuncture in Medicine*, 10.1136/acupmed-2015-010847, 34, 2, (95-100), (2018). [Crossref¹²⁷](#)
- Krista Lynne Paulson, Barbara L Shay, Sympathetic Nervous System Responses to Acupuncture and Non-Penetrating Sham Acupuncture in Experimental Forearm Pain: A Single-Blind Randomised Descriptive Study, *Acupuncture in Medicine*, 10.1136/acupmed-2012-010223, 31, 2, (178-184), (2018). [Crossref¹²⁸](#)
- Marc Amand, Florence Nguyen-Huu, Costantino Balestra, Acupuncture Effect on Thermal Tolerance and Electrical Pain Threshold: A Randomised Controlled Trial, *Acupuncture in Medicine*, 10.1136/aim.2010.002485, 29, 1, (47-50), (2018). [Crossref¹²⁹](#)
- Michele Alem, Maria Salet Costa Gurgel, Acupuncture in the Rehabilitation of Women after Breast Cancer Surgery – a Case Series, *Acupuncture in Medicine*, 10.1136/aim.26.2.86, 26, 2, (86-93), (2018). [Crossref¹³⁰](#)
- Avijgan Majid, Rouh/Qi before and after production; basic concept of life, *International Journal of Complementary & Alternative Medicine*, 10.15406/ijcam.2018.11.00363, 11, 2, (2018). [Crossref¹³¹](#)
- Tiaw-Kee Lim, Yan Ma, Frederic Berger, Gerhard Litscher, Acupuncture and Neural Mechanism in the Management of Low Back Pain—An Update, *Medicines*, 10.3390/medicines5030063, 5, 3, (63), (2018). [Crossref¹³²](#)
- Anna Esparham, Anne Herbert, Emily Pierzchalski, Catherine Tran, Jennifer Dilts, Madeline Boorigie, Tammie Wingert, Mark Connelly, Jennifer Bickel, Pediatric Headache Clinic Model: Implementation of Integrative Therapies in Practice, *Children*, 10.3390/children5060074, 5, 6, (74), (2018). [Crossref¹³³](#)
- Elizabeth R. Magden, Chapter 13 Positive Reinforcement Training and Health Care, *Handbook of Primate Behavioral Management*, 10.1201/9781315120652, (201-216), (2017). [Crossref¹³⁴](#)
- Faria Sanjana, Hans Chaudhry, Thomas Findley, Effect of MELT method on thoracolumbar connective tissue: The full study, *Journal of Bodywork and Movement Therapies*, 10.1016/j.jbmt.2016.05.010, 21, 1, (179-185), (2017). [Crossref¹³⁵](#)
- Peter T. Dorsher, Neuroembryology of the Acupuncture Principal Meridians: Part 1. The Extremities, *Medical Acupuncture*, 10.1089/acu.2016.1210, 29, 1, (10-19), (2017). [Crossref¹³⁶](#)
- Jordi Gascon-Garcia, Caridad Bagur-Calafat, Montserrat Girabent-Farrés, Ramon Baliu, Validation of the range of dry needling with the fascial winding technique in the carpal tunnel using ultrasound, *Journal of Bodywork and Movement Therapies*, 10.1016/j.jbmt.2017.10.013, (2017). [Crossref¹³⁷](#)
- Ana Paula A. Ferreira, Luciana C. Póvoa, José F.C. Zanier, Arthur S. Ferreira, Locating the Seventh Cervical Spinous Process: Accuracy of the Thorax-Rib Static Method and the Effects of Clinical Data on Its Performance, *Journal of Manipulative and Physiological Therapeutics*, 10.1016/j.jmpt.2016.10.011, 40, 2, (98-105), (2017). [Crossref¹³⁸](#)
- Arya Nielsen, Acupuncture for the Prevention of Tension-Type Headache (2016), *EXPLORE: The Journal of Science and Healing*, 10.1016/j.explore.2017.03.007, 13, 3, (228-231), (2017). [Crossref¹³⁹](#)
- Fan Wang, Guang-wei Cui, Le Kuai, Jian-min Xu, Ting-ting Zhang, Huai-jin Cheng, Hong-sheng Dong, Gui-rong Dong, Role of Acupoint Area Collagen Fibers in Anti-Inflammation of Acupuncture Lifting and Thrusting Manipulation, Evidence-Based Complementary and Alternative Medicine, 10.1155/2017/2813437, 2017, (1-8), (2017). [Crossref¹⁴⁰](#)
- Wei-Chia Chen, Hsiang-Ying Chen, Yu-Sheng Chen, Yong Tian, Lin I, Self-excited multiple skin vibrations probed by optical tracking micro-motions of tracers on arms, *Journal of Applied Physics*, 10.1063/1.4991499, 122, 2, (024701), (2017). [Crossref¹⁴¹](#)
- Fletcher Kovich, A Curious Oversight in Acupuncture Research, *Journal of Acupuncture and Meridian Studies*, 10.1016/j.jams.2017.10.004, 10, 6, (411-415), (2017). [Crossref¹⁴²](#)
- David F. Drake, Anne M. Hudak, William Robbins, Integrative Medicine in Traumatic Brain Injury, *Physical Medicine and Rehabilitation Clinics of North America*, 10.1016/j.pmr.2016.12.011, 28, 2, (363-378), (2017). [Crossref¹⁴³](#)
- Helene M. Langevin, Rosa N. Schnyer, Reconnecting the Body in Eastern and Western Medicine, *The Journal of Alternative and Complementary Medicine*, 10.1089/acm.2017.0028, 23, 4, (238-241), (2017). [Crossref¹⁴⁴](#)
- Salvador Quiroz-González, Sergio Torres-Castillo, Rosa Estela López-Gómez, Ismael Jiménez Estrada, Acupuncture Points and Their Relationship with Multireceptive Fields of Neurons, *Journal of Acupuncture and Meridian Studies*, 10.1016/j.jams.2017.01.006, 10, 2, (81-89), (2017). [Crossref¹⁴⁵](#)
- Sharon Jiyoung Jung, Haim Song, Yu Yeon Kim, Jungdae Kim, Sungchul Kim, Yoon-Kyu Song, Kwang-Sup Soh, Distribution of Mast Cells and Locations, Depths, and Sizes of the Putative Acupoints CV 8 and KI 16, Evidence-Based Complementary and Alternative Medicine, 10.1155/2017/2953278, 2017, (1-10), (2017). [Crossref¹⁴⁶](#)
- Benjamin CW. Chant, Jeanne Madison, Paul Coop, Gudrun Dieberg, Contact Tools in Japanese Acupuncture: An Ethnography of Acupuncture Practitioners in Japan, *Journal of Acupuncture and Meridian Studies*, 10.1016/j.jams.2017.08.006, 10, 5, (331-339), (2017). [Crossref¹⁴⁷](#)
- Hugh MacPherson, Andrew Vickers, Martin Bland, David Torgerson, Mark Corbett, Eldon Spackman, Pedro Saramago, Beth Woods, Helen Weatherly, Mark Sculpter, Andrea Manca, Stewart Richmond, Ann Hopton, Janet Eldred, Ian Watt, Acupuncture for chronic pain and depression in primary care: a programme of research, Programme Grants for Applied Research, 10.3310/pgfar05030, 5, 3, (1-316), (2017). [Crossref¹⁴⁸](#)
- Benjamin Kligler, Arya Nielsen, Corinne Kohrher, Tracy Schmid, Eve Waltermaurer, Eidania Perez, Woodson Merrell, Acupuncture Therapy in a Group Setting for Chronic Pain, *Pain Medicine*, 10.1093/pm/pnx134, (2017). [Crossref¹⁴⁹](#)
- Alexander Macdonald, Acupuncture Main Channels or Meridians: Visible Surfaces, *International Journal of Complementary & Alternative Medicine*, 10.15406/ijcam.2017.07.00233, 7, 4, (2017). [Crossref¹⁵⁰](#)
- Roshanak Ghods, Nasrin Sayfour, Mohammad Hossein Ayati, Anatomical Features of the Interscapular Area Where Wet Cupping Therapy Is Done and Its Possible Relation to Acupuncture Meridians, *Journal of Acupuncture and Meridian Studies*, 10.1016/j.jams.2016.06.004, 9, 6, (290-296), (2016). [Crossref¹⁵¹](#)
- Laura Quiles, Electra Peluffo, Meridianos tendinomusculares (Jing Jin) y tejido fascial, comparativa anatómica y funcional, *Revista Internacional de Acupuntura*, 10.1016/j.acu.2016.01.002, 10, 1, (20-24), (2016). [Crossref¹⁵²](#)
- Tian Tian, Yanhong Sun, Huangang Wu, Jian Pei, Jing Zhang, Yi Zhang, Lu Wang, Bin Li, Lihua Wang, Jiye Shi, Jun Hu, Chunhai Fan, Acupuncture promotes mTOR-independent autophagic clearance of aggregation-prone proteins in mouse brain, *Scientific Reports*, 10.1038/srep19714, 6, 1, (2016). [Crossref¹⁵³](#)
- Eric Leskowitz, Integrative Medicine for PTSD and TBI: Two Innovative Approaches, *Medical Acupuncture*, 10.1089/acu.2016.1168, 28, 4, (181-183), (2016). [Crossref¹⁵⁴](#)
- Sarah le Jeune, Kimberly Henneman, Kevin May, Acupuncture and Equine Rehabilitation, *Veterinary Clinics of North America: Equine Practice*, 10.1016/j.cveq.2015.12.004, 32, 1, (73-85), (2016). [Crossref¹⁵⁵](#)
- Charlotte H. Y. Lau, Xinyin Wu, Vincent C. H. Chung, Xin Liu, Edwin P. Hui, Holger Cramer, Romy Lauche, Samuel Y. S. Wong, Alexander Y. L. Lau, Regina W. S. Sit, Eric T. C. Ziea, Bacon F. L. Ng, Justin C. Y. Wu, Acupuncture and Related Therapies for Symptom Management in Palliative Cancer Care, *Medicine*, 10.1097/MD.0000000000002901, 95, 9, (e2901), (2016). [Crossref¹⁵⁶](#)
- Li Chen, Hai-Xiang Sun, You-Bing Xia, Liu-Cai Sui, Ji Zhou, Xuan Huang, Jing-Wei Zhou, Yi-Dan Shao, Tao Shen, Qin Sun, Yuan-Jiao Liang, Bing Yao, Electroacupuncture decreases the progression of ovarian hyperstimulation syndrome in a rat model, *Reproductive BioMedicine Online*, 10.1016/j.rbmo.2016.02.006, 32, 5, (538-544), (2016). [Crossref¹⁵⁷](#)
- Suzanne B. Hanser, Suzanne B. Hanser, Holistic Healing, Integrative Health through Music Therapy, 10.1057/978-1-137-38477-5, (35-54), (2016). [Crossref¹⁵⁸](#)
- Laurent Misery, Acupuncture, Pruritus, 10.1007/978-3-319-33142-3, (437-441), (2016). [Crossref¹⁵⁹](#)
- Jing-Ke Guo, Ming-Ming Xu, Mei-Feng Zheng, Shu-Tao Liu, Jian-Wu Zhou, Li-Jing Ke, Tian-Bao Chen, Ping-Fan Rao, Topical Application of TAT-Superoxide Dismutase in Acupoints LI 20 on Allergic Rhinitis, Evidence-Based Complementary and Alternative

123. <https://doi.org/10.1088/1742-6596/1073/6/062049>
 124. <https://doi.org/10.1016/j.acu.2018.02.001>
 125. <https://doi.org/10.1089/acm.2017.0366>
 126. <https://doi.org/10.1155/2018/4960978>
 127. <https://doi.org/10.1136/acupmed-2015-010847>
 128. <https://doi.org/10.1136/acupmed-2012-010223>
 129. <https://doi.org/10.1136/aim.2010.002485>
 130. <https://doi.org/10.1136/aim.26.2.86>
 131. <https://doi.org/10.15406/ijcam.2018.11.00363>
 132. <https://doi.org/10.3390/medicines5030063>
 133. <https://doi.org/10.3390/children5060074>
 134. <https://doi.org/10.1201/9781315120652>
 135. <https://doi.org/10.1016/j.jbmt.2016.05.010>
 136. <https://doi.org/10.1089/acu.2016.1210>
 137. <https://doi.org/10.1016/j.jbmt.2017.10.013>
 138. <https://doi.org/10.1016/j.jmpt.2016.10.011>
 139. <https://doi.org/10.1016/j.explore.2017.03.007>
 140. <https://doi.org/10.1155/2017/2813437>

141. <https://doi.org/10.1063/1.4991499>
 142. <https://doi.org/10.1016/j.jams.2017.10.004>
 143. <https://doi.org/10.1016/j.pmr.2016.12.011>
 144. <https://doi.org/10.1089/acm.2017.0028>
 145. <https://doi.org/10.1016/j.jams.2017.01.006>
 146. <https://doi.org/10.1155/2017/2953278>
 147. <https://doi.org/10.1016/j.jams.2017.08.006>
 148. <https://doi.org/10.3310/pgfar05030>
 149. <https://doi.org/10.1093/pm/pnx134>
 150. <https://doi.org/10.15406/ijcam.2017.07.00233>
 151. <https://doi.org/10.1016/j.jams.2016.06.004>
 152. <https://doi.org/10.1016/j.acu.2016.01.002>
 153. <https://doi.org/10.1038/srep19714>
 154. <https://doi.org/10.1089/acu.2016.1168>
 155. <https://doi.org/10.1016/j.cveq.2015.12.004>
 156. <https://doi.org/10.1097/MD.0000000000002901>
 157. <https://doi.org/10.1016/j.rbmo.2016.02.006>
 158. <https://doi.org/10.1057/978-1-137-38477-5>
 159. <https://doi.org/10.1007/978-3-319-33142-3>

- Medicine, 10.1155/2016/3830273, 2016, (1-9), (2016). [Crossref¹⁶⁰](#)
- James L. Oschman, Acupuncture, Acupressure, Shiatsu, and Related Therapies, *Energy Medicine*, 10.1016/B978-0-443-06729-7.00014-4, (221-239), (2016). [Crossref¹⁶¹](#)
- Motti Ratmansky, Adi Levy, Aviv Messinger, Alla Birg, Lilach Front, Iuly Tregler, The Effects of Acupuncture on Cerebral Blood Flow in Post-Stroke Patients: A Randomized Controlled Trial, *The Journal of Alternative and Complementary Medicine*, 10.1089/acm.2015.0066, 22, 1, (33-37), (2016). [Crossref¹⁶²](#)
- Marzio Vanzini, Michele Gallamini, Amblyopia: Can Laser Acupuncture be an Option?, *Journal of Acupuncture and Meridian Studies*, 10.1016/j.jams.2016.01.017, 9, 5, (267-274), (2016). [Crossref¹⁶³](#)
- Bo M. Rowan†, J. Bryan Dixon, Complementary Medicine Practices for Muscular Injuries of the Posterior Leg, *Muscular Injuries in the Posterior Leg*, 10.1007/978-1-4899-7651-2, (153-168), (2016). [Crossref¹⁶⁴](#)
- HyunSuk Jang, Joohwan Yoon, HyunJi Gil, Sharon Jiyoung Jung, Min-Suk Kim, Jin-Kyu Lee, Young-Jae Kim, Kwang-Sup Soh, Observation of a Flowing Duct in the Abdominal Wall by Using Nanoparticles, *PLOS ONE*, 10.1371/journal.pone.0150423, 11, 3, (e0150423), (2016). [Crossref¹⁶⁵](#)
- Richard Cha, Detecting Intrinsic Movements through Needle Tips Pinned at Zusanli ST-36 Point - a New Method for Characterizing Structures for Acupuncture Treatments, *International Journal of Complementary & Alternative Medicine*, 10.15406/ijcam.2016.03.00100, 3, 6, (2016). [Crossref¹⁶⁶](#)
- Raphael J. Hochstrasser, P. Christian Endler, Sabine D. Klein, Perception of Therapeutic Qi, a Nonmechanical, Nonpsychological Factor in Acupuncture That Originates from the Therapist, *Journal of Acupuncture and Meridian Studies*, 10.1016/j.jams.2014.11.009, 8, 4, (203-208), (2015). [Crossref¹⁶⁷](#)
- Carla Stecco, Warren Hammer, Andry Vleeming, Raffaele De Caro, Fasciae of the Upper Limb, *Functional Atlas of the Human Fascial System*, 10.1016/B978-0-7020-4430-4.00007-5, (217-287), (2015). [Crossref¹⁶⁸](#)
- Shu-Ming Wang, Acupuncture as a Treatment for Substance Abuse in Pediatric Patients, *Substance Abuse*, 10.1007/978-1-4939-1951-2, (349-357), (2015). [Crossref¹⁶⁹](#)
- Mei-Ling Wu, Dong-Sheng Xu, Wan-Zhu Bai, Jing-Jing Cui, Hong-Ming Shu, Wei He, Xiao-Yu Wang, Hong Shi, Yang-Shuai Su, Ling Hu, Bing Zhu, Xiang-Hong Jing, Local cutaneous nerve terminal and mast cell responses to manual acupuncture in acupoint L14 area of the rats, *Journal of Chemical Neuroanatomy*, 10.1016/j.jchemneu.2015.06.002, 68, (14-21), (2015). [Crossref¹⁷⁰](#)
- Mark J. McDonald, Will the Primo Vascular System Finally Solve the Mystery of Acupuncture?, *Medical Acupuncture*, 10.1089/acu.2014.1075, 27, 1, (33-37), (2015). [Crossref¹⁷¹](#)
- Wei-Bo Zhang, Guang-Jun Wang, Kjell Fuxe, Classic and Modern Meridian Studies: A Review of Low Hydraulic Resistance Channels along Meridians and Their Relevance for Therapeutic Effects in Traditional Chinese Medicine, *Evidence-Based Complementary and Alternative Medicine*, 10.1155/2015/410979, 2015, (1-14), (2015). [Crossref¹⁷²](#)
- Xiaqiu Wu, Jin Peng, Guoqin Li, Wei Zhang, Guangxia Liu, Baoyan Liu, Efficacy evaluation of summer acupoint application treatment on asthma patients: a two-year follow-up clinical study, *Journal of Traditional Chinese Medicine*, 10.1016/S0254-6272(15)30004-2, 35, 1, (21-27), (2015). [Crossref¹⁷³](#)
- Won-Mo Jung, Taehyung Lee, In-Seon Lee, Sanghyun Kim, Hyunchul Jang, Song-Yi Kim, Hi-Joon Park, Younbyoung Chae, Spatial Patterns of the Indications of Acupoints Using Data Mining in Classic Medical Text: A Possible Visualization of the Meridian System, *Evidence-Based Complementary and Alternative Medicine*, 10.1155/2015/457071, 2015, (1-7), (2015). [Crossref¹⁷⁴](#)
- Kwang-Sup Soh, Hypothesis on the Treatment of Gliomas with Acupuncture at the Primo Node Corresponding to Zusanli (ST 36), *Medical Acupuncture*, 10.1089/acu.2014.1089, 27, 3, (144-150), (2015). [Crossref¹⁷⁵](#)
- Marco Gemma, Elisa Nicelli, Luigi Gioia, Elena Moizo, Luigi Beretta, Maria Rosa Calvi, Acupuncture accelerates recovery after general anesthesia: a prospective randomized controlled trial, *Journal of Integrative Medicine*, 10.1016/S2095-4964(15)60159-5, 13, 2, (99-104), (2015). [Crossref¹⁷⁶](#)
- Michele Gallamini, Giovanni D'Angelo, Gabriele Belloni, Biolite: A Patented Ultra-Low-Level Laser-Therapy Device for Treating Musculoskeletal Pain and Associated Impairments, *Journal of Acupuncture and Meridian Studies*, 10.1016/j.jams.2015.02.001, 8, 4, (167-174), (2015). [Crossref¹⁷⁷](#)
- Poney Chiang, What is the Point of Acupuncture?, *Medical Acupuncture*, 10.1089/acu.2015.1093, 27, 2, (67-80), (2015). [Crossref¹⁷⁸](#)
- Richard F. Hobbs, Acupuncture—Biophysics or Metaphysics?, *Medical Acupuncture*, 10.1089/acu.2015.1097, 27, 2, (62-66), (2015). [Crossref¹⁷⁹](#)
- Ali Khorsand, Jiang Zhu, Hamidreza Bahrami-Taghanaki, Sara Baghani, Liangxiao Ma, Shima Rezaei, Investigation of the electrical impedance of acupuncture points and non-acupuncture points before and after acupuncture, using a four-electrode device, *Acupuncture in Medicine*, 10.1136/acupmed-2014-010697, 33, 3, (230-236), (2015). [Crossref¹⁸⁰](#)
- Fang Li, Tian He, Qian Xu, Li - Ting Lin, Hui Li, Yan Liu, Guang - Xia Shi, Cun - Zhi Liu, What is the Acupoint? A preliminary review of Acupoints, *Pain Medicine*, 10.1111/pme.12761, 16, 10, (1905-1915), (2015). [Wiley Online Library¹⁸¹](#)
- Song-Yi Kim, Sang-Woo Kim, Hi-Joon Park, Different Responses to Acupuncture in Electroencephalogram according to Stress Level: A Randomized, Placebo-Controlled, Cross-Over Trial, *Korean Journal of Acupuncture*, 10.14406/acu.2014.022, 31, 3, (136-145), (2014). [Crossref¹⁸²](#)
- Heming Zhu, Acupoints Initiate the Healing Process, *Medical Acupuncture*, 10.1089/acu.2014.1057, 26, 5, (264-270), (2014). [Crossref¹⁸³](#)
- G. Ding, Z. Wu, D. Zhang, Z. Sa, K. Cheng, Biophysical Bases of Acupuncture, *Comprehensive Biomedical Physics*, 10.1016/B978-0-444-53632-7.01018-2, (299-316), (2014). [Crossref¹⁸⁴](#)
- Yuan-yuan Lin, Yin-ping Wang, Hao-yang Lu, Xiu-cai Guo, Xia Liu, Chuan-bin Wu, Yue-hong Xu, Plasma pharmacokinetics and lung distribution of tetrahydropalmatine after topical application of cold asthma recipe extract: Feishu (BL 13) versus Non-Feishu acupoint, *Journal of Ethnopharmacology*, 10.1016/j.jep.2014.03.009, 153, 2, (454-460), (2014). [Crossref¹⁸⁵](#)
- Yiu Ming Wong, Electrical Property of Acupoints, *The Journal of Alternative and Complementary Medicine*, 10.1089/acm.2013.0169, 20, 2, (145-146), (2014). [Crossref¹⁸⁶](#)
- Nadia Elisabeth Haddad, Oxana Palesh, Acupuncture in the Treatment of Cancer-Related Psychological Symptoms, *Integrative Cancer Therapies*, 10.1177/1534735413520181, 13, 5, (371-385), (2014). [Crossref¹⁸⁷](#)
- Soo-Byeong Kim, Kyung-Yul Chung, Mi-Seon Jeon, Tae-Min Shin, Yong-Heum Lee, Body Composition Factor Comparisons of the Intracellular Fluid (ICW), Extracellular Fluid (ECW) and Cell Membrane at Acupuncture Points and Non-Acupuncture Points by Inducing Multiple Ionic Changes, *Korean Journal of Acupuncture*, 10.14406/acu.2014.005, 31, 2, (66-78), (2014). [Crossref¹⁸⁸](#)
- Martha Liliiana Beltrán Molano, Laura Bibiana Pinilla Bonilla, Eduardo Humberto Beltrán Dussan, Carlos Alberto Vásquez Londoño, Anatomic-Functional Correlation between Head Zones and Acupuncture Channels and Points: A Comparative Analysis from the Perspective of Neural Therapy, *Evidence-Based Complementary and Alternative Medicine*, 10.1155/2014/836392, 2014, (1-12), (2014). [Crossref¹⁸⁹](#)
- Evan H. Kwong, Thomas W. Findley, Fascia—Current knowledge and future directions in psychiatry: Narrative review, *Journal of Rehabilitation Research and Development*, 10.1682/JRRD.2013.10.0220, 51, 6, (875-884), (2014). [Crossref¹⁹⁰](#)
- Kwokming James Cheng, Neurobiological Mechanisms of Acupuncture for Some Common Illnesses: A Clinician's Perspective, *Journal of Acupuncture and Meridian Studies*, 10.1016/j.jams.2013.07.008, 7, 3, (105-114), (2014). [Crossref¹⁹¹](#)
- Jing-Wen Yang, Qian-Qian Li, Fang Li, Qing-Nan Fu, Xiang-Hong Zeng, Cun-Zhi Liu, The Holistic Effects of Acupuncture Treatment, *Evidence-Based Complementary and Alternative Medicine*, 10.1155/2014/739708, 2014, (1-10), (2014). [Crossref¹⁹²](#)
- Shu-Yih Wu, Wei-Hsin Chen, Ching-Liang Hsieh, Yi-Wen Lin, Abundant expression and functional participation of TRPV1 at Zusanli acupoint (ST36) in mice: mechanosensitive TRPV1 as an “acupuncture-responding channel”, *BMC Complementary and Alternative Medicine*, 10.1186/1472-6882-14-96, 14, 1, (2014). [Crossref¹⁹³](#)
- Morry Silberstein, Is acupuncture “stimulation” a misnomer? A case for using the term “blockade”, *BMC Complementary and Alternative Medicine*, 10.1186/1472-6882-13-68, 13, 1, (2013). [Crossref¹⁹⁴](#)
- In-Seon Lee, Soon-Ho Lee, Song-Yi Kim, Hyejung Lee, Hi-Joon Park, Younbyoung Chae, Visualization of the Meridian System Based on Biomedical Information about Acupuncture Treatment, *Evidence-Based Complementary and Alternative Medicine*, 10.1155/2013/872142, 2013, (1-5), (2013). [Crossref¹⁹⁵](#)
- Helene M. Langevin, Part 1, Trigger Point Dry Needling, 10.1016/B978-0-7020-4601-8.10008-8, (29-33), (2013). [Crossref¹⁹⁶](#)
- Byung-Cheon Lee, Walter J. Akers, Xianghong Jing, M. Isabel Miguel Perez, Yeonhee Ryu, Primo Vascular System: Past, Present, and Future, *Evidence-Based Complementary and Alternative Medicine*, 10.1155/2013/240168, 2013, (1-2), (2013). [Crossref¹⁹⁷](#)
179. <https://doi.org/10.1089/acu.2015.1097>
180. <https://doi.org/10.1136/acupmed-2014-010697>
181. <https://onlinelibrary.wiley.com/doi/10.1111/pme.12761>
182. <https://doi.org/10.14406/acu.2014.022>
183. <https://doi.org/10.1089/acu.2014.1057>
184. <https://doi.org/10.1016/B978-0-444-53632-7.01018-2>
185. <https://doi.org/10.1016/j.jep.2014.03.009>
186. <https://doi.org/10.1089/acm.2013.0169>
187. <https://doi.org/10.1177/1534735413520181>
188. <https://doi.org/10.14406/acu.2014.005>
189. <https://doi.org/10.1155/2014/836392>
190. <https://doi.org/10.1682/JRRD.2013.10.0220>
191. <https://doi.org/10.1016/j.jams.2013.07.008>
192. <https://doi.org/10.1155/2014/739708>
193. <https://doi.org/10.1186/1472-6882-14-96>
194. <https://doi.org/10.1186/1472-6882-13-68>
195. <https://doi.org/10.1155/2013/872142>
196. <https://doi.org/10.1016/B978-0-7020-4601-8.10008-8>
197. <https://doi.org/10.1155/2013/240168>
160. <https://doi.org/10.1155/2016/3830273>
161. <https://doi.org/10.1016/B978-0-443-06729-7.00014-4>
162. <https://doi.org/10.1089/acm.2015.0066>
163. <https://doi.org/10.1016/j.jams.2016.01.017>
164. <https://doi.org/10.1007/978-1-4899-7651-2>
165. <https://doi.org/10.1371/journal.pone.0150423>
166. <https://doi.org/10.15406/ijcam.2016.03.00100>
167. <https://doi.org/10.1016/j.jams.2014.11.009>
168. <https://doi.org/10.1016/B978-0-7020-4430-4.00007-5>
169. <https://doi.org/10.1007/978-1-4939-1951-2>
170. <https://doi.org/10.1016/j.jchemneu.2015.06.002>
171. <https://doi.org/10.1089/acu.2014.1075>
172. <https://doi.org/10.1155/2015/410979>
173. [https://doi.org/10.1016/S0254-6272\(15\)30004-2](https://doi.org/10.1016/S0254-6272(15)30004-2)
174. <https://doi.org/10.1155/2015/457071>
175. <https://doi.org/10.1089/acu.2014.1089>
176. [https://doi.org/10.1016/S2095-4964\(15\)60159-5](https://doi.org/10.1016/S2095-4964(15)60159-5)
177. <https://doi.org/10.1016/j.jams.2015.02.001>
178. <https://doi.org/10.1089/acu.2015.1093>

- Andrew Bannan, Acupuncture in physiotherapy, Tidy's Physiotherapy, 10.1016/B978-0-7020-4344-4.00018-3, (403-415), (2013). [Crossref¹⁹⁸](#)
- Im Quah-Smith, Caroline Smith, John D. Crawford, Janice Russell, Laser acupuncture for depression: A randomised double blind controlled trial using low intensity laser intervention, *Journal of Affective Disorders*, 10.1016/j.jad.2012.11.058, 148, 2-3, (179-187), (2013). [Crossref¹⁹⁹](#)
- C. Will Chen, Chen-Jei Tai, Cheuk-Sing Choy, Chau-Yun Hsu, Shoei-Loong Lin, Wing P. Chan, Han-Sun Chiang, Chang-An Chen, Ting-Kai Leung, Wave-Induced Flow in Meridians Demonstrated Using Photoluminescent Bioceramic Material on Acupuncture Points, *Evidence-Based Complementary and Alternative Medicine*, 10.1155/2013/739293, 2013, (1-11), (2013). [Crossref²⁰⁰](#)
- Raphael J. Hochstrasser, P. Christian Endler, Sabine D. Klein, Introduction of two novel devices for investigating the influence of non-mechanical components such as therapeutic qi in acupuncture, *Journal of Integrative Medicine*, 10.3736/jintegmed2013030, 11, 3, (168-174), (2013). [Crossref²⁰¹](#)
- W. Evan Rivers, Felise Zollman, Reliability of Surface Acupuncture Point Location, *Medical Acupuncture*, 10.1089/acu.2012.0929, 25, 2, (134-140), (2013). [Crossref²⁰²](#)
- Stefano Marcelli, Gross Anatomy and Acupuncture: A Comparative Approach to Reappraise the Meridian System, *Medical Acupuncture*, 10.1089/acu.2012.0875, 25, 1, (5-22), (2013). [Crossref²⁰³](#)
- Jaung-Geng Lin, Pei-Chi Chou, Heng-Yi Chu, An Exploration of the Needling Depth in Acupuncture: The Safe Needling Depth and the Needling Depth of Clinical Efficacy, *Evidence-Based Complementary and Alternative Medicine*, 10.1155/2013/740508, 2013, (1-21), (2013). [Crossref²⁰⁴](#)
- DARCY A. UMPHRED, CAROL M. DAVIS, MARY LOU GALANTINO, Complementary and alternative therapies: beyond traditional approaches to intervention in neurological diseases and movement disorders, *Neurological Rehabilitation*, 10.1016/B978-0-323-07586-2.00048-0, (1173-1214), (2013). [Crossref²⁰⁵](#)
- Alessandra de Almeida Fagundes, Mariana César Ribeiro Reis, Maira Salles, Maria Graças Bastos Licurci, Immediate Effects of Acupuncture for Managing Myofascial Trigger-Point Pain: A Pilot Study, *Medical Acupuncture*, 10.1089/acu.2012.0902, 25, 1, (55-60), (2013). [Crossref²⁰⁶](#)
- Yi Zhuang, Jing-jing Xing, Juan Li, Bai-Yun Zeng, Fan-rong Liang, History of Acupuncture Research, *Neurobiology of Acupuncture*, 10.1016/B978-0-12-411545-3.00001-8, (1-23), (2013). [Crossref²⁰⁷](#)
- Arya Nielsen, Ted J. Kaptchuk, Sha syndrome and Gua sha, cao gio, coining, scraping, Gua Sha, 10.1016/B978-0-7020-3108-3.00005-4, (39-44), (2013). [Crossref²⁰⁸](#)
- Arya Nielsen, Ted J. Kaptchuk, Physiology of Gua sha, Gua Sha, 10.1016/B978-0-7020-3108-3.00003-0, (21-30), (2013). [Crossref²⁰⁹](#)
- Shirley P.C. Ngai, Alice Y.M. Jones, Changes in Skin Impedance and Heart Rate Variability with Application of Acu-TENS to BL 13 (Feishu) , *The Journal of Alternative and Complementary Medicine*, 10.1089/acm.2012.0097, 19, 6, (558-563), (2013). [Crossref²¹⁰](#)
- Isabelle Nègre, Méthodes non médicamenteuses : compréhension actuelle des mécanismes d'action, Douleurs : Evaluation - Diagnostic - Traitement, 10.1016/j.douleur.2013.01.007, 14, 3, (111-118), (2013). [Crossref²¹¹](#)
- Guanghong Ding, Di Zhang, Meng Huang, Lina Wang, Wei Yao, Function of Collagen and Mast Cells in Acupuncture Points, *Current Research in Acupuncture*, 10.1007/978-1-4614-3357-6, (53-87), (2013). [Crossref²¹²](#)
- Sung - Ho Lee, Geon - Ho Jahng, Il - Hwan Choe, Chi - Bong Choi, Dae - Hyun Kim, Hwi - Yool Kim, Neural Pathway Interference by Retained Acupuncture: A Functional MRI Study of a Dog Model of Parkinson's Disease, *CNS Neuroscience & Therapeutics*, 10.1111/cns.12108, 19, 8, (585-595), (2013). [Wiley Online Library²¹³](#)
- Hee Young Kim, Sung Tae Koo, Jae Hyo Kim, Kyungeh An, Kyungsoon Chung, Jin Mo Chung, Electroacupuncture analgesia in rat ankle sprain pain model: neural mechanisms, *Neurological Research*, 10.1179/016164109X12537002793689, 32, suppl, (10-17), (2013). [Crossref²¹⁴](#)
- ChangShik Yin, ByungKwan Seo, Hi-Joon Park, Miran Cho, WooSang Jung, Ryowon Choue, ChangHwan Kim, Hun-Kuk Park, Hyejung Lee, HyeongGyun Koh, Acupuncture, a promising adjunctive therapy for essential hypertension: a double-blind, randomized, controlled trial, *Neurological Research*, 10.1179/016164107X172220, 29, suppl, (98-103), (2013). [Crossref²¹⁵](#)
- Gary Deng, Barrie Cassileth, Complementary or alternative medicine in cancer care—myths and realities, *Nature Reviews Clinical Oncology*, 10.1038/nrclinonc.2013.125, 10, 11, (656-664), (2013). [Crossref²¹⁶](#)
- James L. Oschman, Fascia as a body-wide communication system, *Fascia: The Tensional Network of the Human Body*, 10.1016/B978-0-7020-3425-1.00049-0, (103-110), (2012). [Crossref²¹⁷](#)
- David Feinstein, Acupoint Stimulation in Treating Psychological Disorders: Evidence of Efficacy, *Review of General Psychology*, 10.1037/a0028602, 16, 4, (364-380), (2012). [Crossref²¹⁸](#)
- Jun J. Mao, Malini M. Khanna, Integrating Acupuncture with Western Medicine in Cancer Treatment, *Acupuncture and Moxibustion as an Evidence-based Therapy for Cancer*, 10.1007/978-94-007-4833-0_14, (313-328), (2012). [Crossref²¹⁹](#)
- Alex Benham, Mark I. Johnson, Characterization of Painful and Non-painful Acupuncture Needle Sensations During Bidirectional Rotation of a Single Needle Inserted 15–25 mm at Large Intestine 10, *Medical Acupuncture*, 10.1089/acu.2011.0861, 24, 3, (172-180), (2012). [Crossref²²⁰](#)
- Li-Ling Lin, Ya-Hui Wang, Chi-Yu Lai, Chan-Lao Chau, Guan-Chin Su, Chun-Yi Yang, Shu-Ying Lou, Szu-Kai Chen, Kuan-Hao Hsu, Yen-Ling Lai, Wei-Ming Wu, Jian-Long Huang, Chih-Hsin Liao, Hsueh-Fen Juan, Systems Biology of Meridians, Acupoints, and Chinese Herbs in Disease, *Evidence-Based Complementary and Alternative Medicine*, 10.1155/2012/372670, 2012, (1-13), (2012). [Crossref²²¹](#)
- Arya Nielsen, Gua sha, Fascia: The Tensional Network of the Human Body, 10.1016/B978-0-7020-3425-1.00009-X, (359-365), (2012). [Crossref²²²](#)
- Hugh MacPherson, Richard Hammerschlag, Acupuncture and the Emerging Evidence Base: Contrived Controversy and Rational Debate, *Journal of Acupuncture and Meridian Studies*, 10.1016/j.jams.2012.05.001, 5, 4, (141-147), (2012). [Crossref²²³](#)
- Yejin Ha, Misun Kim, Jiseon Nah, Minah Suh, Youngmi Lee, Measurements of Location-Dependent Nitric Oxide Levels on Skin Surface in relation to Acupuncture Point, *Evidence-Based Complementary and Alternative Medicine*, 10.1155/2012/781460, 2012, (1-7), (2012). [Crossref²²⁴](#)
- Elisabeth Hsu, "Feeling lighter": Why the patient's treatment evaluation matters to the health scientist, *Integrative Medicine Research*, 10.1016/j.imr.2012.10.003, 1, 1, (5-12), (2012). [Crossref²²⁵](#)
- Petra I. Bäuml, Michael Simang, Sybille Kramer, Dominik Irnich, Acupuncture Point Localization Varies Among Acupuncturists, *Forschende Komplementärmedizin / Research in Complementary Medicine*, 10.1159/000335825, 19, 1, (31-37), (2012). [Crossref²²⁶](#)
- Belinda Anderson, Arya Nielsen, Diane McKee, Anne Jeffers, Ben Kligler, Acupuncture and Heart Rate Variability: A Systems Level Approach to Understanding Mechanism, *EXPLORE: The Journal of Science and Healing*, 10.1016/j.explore.2011.12.002, 8, 2, (99-106), (2012). [Crossref²²⁷](#)
- Xiaoyu Wang, Hong Shi, Hongyan Shang, Yangshuai Su, Juanjuan Xin, Wei He, Xianghong Jing, Bing Zhu, Are Primo Vessels (PVs) on the Surface of Gastrointestine Involved in Regulation of Gastric Motility Induced by Stimulating Acupoints ST36 or CV12?, *Evidence-Based Complementary and Alternative Medicine*, 10.1155/2012/787683, 2012, (1-8), (2012). [Crossref²²⁸](#)
- Dominik Irnich, Johannes Fleckenstein, Acupuncture as a fascia-oriented therapy, *Fascia: The Tensional Network of the Human Body*, 10.1016/B978-0-7020-3425-1.00010-6, (349-357), (2012). [Crossref²²⁹](#)
- Byung-Cheon Lee, Zhendong Su, Baekkyoung Sung, Ki Woo Kim, Jin-Myung Cha, Jin-Kyu Lee, Byeong-Joon Chang, Kwang-Sup Soh, Network of the Primo Vascular System in the Rat Hypodermis, *The Primo Vascular System*, 10.1007/978-1-4614-0601-3, (139-146), (2012). [Crossref²³⁰](#)
- Kyoungee Bae, Zhendong Su, Kwang-Sup Soh, Hee Min Kwon, Histological Comparison of Primo Nodes in Abdominal Membrane and Lymph Nodes of Rat, *The Primo Vascular System*, 10.1007/978-1-4614-0601-3, (127-131), (2012). [Crossref²³¹](#)
- Yu Bai, Lin Yuan, Yong Huang, Chun-lei Wang, Jun Wang, Jin-peng Wu, Jing-xing Dai, Dong-fei Li, Chun Yang, Mei-chun Yu, Hui-ying Yang, Hui Tao, Ou Sha, David Tai Wai Yew, From the Anatomical Discovery of Meridians and Collaterals to Fasciology Theory, *The Primo Vascular System*, 10.1007/978-1-4614-0601-3, (305-318), (2012). [Crossref²³²](#)
- Wei Yao, Yabei Li, Guanghong Ding, Interstitial Fluid Flow: The Mechanical Environment of Cells and Foundation of Meridians, *Evidence-Based Complementary and Alternative Medicine*, 10.1155/2012/853516, 2012, (1-9), (2012). [Crossref²³³](#)
- Jungdae Kim, Dae-In Kang, Kwang-Sup Soh, Sungho Kim, Analysis on Postmortem Tissues at Acupuncture Points in the Image Datasets of Visible Human Project, *The Journal of Alternative and Complementary Medicine*, 10.1089/acm.2010.0850, 18, 2, (120-129), (2012). [Crossref²³⁴](#)
198. <https://doi.org/10.1016/B978-0-7020-4344-4.00018-3>
199. <https://doi.org/10.1016/j.jad.2012.11.058>
200. <https://doi.org/10.1155/2013/739293>
201. <https://doi.org/10.3736/jintegmed2013030>
202. <https://doi.org/10.1089/acu.2012.0929>
203. <https://doi.org/10.1089/acu.2012.0875>
204. <https://doi.org/10.1155/2013/740508>
205. <https://doi.org/10.1016/B978-0-323-07586-2.00048-0>
206. <https://doi.org/10.1089/acu.2012.0902>
207. <https://doi.org/10.1016/B978-0-12-411545-3.00001-8>
208. <https://doi.org/10.1016/B978-0-7020-3108-3.00005-4>
209. <https://doi.org/10.1016/B978-0-7020-3108-3.00003-0>
210. <https://doi.org/10.1089/acm.2012.0097>
211. <https://doi.org/10.1016/j.douleur.2013.01.007>
212. <https://doi.org/10.1007/978-1-4614-3357-6>
213. <https://onlinelibrary.wiley.com/doi/10.1111/cns.12108>
214. <https://doi.org/10.1179/016164109X12537002793689>
215. <https://doi.org/10.1179/016164107X172220>
216. <https://doi.org/10.1038/nrclinonc.2013.125>
217. <https://doi.org/10.1016/B978-0-7020-3425-1.00049-0>
218. <https://doi.org/10.1037/a0028602>
219. https://doi.org/10.1007/978-94-007-4833-0_14
220. <https://doi.org/10.1089/acu.2011.0861>
221. <https://doi.org/10.1155/2012/372670>
222. <https://doi.org/10.1016/B978-0-7020-3425-1.00009-X>
223. <https://doi.org/10.1016/j.jams.2012.05.001>
224. <https://doi.org/10.1155/2012/781460>
225. <https://doi.org/10.1016/j.imr.2012.10.003>
226. <https://doi.org/10.1159/000335825>
227. <https://doi.org/10.1016/j.explore.2011.12.002>
228. <https://doi.org/10.1155/2012/787683>
229. <https://doi.org/10.1016/B978-0-7020-3425-1.00010-6>
230. <https://doi.org/10.1007/978-1-4614-0601-3>
231. <https://doi.org/10.1007/978-1-4614-0601-3>
232. <https://doi.org/10.1007/978-1-4614-0601-3>
233. <https://doi.org/10.1155/2012/853516>
234. <https://doi.org/10.1089/acm.2010.0850>

- Marcelo L. Silva, Josie RT Silva, Wiliam A Prado, The antinociceptive effect of electroacupuncture at different depths of acupoints and under the needling surface, *Chinese Medicine*, 10.1186/1749-8546-7-3, 7, 1, (2012). [Crossref²³⁵](#)
- Hong-Qin Yang, Shu-Sen Xie, Song-Hao Liu, Hui Li, Zhou-Yi Guo, Differences in Optical Transport Properties between Human Meridian and Non-meridian, *The American Journal of Chinese Medicine*, 10.1142/S0192415X07005235, 35, 05, (743-752), (2012). [Crossref²³⁶](#)
- Kaung-Ti Yung, A Birdcage Model for the Chinese Meridian System Part VI: Meridians as the Primary Regulatory System, *The American Journal of Chinese Medicine*, 10.1142/S0192415X05003302, 33, 05, (759-766), (2012). [Crossref²³⁷](#)
- Letter to the Editor, *The American Journal of Chinese Medicine*, 10.1142/S0192415X05003119, 33, 03, (513-515), (2012). [Crossref²³⁸](#)
- A. Paraskeva, A. Melemini, G. Petropoulos, I. Sifaka, A. Fassoulaki, Needling of the Extra 1 Point Decreases BIS Values and Preoperative Anxiety, *The American Journal of Chinese Medicine*, 10.1142/S0192415X04002363, 32, 05, (789-794), (2012). [Crossref²³⁹](#)
- Francisco Abad-Alegria, Carlos Pomarón, About the Neurobiological Foundations of the De-Qi — Stimulus-Response Relation, *The American Journal of Chinese Medicine*, 10.1142/S0192415X04002375, 32, 05, (807-814), (2012). [Crossref²⁴⁰](#)
- Jesse Li-Ling, Human Phenome Based on Traditional Chinese Medicine — A Solution to Congenital Syndromology, *The American Journal of Chinese Medicine*, 10.1142/S0192415X03001594, 31, 06, (991-1000), (2012). [Crossref²⁴¹](#)
- Lisa S. Lancaster, Robert M. Bowker, Acupuncture Points of the Horse's Distal Thoracic Limb: A Neuroanatomic Approach to the Transposition of Traditional Points, *Animals*, 10.3390/ani2030455, 2, 4, (455-471), (2012). [Crossref²⁴²](#)
- Houju Fu, Yuanqiao He, Ying Gao, Yicun Man, Wukun Liu, Hua Hao, Acupuncture on the Endometrial Morphology, the Serum Estradiol and Progesterone Levels, and the Expression of Endometrial Leukaemia-inhibitor Factor and Osteopontin in Rats, *Evidence-Based Complementary and Alternative Medicine*, 10.1155/2011/606514, 2011, (1-9), (2011). [Crossref²⁴³](#)
- Steven Finando, Donna Finando, Fascia and the mechanism of acupuncture, *Journal of Bodywork and Movement Therapies*, 10.1016/j.jbmt.2010.03.001, 15, 2, (168-176), (2011). [Crossref²⁴⁴](#)
- Hyung-Joo Moon, Yong-Keun Lee, The Relationship Between Dental Occlusion/Temporomandibular Joint Status and General Body Health: Part 2. Fascial Connection of TMJ with Other Parts of the Body, *The Journal of Alternative and Complementary Medicine*, 10.1089/acm.2010.0740, 17, 12, (1119-1124), (2011). [Crossref²⁴⁵](#)
- Yu Bai, Jun Wang, Jin-peng Wu, Jing-xing Dai, Ou Sha, David Tai Wai Yew, Lin Yuan, Qi-ni Liang, Review of Evidence Suggesting That the Fascia Network Could Be the Anatomical Basis for Acupoints and Meridians in the Human Body, *Evidence-Based Complementary and Alternative Medicine*, 10.1155/2011/260510, 2011, (1-6), (2011). [Crossref²⁴⁶](#)
- James L. Oschman, Foreword and Special Contribution: The Living Matrix, *Energy Medicine East and West*, 10.1016/B978-0-7020-3571-5.00032-9, (x-xix), (2011). [Crossref²⁴⁷](#)
- Therapie myofaszialer Schmerzsyndrome, *Myofasziale Schmerzen und Triggerpunkte*, 10.1016/B978-3-437-23095-0.10004-5, (51-91), (2011). [Crossref²⁴⁸](#)
- Xiangeng Zhang, Hui Zhang, Xiaoli Liang, Qin Liu, Miqu Wang, Gynecology and Gynecological Nursing Theories and Practices in Traditional Chinese Medicine: Review on the Ancient Literatures, *Chinese Medicine*, 10.4236/cm.2011.23014, 02, 03, (77-83), (2011). [Crossref²⁴⁹](#)
- Pei-Chi Chou, Heng-Yi Chu, Jaung-Geng Lin, Safe Needling Depth of Acupuncture Points, *The Journal of Alternative and Complementary Medicine*, 10.1089/acm.2010.0192, 17, 3, (199-206), (2011). [Crossref²⁵⁰](#)
- References and further reading, *Energy Medicine East and West*, 10.1016/B978-0-7020-3571-5.00037-8, (339-382), (2011). [Crossref²⁵¹](#)
- Dongming Zhang, Xiaohui Yan, Xinyi Zhang, Chenglin Liu, Ruishan Dang, Tiqiao Xiao, Peiping Zhu, Synchrotron radiation phase-contrast X-ray CT imaging of acupuncture points, *Analytical and Bioanalytical Chemistry*, 10.1007/s00216-011-4913-7, 401, 3, (803-808), (2011). [Crossref²⁵²](#)
- Stéphane J - P. Egot - Lemaire, Marvin C. Ziskin, Dielectric properties of human skin at an acupuncture point in the 50–75 GHz frequency range: A pilot study, *Bioelectromagnetics*, 10.1002/bem.20650, 32, 5, (360-366), (2011). [Wiley Online Library²⁵³](#)
- Chi Eung Danform Lim, Felix Wu Shun Wong, Warren Smith, Factors influencing the bio-impedance data in tissue segments along the three arm meridians: a pilot study, *TANG [HUMANITAS MEDICINE]*, 10.5667/tang.2011.0004, 1, 1, (7.1-7.9), (2011). [Crossref²⁵⁴](#)
- Luigi Baratto, Laura Calzà, Roberto Capra, Michele Gallamini, Luciana Giardino, Alessandro Giuliani, Luca Lorenzini, Silvano Traverso, Ultra-low-level laser therapy, *Lasers in Medical Science*, 10.1007/s10103-010-0837-2, 26, 1, (103-112), (2010). [Crossref²⁵⁵](#)
- Yavuz Beyazit, Murat Kekilli, Fatma Beyazit, Sticking the pieces together: A unifying hypothesis for the acupuncture meridian pathways and extracellular signalling, *Medical Hypotheses*, 10.1016/j.mehy.2010.01.022, 74, 6, (1088), (2010). [Crossref²⁵⁶](#)
- Hugh Gemmell, Peter Miller, Relative effectiveness and adverse effects of cervical manipulation, mobilisation and the activator instrument in patients with sub-acute non-specific neck pain: results from a stopped randomised trial, *Chiropractic & Osteopathy*, 10.1186/1746-1340-18-20, 18, 1, (2010). [Crossref²⁵⁷](#)
- Peter T. Dorsher, Clinical Equivalence of Laser Needle to Metal Acupuncture Needle in Treating Musculoskeletal Pain: A Pilot Study, *Medical Acupuncture*, 10.1089/acu.2009.0724, 22, 1, (11-17), (2010). [Crossref²⁵⁸](#)
- Marco Antonio Helio da Silva, A Neurosegmental Perspective of the Classical Back Shu Points, *Medical Acupuncture*, 10.1089/acu.2010.0762, 22, 4, (257-264), (2010). [Crossref²⁵⁹](#)
- Laurent Misery, Laurence Potin-Richard, Itch and Acupuncture, *Pruritus*, 10.1007/978-1-84882-322-8, (335-338), (2010). [Crossref²⁶⁰](#)
- Guang Ying Huang, Cui Hong Zheng, Yun Xia Wu, Wei Wang, Involvement of connexin 43 in the acupuncture effect of improving rat blastocyst implantation, *Fertility and Sterility*, 10.1016/j.fertnstert.2009.09.036, 93, 5, (1715-1717), (2010). [Crossref²⁶¹](#)
- Felix Wu Shun Wong, Chi Eung Danform Lim, Warren Smith, A New Bioimpedance Research Device (BIRD) for Measuring the Electrical Impedance of Acupuncture Meridians, *The Journal of Alternative and Complementary Medicine*, 10.1089/acm.2009.0218, 16, 3, (257-264), (2010). [Crossref²⁶²](#)
- Jennifer A. M. Stone, Peter A. S. Johnstone, Mechanisms of Action for Acupuncture in the Oncology Setting, *Current Treatment Options in Oncology*, 10.1007/s11864-010-0128-y, 11, 3-4, (118-127), (2010). [Crossref²⁶³](#)
- Yu Bai, Lin Yuan, Kwang-Sup Soh, Byung-Cheon Lee, Yong Huang, Chun-lei Wang, Jun Wang, Jin-peng Wu, Jing-xing Dai, Janos Palhalmi, Ou Sha, David Tai Wai Yew, Possible Applications for Fascial Anatomy and Fasciology in Traditional Chinese Medicine, *Journal of Acupuncture and Meridian Studies*, 10.1016/S2005-2901(10)60023-4, 3, 2, (125-132), (2010). [Crossref²⁶⁴](#)
- Peter T. Dorsher, The Languages of Healing: Linked by a Common Thread, *The Journal of Alternative and Complementary Medicine*, 10.1089/acm.2009.0527, 16, 8, (907-913), (2010). [Crossref²⁶⁵](#)
- Fei Zhou, Dengkai Huang YingXia, Neuroanatomic Basis of Acupuncture Points, *Acupuncture Therapy for Neurological Diseases*, 10.1007/978-3-642-10857-0, (32-80), (2010). [Crossref²⁶⁶](#)
- Roeland van Wijk, Jan van der Greef, Eduard van Wijk, Human Ultraweak Photon Emission and the Yin Yang Concept of Chinese Medicine, *Journal of Acupuncture and Meridian Studies*, 10.1016/S2005-2901(10)60041-6, 3, 4, (221-231), (2010). [Crossref²⁶⁷](#)
- Pierre Boutouyrie, Robert Corvisier, Kim-Than Ong, Claire Vulser, Catherine Lassalle, Michel Azizi, Brigitte Laloux, Stéphane Laurent, Acute and chronic effects of acupuncture on radial artery: A randomized double blind study in migraine, *Artery Research*, 10.1016/j.artres.2009.12.003, 4, 1, (7-14), (2010). [Crossref²⁶⁸](#)
- Jun J. Mao, Rahul Kapur, Acupuncture in Primary Care, *Primary Care: Clinics in Office Practice*, 10.1016/j.pop.2009.09.010, 37, 1, (105-117), (2010). [Crossref²⁶⁹](#)
- Andrew C. Ahn, Min Park, Jessica R. Shaw, Claire A. McManus, Ted J. Kaptchuk, Helene M. Langevin, Electrical Impedance of Acupuncture Meridians: The Relevance of Subcutaneous Collagenous Bands, *PLoS ONE*, 10.1371/journal.pone.0011907, 5, 7, (e11907), (2010). [Crossref²⁷⁰](#)
- Kang Cheng, Chang Hua Zou, Information Models of Acupuncture Analgesia and Meridian Channels, *Information*, 10.3390/info1020153, 1, 2, (153-168), (2010). [Crossref²⁷¹](#)
- Peter T. Dorsher, Myofascial Meridians as Anatomical Evidence of Acupuncture Channels, *Medical Acupuncture*, 10.1089/acu.2009.0631, 21, 2, (91-97), (2009). [Crossref²⁷²](#)
- Kwang-Sup Soh, Bonghan Circulatory System as an Extension of Acupuncture Meridians, *Journal of Acupuncture and Meridian Studies*, 10.1016/S2005-2901(09)60041-8, 2, 2, (93-106), (2009). [Crossref²⁷³](#)
- Peter T. Dorsher, Myofascial Referred-Pain Data Provide Physiologic Evidence of Acupuncture Meridians, *The Journal of Pain*, 10.1016/j.jpain.2008.12.010, 10, 7, (723-731), (2009). [Crossref²⁷⁴](#)

- Charles Shang, Prospective Tests on Biological Models of Acupuncture, Evidence-Based Complementary and Alternative Medicine, 10.1093/ecam/nem122, 6, 1, (31-39), (2009). [Crossref²⁷⁵](#)
- Antonio Stecco, Veronica Macchi, Carla Stecco, Andrea Porzionato, Julie Ann Day, Vincent Delmas, Raffaele De Caro, Anatomical study of myofascial continuity in the anterior region of the upper limb, Journal of Bodywork and Movement Therapies, 10.1016/j.jbmt.2007.04.009, 13, 1, (53-62), (2009). [Crossref²⁷⁶](#)
- Sang-Hyun Park, Jungdae Kim, Tae-Hoi Koo, Magneto-Acupuncture Stimuli Effects on Ultraweak Photon Emission from Hands of Healthy Persons, Journal of Acupuncture and Meridian Studies, 10.1016/S2005-2901(09)60014-5, 2, 1, (40-48), (2009). [Crossref²⁷⁷](#)
- James L. Oschman, Charge transfer in the living matrix, Journal of Bodywork and Movement Therapies, 10.1016/j.jbmt.2008.06.005, 13, 3, (215-228), (2009). [Crossref²⁷⁸](#)
- Hsiao-Neng Chen, Jaung-Geng Lin, Li-Chih Ying, Chen-Chai Huang, Chuan-Hsiung Lin, The Therapeutic Depth of Abdominal Acupuncture Points Approaches the Safe Depth in Overweight and in Older Children, The Journal of Alternative and Complementary Medicine, 10.1089/acm.2008.0582, 15, 9, (1033-1037), (2009). [Crossref²⁷⁹](#)
- Sallie Stoltz-Denner, The Science of Energy Therapies and Contemplative Practice, Holistic Nursing Practice, 10.1097/HNP.0b013e3181bf3784, 23, 6, (315-334), (2009). [Crossref²⁸⁰](#)
- N. Ospina-Díaz, Introducción a la acupuntura. Fundamentos e interés para el médico de Atención Primaria, SEMERGEN - Medicina de Familia, 10.1016/S1138-3593(09)72675-9, 35, 8, (380-384), (2009). [Crossref²⁸¹](#)
- Suzanne McDonough, Jongbae Park, Jing Yuan, Purepong Nithima, Daniel P. Kerr, Letters, Spine, 10.1097/BRS.0b013e31819d071c, 34, 7, (753), (2009). [Crossref²⁸²](#)
- Charles Shang, Has Basic Acupuncture Research Met the Gold Standard of Science?, Medical Acupuncture, 10.1089/acu.2009.715, 21, 3, (191-200), (2009). [Crossref²⁸³](#)
- Xiaohui Yan, Xinyi Zhang, Chenglin Liu, Ruishan Dang, Yuying Huang, Wei He, Guanghong Ding, Do acupuncture points exist?, Physics in Medicine and Biology, 10.1088/0031-9155/54/9/N01, 54, 9, (N143-N150), (2009). [Crossref²⁸⁴](#)
- Xiaojia Yu, Guanghong Ding, Hong Huang, Jun Lin, Wei Yao, Rui Zhan, Role of Collagen Fibers in Acupuncture Analgesia Therapy on Rats, Connective Tissue Research, 10.1080/03008200802471856, 50, 2, (110-120), (2009). [Crossref²⁸⁵](#)
- James J. Mao, Deborah W. Bruner, Carrie Stricker, John T. Farrar, Sharon X. Xie, Marjorie A. Bowman, Donna Pucci Xiaoyan Han, Angela DeMichele, Feasibility Trial of Electroacupuncture for Aromatase Inhibitor-Related Arthralgia in Breast Cancer Survivors, Integrative Cancer Therapies, 10.1177/1534735409332903, 8, 2, (123-129), (2009). [Crossref²⁸⁶](#)
- HongQin Yang, ShuSen Xie, Hui Li, YuHua Wang, On optics of human meridians, Science in China Series G: Physics, Mechanics and Astronomy, 10.1007/s11433-009-0080-7, 52, 4, (502-507), (2009). [Crossref²⁸⁷](#)
- Dietrich H.W. Groenemeyer, Lei Zhang, Sven Schirp, Jürgen Baier, Localization of Acupuncture Points BL25 and BL26 Using Computed Tomography, The Journal of Alternative and Complementary Medicine, 10.1089/acm.2007.7118-O, 15, 12, (1285-1291), (2009). [Crossref²⁸⁸](#)
- Mike Benjamin, The fascia of the limbs and back – a review, Journal of Anatomy, 10.1111/j.1469-7580.2008.01011.x, 214, 1, (1-18), (2008). [Wiley Online Library²⁸⁹](#)
- Jesse Li-Ling, Yiyang Wu, Congenital Syndromes Involving the Lungs: Pathogenetic Models Based on Chinese Medicine Theories, The Journal of Alternative and Complementary Medicine, 10.1089/acm.2008.0115, 14, 8, (1017-1025), (2008). [Crossref²⁹⁰](#)
- Byung-Cheon Lee, Tae-Jeong Nam, Hyeon-Min Johng, Eun-Sung Park, Ku-Youn Baik, Baeck-Kyoung Sung, Kyung-Soon Soh, Yeo-Sung Yoon, Kwang-Sup Soh, Argrophilic Fibers of Intravascular Threadlike Structures in Rat, Journal of Korean Institute of Herbal Acupuncture, 10.3831/KPI.2008.11.3.005, 11, 3, (5-16), (2008). [Crossref²⁹¹](#)
- Di Zhang, Guanghong Ding, Xueyong Shen, Wei Yao, Zhiying Zhang, Yuqing Zhang, Jun Lin, Quanbao Gu, Role of Mast Cells in Acupuncture Effect: A Pilot Study, EXPLORE, 10.1016/j.explore.2008.02.002, 4, 3, (170-177), (2008). [Crossref²⁹²](#)
- Stephen M. Sagar, Acupuncture as an Evidence-Based Option for Symptom Control in Cancer Patients, Current Treatment Options in Oncology, 10.1007/s11864-008-0063-3, 9, 2-3, (117-126), (2008). [Crossref²⁹³](#)
- M. Miguel-Pérez, J.C. Ortiz-Sagrastá, A. Pérez-Bellmunt, R. Ramos-Izquierdo, A. García-Fernández, Descripción anatómica de puntos de acupuntura en la extremidad inferior, Revista Internacional de Acupuntura, 10.1016/S1887-8369(08)70031-0, 2, 2, (126-131), (2008). [Crossref²⁹⁴](#)
- Marcus Bäcker, Paul Grossman, Jens Schneider, Andreas Michalsen, Nicola Knoblauch, Linda Tan, Corinna Niggemeyer, Klaus Linde, Dieter Melchart, Gustav J. Dobos, Acupuncture in Migraine, The Clinical Journal of Pain, 10.1097/AJP.0b013e318159f95e, 24, 2, (106-115), (2008). [Crossref²⁹⁵](#)
- Peter T. Dorsher, Optimal Localization of Acupuncture Points: Implications for Acupuncture Practice, Education, and Research, Medical Acupuncture, 10.1089/acu.2008.0621, 20, 3, (147-150), (2008). [Crossref²⁹⁶](#)
- Byung-Cheon Lee, Vyacheslav Ogay, Ki Woo Kim, Yuwon Lee, Jin-Kyu Lee, Kwang-Sup Soh, Acupuncture Muscle Channel in the Subcutaneous Layer of Rat Skin, Journal of Acupuncture and Meridian Studies, 10.1016/S2005-2901(09)60002-9, 1, 1, (13-19), (2008). [Crossref²⁹⁷](#)
- Agatha P. Colbert, Jinkook Yun, Adrian Larsen, Tracy Edinger, William L. Gregory, Tran Thong, Skin Impedance Measurements for Acupuncture Research: Development of a Continuous Recording System, Evidence-Based Complementary and Alternative Medicine, 10.1093/ecam/nem060, 5, 4, (443-450), (2008). [Crossref²⁹⁸](#)
- Hugh MacPherson, Richard Nahin, Charlotte Paterson, Claire M. Cassidy, George T. Lewith, Richard Hammerschlag, Developments in Acupuncture Research: Big-Picture Perspectives from the Leading Edge, The Journal of Alternative and Complementary Medicine, 10.1089/acm.2008.SAR-5, 14, 7, (883-887), (2008). [Crossref²⁹⁹](#)
- Vyacheslav Ogay, Min Su Kim, Hyo Jun Seok, Cheon Joo Choi, Kwang-Sup Soh, Catecholamine-storing Cells at Acupuncture Points of Rabbits, Journal of Acupuncture and Meridian Studies, 10.1016/S2005-2901(09)60027-3, 1, 2, (83-90), (2008). [Crossref³⁰⁰](#)
- J. Giebel, Mecanotransducción y transducción de señales a través del tejido conjuntivo, Revista Internacional de Acupuntura, 10.1016/S1887-8369(08)70003-6, 2, 1, (9-14), (2008). [Crossref³⁰¹](#)
- Sheng-Hsiung Hsiao, Li-Jen Tsai, A Neurovascular Transmission Model for Acupuncture-induced Nitric Oxide, Journal of Acupuncture and Meridian Studies, 10.1016/S2005-2901(09)60006-6, 1, 1, (42-50), (2008). [Crossref³⁰²](#)
- Vitaly Napadow, Andrew Ahn, John Longhurst, Lixing Lao, Elisabet Stener-Victorin, Richard Harris, Helene M. Langevin, The Status and Future of Acupuncture Mechanism Research, The Journal of Alternative and Complementary Medicine, 10.1089/acm.2008.SAR-3, 14, 7, (861-869), (2008). [Crossref³⁰³](#)
- Hong-Yi Li, Jie-Fu Yang, Min Chen, Liang Xu, Wen-Chao Wang, Fang Wang, Jia-Bin Tong, Chuan-Yu Wang, Visualized Regional Hypodermic Migration Channels of Interstitial Fluid in Human Beings: Are These Ancient Meridians?, The Journal of Alternative and Complementary Medicine, 10.1089/acm.2007.0606, 14, 6, (621-628), (2008). [Crossref³⁰⁴](#)
- Rosa N. Schnyer, Stephen Birch, Hugh MacPherson, Acupuncture practice as the foundation for clinical evaluation, Acupuncture Research, 10.1016/B978-044310029-1.50013-9, (153-179), (2008). [Crossref³⁰⁵](#)
- Richard Hammerschlag, Hélène M. Langevin, Lixing Lao, George Lewith, Physiological dynamics of acupuncture: correlations and mechanisms, Acupuncture Research, 10.1016/B978-044310029-1.50014-0, (181-197), (2008). [Crossref³⁰⁶](#)
- Paul Orrock, Eric Blake, Leon Chaitow, Roger Newman Turner, Naturopathic Physical Medicine, Naturopathic Physical Medicine, 10.1016/B978-044310390-2.50009-2, (75-100), (2008). [Crossref³⁰⁷](#)
- Andrew C. Ahn, Agatha P. Colbert, Belinda J. Anderson, Ørjan G. Martinsen, Richard Hammerschlag, Steve Cina, Peter M. Wayne, Helene M. Langevin, Electrical properties of acupuncture points and meridians: A systematic review, Bioelectromagnetics, 10.1002/bem.20403, 29, 4, (245-256), (2008). [Wiley Online Library³⁰⁸](#)
- Margaret Julias, Lowell T Edgar, Helen M Buettner, David I Shreiber, An in vitro assay of collagen fiber alignment by acupuncture needle rotation, BioMedical Engineering OnLine, 10.1186/1475-925X-7-19, 7, 1, (2008). [Crossref³⁰⁹](#)
- Kell N. Julliard, Claudia Citkovitz, Douglas McDaniel, Towards a Model for Planning Clinical Research in Oriental Medicine, EXPLORE, 10.1016/j.explore.2006.12.002, 3, 2, (118-128), (2007). [Crossref³¹⁰](#)
- Arya Nielsen, Nicola T.M. Knoblauch, Gustav J. Dobos, Andreas Michalsen, Ted J. Kaptechuk, The Effect of Gua Sha Treatment on the Microcirculation of Surface Tissue: A Pilot Study in Healthy Subjects, EXPLORE, 10.1016/j.explore.2007.06.001, 3, 5, (456-466), (2007). [Crossref³¹¹](#)
- Roy Moncayo, Ansgar Rudisch, Markus Diemling, Christian Kremser, In-vivo visualisation of the anatomical structures related to the acupuncture points Dai mai and Shen mai by MRI: A single-case pilot study, BMC Medical Imaging, 10.1186/1471-2342-7-4, 7, 1, (2007). [Crossref³¹²](#)
275. <https://doi.org/10.1093/ecam/nem122>
276. <https://doi.org/10.1016/j.jbmt.2007.04.009>
277. [https://doi.org/10.1016/S2005-2901\(09\)60014-5](https://doi.org/10.1016/S2005-2901(09)60014-5)
278. <https://doi.org/10.1016/j.jbmt.2008.06.005>
279. <https://doi.org/10.1089/acm.2008.0582>
280. <https://doi.org/10.1097/HNP.0b013e3181bf3784>
281. [https://doi.org/10.1016/S1138-3593\(09\)72675-9](https://doi.org/10.1016/S1138-3593(09)72675-9)
282. <https://doi.org/10.1097/BRS.0b013e31819d071c>
283. <https://doi.org/10.1089/acu.2009.715>
284. <https://doi.org/10.1088/0031-9155/54/9/N01>
285. <https://doi.org/10.1080/03008200802471856>
286. <https://doi.org/10.1177/1534735409332903>
287. <https://doi.org/10.1007/s11433-009-0080-7>
288. <https://doi.org/10.1089/acm.2007.7118-O>
289. <https://onlinelibrary.wiley.com/doi/10.1111/j.1469-7580.2008.01011.x>
290. <https://doi.org/10.1089/acm.2008.0115>
291. <https://doi.org/10.3831/KPI.2008.11.3.005>
292. <https://doi.org/10.1016/j.explore.2008.02.002>
293. <https://doi.org/10.1007/s11864-008-0063-3>
294. [https://doi.org/10.1016/S1887-8369\(08\)70031-0](https://doi.org/10.1016/S1887-8369(08)70031-0)
295. <https://doi.org/10.1097/AJP.0b013e318159f95e>
296. <https://doi.org/10.1089/acu.2008.0621>
297. [https://doi.org/10.1016/S2005-2901\(09\)60002-9](https://doi.org/10.1016/S2005-2901(09)60002-9)
298. <https://doi.org/10.1093/ecam/nem060>
299. <https://doi.org/10.1089/acm.2008.SAR-5>
300. [https://doi.org/10.1016/S2005-2901\(09\)60027-3](https://doi.org/10.1016/S2005-2901(09)60027-3)
301. [https://doi.org/10.1016/S1887-8369\(08\)70003-6](https://doi.org/10.1016/S1887-8369(08)70003-6)
302. [https://doi.org/10.1016/S2005-2901\(09\)60006-6](https://doi.org/10.1016/S2005-2901(09)60006-6)
303. <https://doi.org/10.1089/acm.2008.SAR-3>
304. <https://doi.org/10.1089/acm.2007.0606>
305. <https://doi.org/10.1016/B978-044310029-1.50013-9>
306. <https://doi.org/10.1016/B978-044310029-1.50014-0>
307. <https://doi.org/10.1016/B978-044310390-2.50009-2>
308. <https://onlinelibrary.wiley.com/doi/10.1002/bem.20403>
309. <https://doi.org/10.1186/1475-925X-7-19>
310. <https://doi.org/10.1016/j.explore.2006.12.002>
311. <https://doi.org/10.1016/j.explore.2007.06.001>
312. <https://doi.org/10.1186/1471-2342-7-4>

- J. Giebel, Mechanotransduktion und Signaltransduktion über das Bindegewebe – Mechanismen zur Erklärung des therapeutischen Effekts der Akupunktur?, *Deutsche Zeitschrift für Akupunktur*, 10.1078/0415-6412-00281, 50, 3, (6-10), (2007). [Crossref²¹³](#)
- Roy Moncayo, Ansgar Rudisch, Christian Kremser, Helga Moncayo, 3D-MRI rendering of the anatomical structures related to acupuncture points of the Dai mai, Yin qiao mai and Yang qiao mai meridians within the context of the WOMED concept of lateral tension: implications for musculoskeletal disease, *BMC Musculoskeletal Disorders*, 10.1186/1471-2474-8-33, 8, 1, (2007). [Crossref²¹⁴](#)
- Helene M. Langevin, Nicole A. Bouffard, David L. Churchill, Gary J. Badger, Connective Tissue Fibroblast Response to Acupuncture: Dose-Dependent Effect of Bidirectional Needle Rotation, *The Journal of Alternative and Complementary Medicine*, 10.1089/acm.2007.6351, 13, 3, (355-360), (2007). [Crossref²¹⁵](#)
- Yong-Hui Han, Joon-Mo Yang, Min-Su Kim, Kwang-Sup Soh, Detection of the acupuncture points in Skin by differential path-length spectroscopy, *World Congress on Medical Physics and Biomedical Engineering 2006*, 10.1007/978-3-540-36841-0, (3572-3575), (2007). [Crossref²¹⁶](#)
- Min-Su Kim, Vyacheslav Ogay, Yong-Hui Han, Hak-Soo Shin, Byung-Cheon Lee, Kwang-Sup Soh, Alcian Blue Staining Technique for Tracing the Governing Vessel (GV) Meridian in Rat, *World Congress on Medical Physics and Biomedical Engineering 2006*, 10.1007/978-3-540-36841-0, (3576-3579), (2007). [Crossref²¹⁷](#)
- Miguel-Pérez Maribel, Ortiz-Sagrístá Joan Carles, Pérez-Bellmunt Albert, Buxeda Mónica, Cuni Laura, García-Fernández Alicia, Descripción anatómica de puntos de acupuntura en la extremidad superior, *Revista Internacional de Acupuntura*, 10.1016/S1887-8369(07)70217-X, 1, 2, (53-57), (2007). [Crossref²¹⁸](#)
- Yury P. Limansky, Serge A. Gulyar, Ivan Z. Samosyuk, Scientific basis of acupuncture, *Kontakt*, 10.32725/kont.2007.060, 9, 2, (391-402), (2007). [Crossref²¹⁹](#)
- Leon Chaitow, Fascia 2007 Congress, *Journal of Bodywork and Movement Therapies*, 10.1016/j.jbmt.2006.07.004, 10, 4, (249-250), (2006). [Crossref²²⁰](#)
- Helene M. Langevin, Connective tissue: A body-wide signaling network?, *Medical Hypotheses*, 10.1016/j.mehy.2005.12.032, 66, 6, (1074-1077), (2006). [Crossref²²¹](#)
- Albert Y. Leung, Jun Park, Gery Schulteis, Jeng-Ren Duann, Tony Yaksh, The Electrophysiology of De Qi Sensations, *The Journal of Alternative and Complementary Medicine*, 10.1089/acm.2006.12.743, 12, 8, (743-750), (2006). [Crossref²²²](#)
- Acupuncture, Obstetrics & Gynecology, 10.1097/01.AOG.0000239498.38595.41, 108, 4, (1024-1026), (2006). [Crossref²²³](#)
- Jeanne L. Shea, Applying Evidence-Based Medicine to Traditional Chinese Medicine: Debate and Strategy, *The Journal of Alternative and Complementary Medicine*, 10.1089/acm.2006.12.255, 12, 3, (255-263), (2006). [Crossref²²⁴](#)
- Grigory V. Chernyak, Daniel I. Sessler, Perioperative Acupuncture and Related Techniques, *Anesthesiology*, 10.1097/00000542-200505000-00024, 102, 5, (1031-1049), (2005). [Crossref²²⁵](#)
- Grigory Chernyak, Papiya Sengupta, Rainer Lenhardt, Edwin Liem, Anthony G. Doufas, Daniel I. Sessler, Ozan Ak?a, The Timing of Acupuncture Stimulation Does Not Influence Anesthetic Requirement, Anesthesia & Analgesia, 10.1213/01.ANE.0000142114.72117.E0, 100, 2, (387-392), (2005). [Crossref²²⁶](#)
- Gabriela E. Garcia, Sheng-Xing Ma, Lili Feng, Acupuncture and Kidney Disease, *Advances in Chronic Kidney Disease*, 10.1016/j.ackd.2005.04.002, 12, 3, (282-291), (2005). [Crossref²²⁷](#)
- Andrew C. Ahn, Junru Wu, Gary J. Badger, Richard Hammerschlag, Helene M. Langevin, Electrical impedance along connective tissue planes associated with acupuncture meridians, *BMC Complementary and Alternative Medicine*, 10.1186/1472-6882-5-10, 5, 1, (2005). [Crossref²²⁸](#)
- E.E. Konofagou, H.M. Langevin, Using ultrasound to understand acupuncture, *IEEE Engineering in Medicine and Biology Magazine*, 10.1109/MEMB.2005.1411347, 24, 2, (41-46), (2005). [Crossref²²⁹](#)
- R. Schleip, W. Klingler, F. Lehmann-Horn, Active fascial contractility: Fascia may be able to contract in a smooth muscle-like manner and thereby influence musculoskeletal dynamics, *Medical Hypotheses*, 10.1016/j.mehy.2005.03.005, 65, 2, (273-277), (2005). [Crossref²³⁰](#)
- Paulo H. Hashimoto, The perineurial vessel: A possible candidate for the structural basis of the meridian (Jing - Luo) in Chinese medicine*, *Anatomical Science International*, 10.1111/j.1447-073X.2005.00118.x, 80, 4, (177-180), (2005). [Wiley Online Library³³¹](#)
- Dina Ralt, Intercellular communication, NO and the biology of Chinese medicine, *Cell Communication and Signaling*, 10.1186/1478-811X-3-8, 3, 1, (2005). [Crossref²³²](#)
313. <https://doi.org/10.1078/0415-6412-00281>
314. <https://doi.org/10.1186/1471-2474-8-33>
315. <https://doi.org/10.1089/acm.2007.6351>
316. <https://doi.org/10.1007/978-3-540-36841-0>
317. <https://doi.org/10.1007/978-3-540-36841-0>
318. [https://doi.org/10.1016/S1887-8369\(07\)70217-X](https://doi.org/10.1016/S1887-8369(07)70217-X)
319. <https://doi.org/10.32725/kont.2007.060>
320. <https://doi.org/10.1016/j.jbmt.2006.07.004>
321. <https://doi.org/10.1016/j.mehy.2005.12.032>
322. <https://doi.org/10.1089/acm.2006.12.743>
323. <https://doi.org/10.1097/01.AOG.0000239498.38595.41>
324. <https://doi.org/10.1089/acm.2006.12.255>
325. <https://doi.org/10.1097/00000542-200505000-00024>
326. <https://doi.org/10.1213/01.ANE.0000142114.72117.E0>
327. <https://doi.org/10.1016/j.ackd.2005.04.002>
328. <https://doi.org/10.1186/1472-6882-5-10>
329. <https://doi.org/10.1109/MEMB.2005.1411347>
330. <https://doi.org/10.1016/j.mehy.2005.03.005>
331. <https://onlinelibrary.wiley.com/doi/10.1111/j.1447-073X.2005.00118.x>
332. <https://doi.org/10.1186/1478-811X-3-8>
- Ai-Hui Li, Jun-Ming Zhang, Yi-Kuan Xie, Human acupuncture points mapped in rats are associated with excitable muscle/skin-nerve complexes with enriched nerve endings, *Brain Research*, 10.1016/j.brainres.2004.04.009, 1012, 1-2, (154-159), (2004). [Crossref³³³](#)
- Kaung-Ti Yung, A Birdcage Model for the Chinese Meridian System Part II: The Meridian System as a Birdcage Resonator, *The American Journal of Chinese Medicine*, 10.1142/S0192415X04002582, 32, 06, (985-997), (2004). [Crossref³³⁴](#)
- J. P. Jones, Y. K. Bae, L. Wilson, C. S. So, D. D. Kidney, Ultrasonic Imaging and Characterization of Acupuncture Points in Classical Oriental Medicine, *Acoustical Imaging*, 10.1007/978-1-4020-2402-3_66, (527-533), (2004). [Crossref³³⁵](#)
- Helene M. Langevin, Elisa E. Konofagou, Gary J. Badger, David L. Churchill, James R. Fox, Jonathan Ophir, Brian S. Garra, Tissue displacements during acupuncture using ultrasound elastography techniques, *Ultrasound in Medicine & Biology*, 10.1016/j.ultrasmedbio.2004.07.010, 30, 9, (1173-1183), (2004). [Crossref³³⁶](#)
- M. Bäcker, I.K. Gareus, N.T.M. Knoblauch, A. Michalsen, G.J. Dobos, Akupunktur in der Schmerztherapie – Hypothese zu adaptiven Prozessen, *Complementary Medicine Research*, 10.1159/000082815, 11, 6, (335-345), (2004). [Crossref³³⁷](#)
- Opher Caspi, Cari Stellhorn, Melinda Connor, Sham in CAM, Evidence-Based Integrative Medicine, 10.2165/01197065-200401040-00002, 1, 4, (233-240), (2004). [Crossref³³⁸](#)
- Bruce D. Curtis, J.J. Hurtak, Consciousness and Quantum Information Processing: Uncovering the Foundation for a Medicine of Light, *The Journal of Alternative and Complementary Medicine*, 10.1089/107555304322848931, 10, 1, (27-39), (2004). [Crossref³³⁹](#)
- E.E. Konofagou, G.J. Badger, B.S. Garra, H.M. Langevin, IEEE Symposium on Ultrasonics, 2003, 10.1109/ULTSYM.2003.1293138, (1288-1291), (2003). [Crossref³⁴⁰](#)
- Leon Chaitow, Judith DeLany, Neuromuscular Techniques in Orthopedics, *Techniques in Orthopaedics*, 10.1097/00013611-200303000-00013, 18, 1, (74-86), (2003). [Crossref³⁴¹](#)
- LiteratureWatch, Alternative and Complementary Therapies, 10.1089/10762800360520811, 9, 1, (49-50), (2003). [Crossref³⁴²](#)
- Michael McCarthy, Palpatory literacy, Chinese therapeutic bodywork (Tui Na) and the remediation of head, neck and shoulder pain, *Journal of Bodywork and Movement Therapies*, 10.1016/S1360-8592(03)00044-5, 7, 4, (262-277), (2003). [Crossref³⁴³](#)
- Leon Chaitow, What binds us together ?, *Journal of Bodywork and Movement Therapies*, 10.1016/S1360-8592(03)00020-2, 7, 2, (69-70), (2003). [Crossref³⁴⁴](#)
- Joshi, Narahari & Mbbs, Msc & Pa'ez, Ximena & Araque, MBBS. (2012). Electroacupuncture Effects on the Disintegration of Beta Amyloid Sheets: Its Application to Alzheimer's Disease. *Medical Acupuncture*. 24. 145. 10.1089/acu.2012.0873. [ResearchGate³⁴⁵](#)
- ## HRV, 阿育吠陀
- Ram Manohar, P., Sorokin, O., Chacko, J., & Nampoothiri, V. (2018). An exploratory clinical study to determine the utility of heart rate variability analysis in the assessment of dosha imbalance. *Journal of Ayurveda and integrative medicine*, 9(2), 126–130. [Crossref³⁴⁶](#)
- Travis F.T., Wallace R.K. Doša brain-types: a neural model of individual differences. *J Ayurveda Integr Med*. 2015;6(4):280–285. [PMC³⁴⁷](#) - [PubMed³⁴⁸](#)
- Tyagi A., Cohen M. Yoga and heart rate variability: a comprehensive review of the literature. *Int J Yoga*. 2016;9(2):97–113. [PMC³⁴⁹](#) - [PubMed³⁵⁰](#)
- Masel E., Huber P., Engler T., Herbert Watzke H.H. Heart rate variability during treatment of breakthrough pain in patients with advanced cancer: a pilot study. *J Pain Res*. 2016 Dec;9:1215–1220. [PMC³⁵¹](#) - [PubMed³⁵²](#)
- Kim E.-H., Park J.-H., Lee S.M., Gwak M.-S., Kim G.-S., Kim M.-H. Preoperative depressed mood and perioperative heart rate variability in patients with hepatic cancer. *J Clin Anesth*. 2016 Dec;35:332–338. [PubMed³⁵³](#)
333. <https://doi.org/10.1016/j.brainres.2004.04.009>
334. <https://doi.org/10.1142/S0192415X04002582>
335. https://doi.org/10.1007/978-1-4020-2402-3_66
336. <https://doi.org/10.1016/j.ultrasmedbio.2004.07.010>
337. <https://doi.org/10.1159/000082815>
338. <https://doi.org/10.2165/01197065-200401040-00002>
339. <https://doi.org/10.1089/107555304322848931>
340. <https://doi.org/10.1109/ULTSYM.2003.1293138>
341. <https://doi.org/10.1097/00013611-200303000-00013>
342. <https://doi.org/10.1089/10762800360520811>
343. [https://doi.org/10.1016/S1360-8592\(03\)00044-5](https://doi.org/10.1016/S1360-8592(03)00044-5)
344. [https://doi.org/10.1016/S1360-8592\(03\)00020-2](https://doi.org/10.1016/S1360-8592(03)00020-2)
345. https://www.researchgate.net/publication/236897521_Electroacupuncture_Effects_on_the_Disintegration_of_Beta_Amyloid_Sheets_Its_Application_to_Alzheimer's_Disease
346. <https://doi.org/10.1016/j.jaim.2017.06.008>
347. <http://www.ncbi.nlm.nih.gov/pmc/articles/pmc4719489/>
348. <https://pubmed.ncbi.nlm.nih.gov/26834428/>
349. <http://www.ncbi.nlm.nih.gov/pmc/articles/pmc4959333/>
350. <https://pubmed.ncbi.nlm.nih.gov/27512317/>
351. <http://www.ncbi.nlm.nih.gov/pmc/articles/pmc5161332/>
352. <https://pubmed.ncbi.nlm.nih.gov/28003771/>
353. <https://pubmed.ncbi.nlm.nih.gov/27871552/>

- Koszewicz M., Michalak S., Bilinska M., Budrewicz S., Zaborowski M., Slotwinski K. Profile of autonomic dysfunctions in patients with primary brain tumor and possible autoimmunity. *Clin Neurol Neurosurg.* 2016 Dec;151:51–54. [PubMed³⁵⁴](#)
- Rastogi, S., & Singh, R. H. (2021). Principle of Hot (Ushna) and Cold (Sheeta) and Its Clinical Application in Ayurvedic Medicine. *Advances in experimental medicine and biology*, 1343, 39–55. [Crossref³⁵⁵](#)
- Mills, P. J., Peterson, C. T., Wilson, K. L., Pung, M. A., Patel, S., Weiss, L., Kshirsagar, S. G., Tanzi, R. E., & Chopra, D. (2019). Relationships among classifications of ayurvedic medicine diagnostics for imbalances and western measures of psychological states: An exploratory study. *Journal of Ayurveda and integrative medicine*, 10 (3), 198–202. [Crossref³⁵⁶](#)
- Pandey M.M., Rastogi S., Rawat A.K. Indian traditional ayurvedic system of medicine and nutritional supplementation. *Evid Based Complement Alternat Med.* 2013;2013:376327. - [PMC³⁵⁷](#) - [PubMed³⁵⁸](#)
- Chopra A., Doiphode V.V. Ayurvedic medicine. Core concept, therapeutic principles, and current relevance. *Med Clin North Am.* 2002;86(1):75–89. vii. - [PubMed³⁵⁹](#)
- Zhou X., Ma Z., Zhang L., Zhou S., Wang J., Wang B. Heart rate variability in the prediction of survival in patients with cancer: a systematic review and meta-analysis. *J Psychosom Res.* 2016 Oct;89:20–25. - [PubMed³⁶⁰](#)
- Taffe L., Stancil K., Bond V., Pemminati S., Gorantla V.R., Kadir K. Differentiation of overweight from normal weight young adults by postprandial heart rate variability and systolic blood pressure. *J Clin Diagnostic Res.* 2016 Aug;10(8):CC01–CC06. - [PMC³⁶¹](#) - [PubMed³⁶²](#)
- Gupta J., Dube A., Singh V., Gupta R.C. Spectral analysis of heart rate variability in bronchial asthma patients. *Indian J Physiol Pharmacol.* 2012;56(4):330–336. - [PubMed³⁶³](#)
- Sorokin O.V., Subotyalov M.A. Material of the all-Russian scientific and practical conference with international presence, October 26–27, 2011 Kemerovo, Russia. 2011. Comparative medical research of VedaPulse hardware and software kit // Health maintaining activities in educational system: theory and practice; pp. 225–230.
- Kelkar P., Karamchandani S., Jinda S. Proceedings of conference on advance applications in physiological variability, BARC. 2010. Identifying tridasha for disease characterisation in morphology of an IPG pulse waveform.
- Singh Harupjit. Thapar University; Patiala: 2016. Relationship between three ayurvedic doshas and heart rate variability frequency bands: a pilot study.
- Deshpande H., Shivakumar, Kavita M.B., Tripathy T.B., Chaturvedi A. Healthcare and disease management in Ayurveda. *Altern Ther Health Med.* 2001;7(2):44–50. - [PubMed³⁶⁴](#)
- Anthony J.V., Joanne M.G. Understanding interobserver agreement: the kappa statistic. *Fam Med.* 2005 May;37(5):360–363. - [PubMed³⁶⁵](#)
- Telles S., Pathak S., Kumar A., Mishra P., Balkrishna A. Ayurvedic doshas as predictors of sleep quality. *Med Sci Monit.* 2015;21:1421–1427. - [PMC³⁶⁶](#) - [PubMed³⁶⁷](#)
- Bell C., Heidel R.E., Sunega J., Drisko J. Ancient wisdom. Can ayurvedic prakriti provide invaluable insights into integrative medicine? *Ayurveda J Health.* 2017;27:27–34.
- Cohen S., Kamarck T., Mermelstein R. A global measure of perceived stress. *J Health Soc Behav.* 1983;24(4):385–396. - [PubMed³⁶⁸](#)
- Travis F.T., Wallace R.K. Dosha brain-types: a neural model of individual differences. *J Ayurveda Integr Med.* 2015;6(4):280–285. - [PMC³⁶⁹](#) - [PubMed³⁷⁰](#)
- DeY S., Pahwa P. Prakriti and its associations with metabolism, chronic diseases, and genotypes: possibilities of new born screening and a lifetime of personalized prevention. *J Ayurveda Integr Med.* 2014;5(1):15–24. - [PMC³⁷¹](#) - [PubMed³⁷²](#)
- Purvy M.C., Meena M.S. A review on role of prakriti in aging. *Ayu.* 2011;32(1):20–24. - [PMC³⁷³](#) - [PubMed³⁷⁴](#)
- Pham, T., Lau, Z. J., Chen, S. H. A., & Makowski, D. (2021). Heart Rate Variability in Psychology: A Review of HRV Indices and an Analysis Tutorial. *Sensors (Basel, Switzerland)*, 21 (12), 3998. [Crossref³⁷⁵](#)
- Lombardi F., Malliani A., Pagani M., Cerutti S. Heart Rate Variability and Its Sympatho-Vagal Modulation. *Cardiovasc. Res.* 1996;32:208–216. doi: 10.1016/0008-6363(96)00116-2. - [DOI³⁷⁶](#) - [PubMed³⁷⁷](#)
- Mccrarty R., Shaffer F. Heart Rate Variability: New Perspectives on Physiological Mechanisms, Assessment of Self-regulatory Capacity, and Health Risk. *Glob. Adv. Health Med.* 2015;4:46–61. doi: 10.7453/gahmj.2014.073. - [DOI³⁷⁸](#) - [PMC³⁷⁹](#) - [PubMed³⁸⁰](#)
354. <https://pubmed.ncbi.nlm.nih.gov/27788421/>
355. https://doi.org/10.1007/978-3-030-80983-6_4
356. <https://doi.org/10.1016/j.jaim.2018.02.001>
357. <https://www.ncbi.nlm.nih.gov/pmc/articles/pmc3705899/>
358. <https://pubmed.ncbi.nlm.nih.gov/23864888/>
359. <https://pubmed.ncbi.nlm.nih.gov/11795092/>
360. <https://pubmed.ncbi.nlm.nih.gov/27663106/>
361. <https://www.ncbi.nlm.nih.gov/pmc/articles/pmc5028518/>
362. <https://pubmed.ncbi.nlm.nih.gov/27656434/>
363. <https://pubmed.ncbi.nlm.nih.gov/23781652/>
364. <https://pubmed.ncbi.nlm.nih.gov/11253416/>
365. <https://pubmed.ncbi.nlm.nih.gov/15883903/>
366. <https://www.ncbi.nlm.nih.gov/pmc/articles/pmc4448595/>
367. <https://pubmed.ncbi.nlm.nih.gov/25982247/>
368. <https://pubmed.ncbi.nlm.nih.gov/6668417/>
369. <https://www.ncbi.nlm.nih.gov/pmc/articles/pmc4719489/>
370. <https://pubmed.ncbi.nlm.nih.gov/26834428/>
371. <https://www.ncbi.nlm.nih.gov/pmc/articles/pmc4012357/>
372. <https://pubmed.ncbi.nlm.nih.gov/24812471/>
373. <https://www.ncbi.nlm.nih.gov/pmc/articles/pmc3215411/>
374. <https://pubmed.ncbi.nlm.nih.gov/22131753/>
375. <https://doi.org/10.3390/s21123998>
376. [https://doi.org/10.1016/0008-6363\(96\)00116-2](https://doi.org/10.1016/0008-6363(96)00116-2)
377. <https://pubmed.ncbi.nlm.nih.gov/8796106/>
378. <https://doi.org/10.7453/gahmj.2014.073>
- Thayer J.F., Yamamoto S.S., Brosschot J.F. The relationship of autonomic imbalance, heart rate variability and cardiovascular disease risk factors. *Int. J. Cardiol.* 2010;141:122–131. doi: 10.1016/j.ijcard.2009.09.543. - [DOI³⁸¹](#) - [PubMed³⁸²](#)
- Tiwari, R., Kumar, R., Malik, S., Raj, T., & Kumar, P. (2021). Analysis of Heart Rate Variability and Implication of Different Factors on Heart Rate Variability. *Current cardiology reviews*, 17 (5), e160721189770. [Crossref³⁸³](#)
- Roy, S., Goswami, D. P., & Sengupta, A. (2020). Geometry of the Poincaré plot can segregate the two arms of autonomic nervous system - A hypothesis. *Medical hypotheses*, 138, 109574. [Crossref³⁸⁴](#)
- Gullett, N., Zajkowska, Z., Walsh, A., Harper, R., & Mondelli, V. (2023). Heart rate variability (HRV) as a way to understand associations between the autonomic nervous system (ANS) and affective states: A critical review of the literature. *International journal of psychophysiology : official journal of the International Organization of Psychophysiology*, 192, 35–42. [Crossref³⁸⁵](#)
- Zou L., Sasaki J.E., Wei G.X., Huang T., Yeung A.S., Neto O.B., Chen K.W., Hui S.S. Effects of Mind-Body Exercises (Tai Chi/Yoga) on Heart Rate Variability Parameters and Perceived Stress: A Systematic Review with Meta-Analysis of Randomized Controlled Trials. *J. Clin. Med.* 2018;7:404. doi: 10.3390/jcm7110404. - [DOI³⁸⁶](#) - [PMC³⁸⁷](#) - [PubMed³⁸⁸](#)
- Danylova T.V., Shmarhuv V.M., Vertel A.V., Matyushko B.K., Bondarenko A.F., Kychkyruk T., Petersen J. Effects of the eastern mind-body practices on mental health during the COVID-19 pandemic: When east meets west. *Wiad. Lek.* 2021;74:2850–2855. doi: 10.36740/WLek202111130. - [DOI³⁸⁹](#) - [PubMed³⁹⁰](#)
- Feneberg A.C., Nater U.M. An Ecological Momentary Music Intervention for the Reduction of Acute Stress in Daily Life: A Mixed Methods Feasibility Study. *Front. Psychol.* 2022;13:927705. doi: 10.3389/fpsyg.2022.927705. - [DOI³⁹¹](#) - [PMC³⁹²](#) - [PubMed³⁹³](#)
- Breit S., Kupferberg A., Rogler G., Hasler G. Vagus Nerve as Modulator of the Brain–Gut Axis in Psychiatric and Inflammatory Disorders. *Front. Psychiatry.* 2018;9:44. doi: 10.3389/fpsyg.2018.00044. - [DOI³⁹⁴](#) - [PMC³⁹⁵](#) - [PubMed³⁹⁶](#)
- Laborde S., Mosley E., Thayer J.F. Heart rate variability and cardiac vagal tone in psychophysiological research—recommendations for experiment planning, data analysis, and data reporting. *Front. Psychol.* 2017;8:213. doi: 10.3389/fpsyg.2017.00213. - [DOI³⁹⁷](#) - [PMC³⁹⁸](#) - [PubMed³⁹⁹](#)
- Chesky K.S., Michel D.E. The Music Vibration Table (MVT): Developing a Technology and Conceptual Model for Pain Relief. *Music Ther. Perspect.* 1991;9:32–38. doi: 10.1093/mt/p/9.1.32. - [DOI⁴⁰⁰](#)
- Campbell E., Burger B., Ala-Ruona E. A Single-Case, Mixed Methods Study Exploring the Role of Music Listening in Vibroacoustic Treatment. *Voices World Forum Music Ther.* 2019;19:27. doi: 10.15845/voices.v19i2.2556. - [DOI⁴⁰¹](#)
- Braun Janzen T., Al Shirawi M.I., Rotzinger S., Kennedy S.H., Bartel L. A Pilot Study Investigating the Effect of Music-Based Intervention on Depression and Anhedonia. *Front. Psychol.* 2019;10:1038. doi: 10.3389/fpsyg.2019.01038. - [DOI⁴⁰²](#) - [PMC⁴⁰³](#) - [PubMed⁴⁰⁴](#)
- Karkkainen M., Mitsui J. The Effects of Sound Based Vibration Treatment on the Human Mind and Body the Physioacoustic Method. *J. Int. Soc. Life Inf. Sci.* 2006;24:155–164. doi: 10.18936/islis.24.1_155. - [DOI⁴⁰⁵](#)
- Jirakittayakorn N., Wongsawat Y. Brain Responses to 40-Hz Binaural Beat and Effects on Emotion and Memory. *Int. J. Psychophysiol.* 2017;120:96–107. doi: 10.1016/j.jpsycho.2017.07.010. - [DOI⁴⁰⁶](#) - [PubMed⁴⁰⁷](#)
- Fooks C., Niebuhr O. Assessing Vibroacoustic Sound Massage Through The Biosignal of Human Speech: Evidence of Improved Wellbeing: Proceedings of the IEEE International Conference on Acoustics, Speech and Signal Processing (ICASSP); Seoul, Republic of Korea. 14–19 April 2024; pp. 11401–11405.
- Gitler, A., Vanacker, L., De Couck, M., De Leeuw, I., & Gidron, Y. (2022). Neuromodulation Applied to Diseases: The Case of HRV Biofeedback. *Journal of clinical medicine*, 11 (19), 5927. [Crossref⁴⁰⁸](#)
- Zhu, J., Ji, L., & Liu, C. (2019). Heart rate variability monitoring for emotion and disorders of emotion. *Physiological measurement*, 40 (6), 064004. [Crossref⁴⁰⁹](#)
379. <http://www.ncbi.nlm.nih.gov/pmc/articles/pmc4311559/>
380. <https://pubmed.ncbi.nlm.nih.gov/25694852/>
381. <https://doi.org/10.1016/j.ijcard.2009.09.543>
382. <https://pubmed.ncbi.nlm.nih.gov/19910061/>
383. <https://doi.org/10.2174/1573403X1699201231203854>
384. <https://doi.org/10.1016/j.mehy.2020.109574>
385. <https://doi.org/10.1016/j.jpsycho.2023.08.001>
386. <https://doi.org/10.3390/jcm7110404>
387. <https://www.ncbi.nlm.nih.gov/pmc/articles/pmc6262541/>
388. <https://pubmed.ncbi.nlm.nih.gov/30384420/>
389. <https://doi.org/10.36740/wlek202111130>
390. <https://pubmed.ncbi.nlm.nih.gov/35023505/>
391. <https://doi.org/10.3389/fpsyg.2022.927705>
392. <https://www.ncbi.nlm.nih.gov/pmc/articles/pmc9558284/>
393. <https://pubmed.ncbi.nlm.nih.gov/36248548/>
394. <https://doi.org/10.3389/fpsyg.2018.00044>
395. <https://www.ncbi.nlm.nih.gov/pmc/articles/pmc5859128/>
396. <https://pubmed.ncbi.nlm.nih.gov/29593576/>
397. <https://doi.org/10.3389/fpsyg.2017.00213>
398. <https://www.ncbi.nlm.nih.gov/pmc/articles/pmc5316555/>
399. <https://pubmed.ncbi.nlm.nih.gov/28265249/>
400. <https://doi.org/10.1093/mt/p/9.1.32>
401. <https://doi.org/10.15845/voices.v19i2.2556>
402. <https://doi.org/10.3389/fpsyg.2019.01038>
403. <https://www.ncbi.nlm.nih.gov/pmc/articles/pmc6517496/>
404. <https://pubmed.ncbi.nlm.nih.gov/31133945/>
405. https://doi.org/10.18936/islis.24.1_155
406. <https://doi.org/10.1016/j.jpsycho.2017.07.010>
407. <https://pubmed.ncbi.nlm.nih.gov/28739482/>
408. <https://doi.org/10.3390/jcm11195927>
409. <https://doi.org/10.1088/1361-6579/ab1887>

- Nunan, D., Sanderoock, G. R., & Brodie, D. A. (2010). A quantitative systematic review of normal values for short-term heart rate variability in healthy adults. *Pacing and clinical electrophysiology* : *PACE* , 33 (11), 1407–1417. [Crossref⁴¹⁰](#)
- Qu, X., Wu, Y., Liu, J., & Cui, L. (2020). HRV-Spark: Computing Heart Rate Variability Measures Using Apache Spark. *Proceedings. IEEE International Conference on Bioinformatics and Biomedicine , 2020* , 10.1109/bibm49941.2020.9313361. [Crossref⁴¹¹](#)
- Rahul, L. R., Sarkar, R., Sengupta, A., Chandra, B. S., & Jana, S. (2023). Novel AI-based HRV analysis (NAIHA) in healthcare automation and related applications. *Journal of electrocardiology* , 79 , 112–121. [Crossref⁴¹²](#)
- Taoum, A., Bisiaux, A., Tilquin, F., Le Guillou, Y., & Carrault, G. (2022). Validity of Ultra-Short-Term HRV Analysis Using PPG-A Preliminary Study. *Sensors (Basel, Switzerland)* , 22 (20), 7995. [Crossref⁴¹³](#)
- Ortega, E., Bryan, C. Y. X., & Christine, N. S. C. (2024). The Pulse of Singapore: Short-Term HRV Norms. *Applied psychophysiology and biofeedback* , 49 (1), 55–61. [Crossref⁴¹⁴](#)
- Vondrasek, J. D., Riemann, B. L., Grosicki, G. J., & Flatt, A. A. (2023). Validity and Efficacy of the Elite HRV Smartphone Application during Slow-Paced Breathing. *Sensors (Basel, Switzerland)* , 23 (23), 9496. [Crossref⁴¹⁵](#)
- Malik, M., Bigger J.T., Camm A.J., Kleiger R.E., Malliani A., Moss A.J., Schwartz P.J. Heart rate variability: Standards of measurement, physiological interpretation, and clinical use. *Eur. Heart J.* 1996;17:354–381. doi: 10.1093/oxfordjournals.eurheartj.a014868. - [DOI⁴¹⁶](#) - [PubMed⁴¹⁷](#)
- Shaffer F., McCraty R., Zerr C.L. A healthy heart is not a metronome: An integrative review of the heart's anatomy and heart rate variability. *Front. Psychol.* 2014;5:1040. doi: 10.3389/fpsyg.2014.01040. - [DOI⁴¹⁸](#) - [PMC⁴¹⁹](#) - [PubMed⁴²⁰](#)
- Grosicki G.J., Culver M.N., McMillan N.K., Cross B.L., Montoye A.H.K., Riemann B.L., Flatt A.A. Self-recorded heart rate variability profiles are associated with health and lifestyle markers in young adults. *Clin. Auton. Res.* 2022;32:507–518. doi: 10.1007/s10286-022-00884-z. - [DOI⁴²¹](#) - [PubMed⁴²²](#)
- Natarajan A., Pantelopoulos A., Emir-Farinas H., Natarajan P. Heart rate variability with photoplethysmography in 8 million individuals: A cross-sectional study. *Lancet Digit. Health.* 2020;2:e650–e657. doi: 10.1016/S2589-7500(20)30246-6. - [DOI⁴²³](#) - [PubMed⁴²⁴](#)
- Talbert, L. D., Kaelberer, Z., Gleave, E., Driggs, A., Driggs, A. S., Steffen, P. R., Baldwin, S. A., & Larson, M. J. (2023). A systematic review of heart rate variability (HRV) biofeedback treatment following traumatic brain injury (TBI). *Brain injury* , 37 (7), 635–642. [Crossref⁴²⁵](#)
- Jeyhani, V., Mahdiani, S., Peltokangas, M., & Vehkaoja, A. (2015). Comparison of HRV parameters derived from photoplethysmography and electrocardiography signals. *Annual International Conference of the IEEE Engineering in Medicine and Biology Society. IEEE Engineering in Medicine and Biology Society. Annual International Conference , 2015* , 5952–5955. [Crossref⁴²⁶](#)
- Brennan, M., Palaniswami, M., & Kamen, P. (2002). Poincaré plot interpretation using a physiological model of HRV based on a network of oscillators. *American journal of physiology: Heart and circulatory physiology* , 283 (5), H1873–H1886. [Crossref⁴²⁷](#)
- Ken Umetani MD A B C, Donald H Singer MD, FACC A B, Rollin McCraty MS C, Mike Atkinson C, Twenty-Four Hour Time Domain Heart Rate Variability and Heart Rate: Relations to Age and Gender Over Nine Decades. [DOI⁴²⁸](#) , [ScienceDirect⁴²⁹](#)
- Liberman N, Trope Y. The psychology of transcending the here and now. *Science.* 2008;322(5905):1201–5. doi: 10.1126/science.1161958. - [DOI⁴³⁴](#) - [PMC⁴³⁵](#) - [PubMed⁴³⁶](#)
- Ahani A, Wabbeh H, Nezamfar H, Miller M, Erdogmus D, Oken B. Quantitative change of EEG and respiration signals during mindfulness meditation. *J Neuroeng Rehabil.* 2014;11(1):1. doi: 10.1186/1743-0003-11-87. - [DOI⁴³⁷](#) - [PMC⁴³⁸](#) - [PubMed⁴³⁹](#)
- Ahani A, Wabbeh H, Miller M, Nezamfar H, Erdogmus D, Oken B. Change in physiological signals during mindfulness meditation. *Int IEEE EMBS Conf Neural Eng.* 2013;1378–81. - [PMC⁴⁴⁰](#) - [PubMed⁴⁴¹](#)
- Stapleton P, Dispenza J, McGill S, Sabot D, Peach M, Raynor D. Large effects of brief meditation intervention on EEG spectra in meditation novices. *IBRO Rep.* 2020;1(9):290–301. doi: 10.1016/j.ibro.2020.10.006. - [DOI⁴⁴²](#) - [PMC⁴⁴³](#) - [PubMed⁴⁴⁴](#)
- Travis F, Haaga DAF, Hagelin J, Tanner M, Nidich S, Gaylord-King C, et al. Effects of Transcendental Meditation practice on brain functioning and stress reactivity in college students. *Int J Psychophysiol.* 2009;71(2):170–176. doi: 10.1016/j.ijpsycho.2008.09.007. - [DOI⁴⁴⁵](#) - [PubMed⁴⁴⁶](#)
- Phongsuphap S, Pongsupap Y, Chandanamatha P, Lursinsap C. Changes in heart rate variability during concentration meditation. *Int J Cardiol.* 2008;130(3):481–484. doi: 10.1016/j.ijcard.2007.06.103. - [DOI⁴⁴⁷](#) - [PubMed⁴⁴⁸](#)
- Nesvold A, Fagerland MW, Davanger S, Ellingsen Ø, Solberg EE, Holen A, et al. Increased heart rate variability during nondirective meditation. *Eur J Prev Cardiol.* 2012;19(4):773–80. doi: 10.1177/1741826711414625. - [DOI⁴⁴⁹](#) - [PubMed⁴⁵⁰](#)
- Léonard A, Clément S, Kuo CD, Manto M. Changes in heart rate variability during heartfulness meditation: a power spectral analysis including the residual spectrum. *Front Cardiovasc Med.* 2019;14(6):62. doi: 10.3389/fcvm.2019.00062. - [DOI⁴⁵¹](#) - [PMC⁴⁵²](#) - [PubMed⁴⁵³](#)
- Pasquini HA, Tanaka GK, Basile LFH, Velasques B, Lozano MD, Ribeiro P. Electrophysiological correlates of long-term Soto Zen meditation. *Biomed Res Int.* 2015;2015:598496. doi: 10.1155/2015/598496. - [DOI⁴⁵⁴](#) - [PMC⁴⁵⁵](#) - [PubMed⁴⁵⁶](#)
- Cipresso P, Serino S, Borghesi F, Tartarisco G, Riva G, Pioggia G, et al. Continuous measurement of stress levels in naturalistic settings using heart rate variability: an experience-sampling study driving a machine learning approach. *Acta IMEKO.* 2021;10(4):239. doi: 10.21014/acta_imeko.v10i4.1183. - [DOI⁴⁵⁷](#)
- Berntson GG, Thomas Bigger J, Eckberg DL, Grossman P, Kaufmann PG, Malik M, et al. Heart rate variability: origins, methods, and interpretive caveats. *Psychophysiology.* 1997;34(6):623–648. doi: 10.1111/j.1469-8986.1997.tb02140.x. - [DOI⁴⁵⁸](#) - [PubMed⁴⁵⁹](#)
- Acharya UR, Joseph KP, Kannathal N, Lim CM, Suri JS. Heart rate variability: a review. *Med Biol Eng Comput.* 2006;44(12):1031–1051. doi: 10.1007/s11517-006-0119-0. - [DOI⁴⁶⁰](#) - [PubMed⁴⁶¹](#)
- Fell J, Axmacher N, Haupt S. From alpha to gamma: Electrophysiological correlates of meditation-related states of consciousness. *Med Hypotheses.* 2010;75(2):218–224. doi: 10.1016/j.mehy.2010.02.025. - [DOI⁴⁶²](#) - [PubMed⁴⁶³](#)
- Rodriguez-Larios J, Faber P, Achermann P, Tei S, Alaerts K. From thoughtless awareness to effortful cognition: alpha - theta cross-frequency dynamics in experienced meditators during meditation, rest and arithmetic. *Sci Rep.* 2020;10(1):1–11. doi: 10.1038/s41598-020-62392-2. - [DOI⁴⁶⁴](#) - [PMC⁴⁶⁵](#) - [PubMed⁴⁶⁶](#)
- Cahn BR, Delorme A, Polich J. Occipital gamma activation during Vipassana meditation. *Cogn Process.* 2010;11(1):39–56. doi: 10.1007/s10339-009-0352-1. - [DOI⁴⁶⁷](#) - [PMC⁴⁶⁸](#) - [PubMed⁴⁶⁹](#)
- Borghesi F, Chirico A, Pedroli E, Cipriani GE, Canessa N, Amanzio M, et al. Exploring Biomarkers of mental flexibility in healthy aging: a computational psychometric study. *Sensors (Basel)* 2023;23(15):6983. doi: 10.3390/s23156983. - [DOI⁴⁷⁰](#) - [PMC⁴⁷¹](#) - [PubMed⁴⁷²](#)
433. <https://pubmed.ncbi.nlm.nih.gov/20167507/>
434. <https://doi.org/10.1126/science.1161958>
435. <https://www.ncbi.nlm.nih.gov/pmc/articles/pmc2643344/>
436. <https://pubmed.ncbi.nlm.nih.gov/19023074/>
437. <https://doi.org/10.1186/1743-0003-11-87>
438. <https://www.ncbi.nlm.nih.gov/pmc/articles/pmc4060143/>
439. <https://pubmed.ncbi.nlm.nih.gov/24939519/>
440. <https://www.ncbi.nlm.nih.gov/pmc/articles/pmc3988787/>
441. <https://pubmed.ncbi.nlm.nih.gov/24748422/>
442. <https://doi.org/10.1016/j.ibro.2020.10.006>
443. <https://www.ncbi.nlm.nih.gov/pmc/articles/pmc7649620/>
444. <https://pubmed.ncbi.nlm.nih.gov/33204893/>
445. <https://doi.org/10.1016/j.ijpsycho.2008.09.007>
446. <https://pubmed.ncbi.nlm.nih.gov/18854202/>
447. <https://doi.org/10.1016/j.ijcard.2007.06.103>
448. <https://pubmed.ncbi.nlm.nih.gov/17764770/>
449. <https://doi.org/10.1177/1741826711414625>
450. <https://pubmed.ncbi.nlm.nih.gov/21693507/>
451. <https://doi.org/10.3389/fcvm.2019.00062>
452. <https://www.ncbi.nlm.nih.gov/pmc/articles/pmc6527777/>
453. <https://pubmed.ncbi.nlm.nih.gov/31139634/>
454. <https://doi.org/10.1155/2015/598496>
455. <https://www.ncbi.nlm.nih.gov/pmc/articles/pmc4302970/>
456. <https://pubmed.ncbi.nlm.nih.gov/25632397/>
457. https://doi.org/10.21014/acta_imeko.v10i4.1183
458. <https://doi.org/10.1111/j.1469-8986.1997.tb02140.x>
459. <https://pubmed.ncbi.nlm.nih.gov/9401419/>
460. <https://doi.org/10.1007/s11517-006-0119-0>
461. <https://pubmed.ncbi.nlm.nih.gov/1711118/>
462. <https://doi.org/10.1016/j.mehy.2010.02.025>
463. <https://pubmed.ncbi.nlm.nih.gov/20227193/>
464. <https://doi.org/10.1038/s41598-020-62392-2>
465. <https://www.ncbi.nlm.nih.gov/pmc/articles/pmc7096392/>
466. <https://pubmed.ncbi.nlm.nih.gov/32214173/>
467. <https://doi.org/10.1007/s10339-009-0352-1>
468. <https://www.ncbi.nlm.nih.gov/pmc/articles/pmc2812711/>
469. <https://pubmed.ncbi.nlm.nih.gov/20013298/>
470. <https://doi.org/10.3390/s23156983>
471. <https://www.ncbi.nlm.nih.gov/pmc/articles/pmc10422551/>
472. <https://pubmed.ncbi.nlm.nih.gov/37371766/>

身心

- Borghesi, F., Cremascoli, R., Chirico, A., Bianchi, L., Di Moia, A., Priano, L., Piedimonte A., Mauro, A., & Cipresso, P. (2024). Mind and body connection in expert meditators: computational study based on central and peripheral nervous system. *BMC complementary medicine and therapies* , 24 (1), 117. [Crossref⁴³⁰](#)
- Brandmeyer T, Delorme A, Wabbeh H. The neuroscience of meditation: classification, phenomenology, correlates, and mechanisms. *Prog Brain Res.* 2019;1(244):1–29. [PubMed⁴³¹](#)
- Travis F, Shear J. Focused attention, open monitoring and automatic self-transcending categories to organize meditations from Vedic, Buddhist Chinese Traditions. *Conscious Cogn.* 2010;19(4):1110–1118. doi: 10.1016/j.concog.2010.01.007. - [DOI⁴³²](#) - [PubMed⁴³³](#)
410. <https://doi.org/10.1111/j.1540-8159.2010.02841.x>
411. <https://doi.org/10.1109/bibm49941.2020.9313361>
412. <https://doi.org/10.1016/j.jelectrocard.2023.03.013>
413. <https://doi.org/10.3390/s22207995>
414. <https://doi.org/10.1007/s10484-023-09603-4>
415. <https://doi.org/10.3390/s23239496>
416. <https://doi.org/10.1093/oxfordjournals.eurheartj.a014868>
417. <https://pubmed.ncbi.nlm.nih.gov/8737210/>
418. <https://doi.org/10.3389/fpsyg.2014.01040>
419. <http://www.ncbi.nlm.nih.gov/pmc/articles/pmc4179748/>
420. <https://pubmed.ncbi.nlm.nih.gov/25324790/>
421. <https://doi.org/10.1007/s10286-022-00884-z>
422. <https://pubmed.ncbi.nlm.nih.gov/35999422/>
423. [https://doi.org/10.1016/s2589-7500\(20\)30246-6](https://doi.org/10.1016/s2589-7500(20)30246-6)
424. <https://pubmed.ncbi.nlm.nih.gov/33328029/>
425. <https://doi.org/10.1080/02699052.2023.2208880>
426. <https://doi.org/10.1109/EMBC.2015.7139747>
427. <https://doi.org/10.1152/ajpheart.00405.2000>
428. [https://doi.org/10.1016/S0735-1097\(97\)00554-8](https://doi.org/10.1016/S0735-1097(97)00554-8)
429. <https://www.sciencedirect.com/science/article/pii/S0735109797005548>
430. <https://doi.org/10.1186/s12906-024-04413-5>
431. <https://pubmed.ncbi.nlm.nih.gov/30732832/>
432. <https://doi.org/10.1016/j.concog.2010.01.007>

- Fang, S., & Zhang, W. (2024). Heart-Brain Axis: A Narrative Review of the Interaction between Depression and Arrhythmia. *Biomedicines*, 12 (8), 1719. [Crossref⁴⁷³](#)
- Gullett N., Zajkowska Z., Walsh A., Harper R., Mondelli V. Heart rate variability (HRV) as a way to understand associations between the autonomic nervous system (ANS) and affective states: A critical review of the literature. *Int. J. Psychophysiol.* 2023;192:35–42. doi: 10.1016/j.jpsycho.2023.08.001. - [DOI⁴⁷⁴](#) - [PubMed⁴⁷⁵](#)
- Bassett D. A literature review of heart rate variability in depressive and bipolar disorders. *Aust. New Zealand J. Psychiatry.* 2015;50:511–519. doi: 10.1177/0004867415622689. - [DOI⁴⁷⁶](#) - [PubMed⁴⁷⁷](#)
- Zhu J., Ji L., Liu C. Heart rate variability monitoring for emotion and disorders of emotion. *Physiol. Meas.* 2019;40:064004. doi: 10.1088/1361-6579/ab1887. - [DOI⁴⁷⁸](#) - [PubMed⁴⁷⁹](#)
- Chalmers J.A., Quintana D.S., Abbott M.J., Kemp A.H. Anxiety Disorders are Associated with Reduced Heart Rate Variability: A Meta-Analysis. *Front. Psychiatry.* 2014;5:80. doi: 10.3389/fpsy.2014.00080. - [DOI⁴⁸⁰](#) - [PMC⁴⁸¹](#) - [PubMed⁴⁸²](#)
- Chang H.A., Chang C.C., Chen C.L., Kuo T.B., Lu R.B., Huang S.Y. Major depression is associated with cardiac autonomic dysregulation. *Acta Neuropsychiatr.* 2012;24:318–327. doi: 10.1111/j.1601-5215.2011.00647.x. - [DOI⁴⁸³](#) - [PubMed⁴⁸⁴](#)
- Burke J.H., Goldberger J.J., Ehlert F.A., Kruse J.T., Parker M.A., Kadish A.H. Gender differences in heart rate before and after autonomic blockade: Evidence against an intrinsic gender effect. *Am. J. Med.* 1996;100:537–543. doi: 10.1016/S0002-9343(96)00018-6. - [DOI⁴⁸⁵](#) - [PubMed⁴⁸⁶](#)
- Kittnar O. Sex Related Differences in Electrocardiography. *Physiol. Res.* 2023;72:S127–S135. doi: 10.33549/physiolres.934952. - [DOI⁴⁸⁷](#) - [PMC⁴⁸⁸](#) - [PubMed⁴⁸⁹](#)
- Kotov R., Gamez W., Schmidt F., Watson D. Linking “big” personality traits to anxiety, depressive, and substance use disorders: A meta-analysis. *Psychol. Bull.* 2010;136:768–821. doi: 10.1037/a0020327. - [DOI⁴⁹⁰](#) - [PubMed⁴⁹¹](#)
- Godin P.J., Buchman T.G. Uncoupling of biological oscillators: A complementary hypothesis concerning the pathogenesis of multiple organ dysfunction syndrome. *Crit. Care Med.* 1996;24:1107–1116. doi: 10.1097/00003246-199607000-00008. - [DOI⁴⁹²](#) - [PubMed⁴⁹³](#)
- Wang, L., Hao, J., & Zhou, T. H. (2023). ECG Multi-Emotion Recognition Based on Heart Rate Variability Signal Features Mining. *Sensors (Basel, Switzerland)*, 23 (20), 8636. [Crossref⁴⁹⁴](#)
- Cai Y., Li X., Li J. Emotion Recognition Using Different Sensors, Emotion Models, Methods and Datasets: A Comprehensive Review. *Sensors.* 2023;23:2455. doi: 10.3390/s23052455. - [DOI⁴⁹⁵](#) - [PMC⁴⁹⁶](#) - [PubMed⁴⁹⁷](#)
- Xiefeng, C., Wang, Y., Dai, S., Zhao, P., & Liu, Q. (2019). Heart sound signals can be used for emotion recognition. *Scientific reports*, 9 (1), 6486. [Crossref⁴⁹⁸](#)
- Hasnul, M. A., Ab Aziz, N. A., & Abd Aziz, A. (2023). Augmenting ECG Data with Multiple Filters for a Better Emotion Recognition System. *Arabian journal for science and engineering*, 1–22. Advance online publication. [Crossref⁴⁹⁹](#)
- Hasnul, M. A., Aziz, N. A. A., Alelyani, S., Mohana, M., & Aziz, A. A. (2021). Electrocardiogram-Based Emotion Recognition Systems and Their Applications in Healthcare-A Review. *Sensors (Basel, Switzerland)*, 21 (15), 5015. [Crossref⁵⁰⁰](#)
- Li, Y., Tan, R., Lin, T., Liu, Q., Wang, C. D., & Chen, M. (2024). ER-GET: Emotion Recognition Based on Global ECG Trajectory. *IEEE journal of biomedical and health informatics*, 28 (9), 5201–5213. [Crossref⁵⁰¹](#)
- Woods, R. A., & Hill, P. B. (2022). Myers Brigg. In *StatPearls*. StatPearls Publishing. [PubMed⁵⁰²](#)
- Wallick, M. M., & Cambre, K. M. (1999). Personality types in academic medicine. *The Journal of the Louisiana State Medical Society : official organ of the Louisiana State Medical Society*, 151 (7), 378–383. [PubMed⁵⁰³](#)
- Tobacyk, J. J., Livingston, M. M., & Robbins, J. E. (2008). Relationships between Myers-Briggs type indicator measure of psychological type and neo measure of big five personality factors in Polish University students: a preliminary cross-cultural comparison. *Psychological reports*, 103 (2), 588–590. [Crossref⁵⁰⁴](#)
- Eicke, F. J., Blake, G., & Replogle, W. (1993). A comparative view of the Myers-Briggs type indicator. *Family medicine*, 25 (3), 186–190. [PubMed⁵⁰⁵](#)
- Ranganathan VK, Siemionow V, Liu JZ, Sahgal V, Yue GH. From mental power to muscle power—gaining strength by using the mind. *Neuropsychologia.* 2004;42(7):944-56. doi: 10.1016/j.neuropsychologia.2003.11.018. PMID: 14998709. [PubMed⁵⁰⁶](#)

Electromagnetism

- Blank, Martin; Goodman, Reba . (2011). DNA is a fractal antenna in electromagnetic fields. *International Journal of Radiation Biology*, 87(4), 409–415. [Crossref⁵⁰⁷](#)
- Cantero, M.d.R., Villa Etchegoyen, C., Perez, P.L. et al. Bundles of Brain Microtubules Generate Electrical Oscillations. *Sci Rep* 8, 11899 (2018). [Crossref⁵⁰⁸](#)
- Gutierrez, B.C., Cantiello, H.F. & Cantero, M. The electrical properties of isolated microtubules. *Sci Rep* 13, 10165 (2023). [Crossref⁵⁰⁹](#)
- Meijer, Dirk. (2018). Processes of Science and Art Modeled as a Holoflux of Information Using Toroidal Geometry. *Open Journal of Philosophy*. 8. 365-400. [10.4236/ojpp.2018.84026⁵¹⁰](#)
- Kuman, Maria. (2018). Our Weak Nonlinear Electromagnetic Field (Nemf) that Rules Everything in the Body is Emotionally Sensitive. *Journal of Complementary Medicine & Alternative Healthcare*. 8. [10.19080/JCMAH.2018.08.555731⁵¹¹](#).
- Leonova-Gariaeva, & Gariaev, Peter & Friedman, Mark & Leonova-Gariaeva, Ekaterina. (2011). Principles of Linguistic-Wave Genetics. *DNA Decipher Journal*. 1. [ResearchGate⁵¹²](#)
- GuangJun Zhang and Michael Levin (2025) Bioelectricity is a universal multifaced signaling cue in living organisms. [10.1091/mbc.E23-08-0312⁵¹³](#)
- Angelo Esposito, Rafael Krichevsky, and Alberto Nicolis (2019) Gravitational Mass Carried by Sound Waves [Crossref⁵¹⁴](#)

473. <https://doi.org/10.3390/biomedicines12081719>
 474. <https://doi.org/10.1016/j.jpsycho.2023.08.001>
 475. <https://pubmed.ncbi.nlm.nih.gov/375432289/>
 476. <https://doi.org/10.1177/0004867415622689>
 477. <https://pubmed.ncbi.nlm.nih.gov/26698824/>
 478. <https://doi.org/10.1088/1361-6579/ab1887>
 479. <https://pubmed.ncbi.nlm.nih.gov/309744228/>
 480. <https://doi.org/10.3389/fpsy.2014.00080>
 481. <http://www.ncbi.nlm.nih.gov/pmc/articles/pmc4092363/>
 482. <https://pubmed.ncbi.nlm.nih.gov/25071612/>
 483. <https://doi.org/10.1111/j.1601-5215.2011.00647.x>
 484. <https://pubmed.ncbi.nlm.nih.gov/25287173/>
 485. [https://doi.org/10.1016/s0002-9343\(96\)00018-6](https://doi.org/10.1016/s0002-9343(96)00018-6)
 486. <https://pubmed.ncbi.nlm.nih.gov/8644766/>
 487. <https://doi.org/10.33549/physiolres.934952>
 488. <http://www.ncbi.nlm.nih.gov/pmc/articles/pmc10660582/>
 489. <https://pubmed.ncbi.nlm.nih.gov/37565417/>
 490. <https://doi.org/10.1037/a0020327>
 491. <https://pubmed.ncbi.nlm.nih.gov/20804236/>
 492. <https://doi.org/10.1097/00003246-199607000-00008>
 493. <https://pubmed.ncbi.nlm.nih.gov/8674321/>
 494. <https://doi.org/10.3390/s23020836>
 495. <https://doi.org/10.3390/s23052455>
 496. <http://www.ncbi.nlm.nih.gov/pmc/articles/pmc10007272/>
 497. <https://pubmed.ncbi.nlm.nih.gov/36904659/>
 498. <https://doi.org/10.1038/s41598-019-42826-2>
 499. <https://doi.org/10.1007/s13369-022-07585-9>

500. <https://doi.org/10.3390/s21155015>
 501. <https://doi.org/10.1109/JBHI.2024.3403188>
 502. <https://pubmed.ncbi.nlm.nih.gov/32119483/>
 503. <https://pubmed.ncbi.nlm.nih.gov/10474985/>
 504. <https://doi.org/10.2466/prt.103.2.588-590>
 505. <https://pubmed.ncbi.nlm.nih.gov/8458560/>
 506. <https://pubmed.ncbi.nlm.nih.gov/14998709/>
 507. <https://doi.org/10.3109/09553002.2011.538130>
 508. <https://doi.org/10.1038/s41598-018-30453-2>
 509. <https://doi.org/10.1038/s41598-023-36801-1>
 510. <https://www.researchgate.net/publication/326972894>
 511. <https://www.researchgate.net/publication/330217977>
 512. <https://www.researchgate.net/publication/228926241>
 513. <https://www.molbiolcell.org/doi/full/10.1091/mbc.E23-08-0312>
 514. <https://doi.org/10.1103/PhysRevLett.122.084501>

附录 3.

参考文献

1. **"Prology: 实现你的生命计划 - 第 1 书: 疾病、疗愈、转化: 资源之路"** 由 Christine Degoy
一本创新指南, 通过系统的方法重新探索健康与福祉, 使你能够重新定义自己的存在, 并获得对生命计划更深刻的理解。本书为你提供了培养内在沟通、转变现实感知和充分体现存在理由所需的工具。
2. **"Prology: 重新发现生命的意义 - 第 2 书: 身体中的生命计划: 理解、解锁、转化"** 由 Christine Degoy
深入探索器官解码, 发现你身体的每个部分如何反映你存在的更深层面。本书探讨了你的生活经历与身体健康之间的联系, 提供理解、解锁和转化能量阻滞的钥匙。通过关注内在资源和隐藏潜能, 本书邀请你通过整体视角来拥抱你的生命计划, 使你能够协调身体与心灵, 过上完全充实的生活。

能量与电医学

3. **"电的身体: 电磁学与生命的基础"** 由罗伯特·贝克和加里·塞尔登
这本开创性的书籍探讨了人体的电磁场及其对疗愈、能量流动和健康的深远影响。贝克对生物电的研究为理解身体能量系统背后的科学提供了重要见解。
4. **"机器中的火花: 针灸科学如何解释西方医学的奥秘"** 由丹尼尔·基翁博士
基翁博士的工作架起了西方医学科学与古老针灸实践之间的桥梁, 提供了关于能量如何在身体中流动以及如何利用它进行疗愈的综合解释。
5. **"能量医学: 科学基础"** 由詹姆斯·L·奥施曼
这本书深入探讨了能量医学背后的科学, 提供了电磁场、经络和其他能量系统如何影响健康的证据。奥施曼借鉴物理学和生物学, 以补充传统与替代疗愈实践的方式解释身体的能量系统。
6. **"振动医学: 微妙能量疗法的第一手册"** 由理查德·格伯
格伯的经典著作是理解微妙能量医学领域的重要资源。它提供了对能量场、脉轮及其如何通过振动疗法治愈身体和心灵的详细概述。
7. **"交叉电流: 电污染的危险与电医学的承诺"** 由罗伯特·O·贝克
贝克对电的身体的后续研究, 这本书探讨了现代电气技术对健康的影响, 同时也探讨了电磁疗法如何有助于疗愈。
8. **"信念的生物学: 释放意识、物质与奇迹的力量"** 由布鲁斯·H·利普顿
这本书深入探讨了生物学与信念的交汇点, 展示了心灵如何在细胞层面影响身体。利普顿解释了能量场和意识如何影响生物过程。
9. **"场: 宇宙秘密力量的探索"** 由林恩·麦克塔格特
麦克塔格特探索了关于零点场的前沿科学, 零点场是连接所有物质的普遍能量场。这本书提供了有关生命的能量本质的见解, 以及我们如何利用这种能量进行疗愈。
10. **"疗愈即电压: 手册"** 由杰瑞·特南特
特南特博士解释了身体中的电压, 特别是在细胞层面, 如何对健康至关重要。他提供了保持适当电位对疗愈和健康的重要性的全面观点。

现代灵性

11. **"我的大 TOE (万物理论)"** 作者: 托马斯·坎贝尔
这是一本全面的三部曲, 探讨现实、意识的本质以及物质与超物质之间的联系。坎贝尔是一位物理学家和意识研究者, 他将科学与灵性结合, 提出一个支持冥想、改变意识状态及对宇宙能量理解的存在模型。
12. **"照亮心灵: 结合佛教智慧和脑科学的完整冥想指南, 以提高正念"** 作者: 约翰·耶茨 (Culadasa)
Culadasa 的指南是对冥想实践的全面、逐步的解释, 根植于古老的佛教教义和当代神经科学之间的桥梁。它弥合了传统冥想技巧与现代科学对大脑理解之间的差距。
13. **"改变的特质: 科学揭示冥想如何改变你的心智、大脑和身体"** 作者: 丹尼尔·戈尔曼和理查德·J·戴维森
这本书深入研究冥想的科学研究, 探讨其对大脑和身体的深远影响。戈尔曼和戴维森借鉴数十年的研究, 解释冥想如何导致持久的心理和生理变化。
14. **"觉醒: 没有宗教的灵性指南"** 作者: 萨姆·哈里斯
萨姆·哈里斯是一位神经科学家和哲学家, 他提出了一种理性的灵性和冥想方法, 基于科学和个人经验。他的书特别关注冥想如何导致对意识的深刻感知和理解的转变, 而无需宗教框架。
15. **"当下的力量: 灵性启蒙指南"** 作者: 埃克哈特·托勒
托勒的广受欢迎的书籍强调正念和保持当下的重要性。他的教导提供了有关如何更充分和有意识地生活的实用见解, 这与《唱出身体的电流》中讨论的能量和心理健康方面相一致。
16. **"真实魔法: 古老智慧、现代科学与宇宙秘密力量的指南"** 作者: 迪恩·拉丁
拉丁是超心理学领域的领先研究者, 探索心灵感应、预知和心灵遥控等现象的科学证据, 揭示意识、能量与现实更广泛结构之间的联系。这本书为理解物质之外的其他现实提供了基础。
17. **"意识的物理学: 量子心智与生命的意义"** 作者: 埃文·哈里斯·沃克
这本书深入探讨了量子物理学及其与意识的关系。沃克探讨了观察者在量子力学中的作用, 并提出了意识是宇宙的基本理论, 有助于对能量和存在的更广泛理解。
18. **"秘密教义"** 作者: H.P. 布拉瓦茨基
这部神智学的基础文本探讨了宇宙、意识和灵性进化的本质。
19. **"永恒的哲学"** 作者: 阿道斯·赫胥黎
赫胥黎考察了各种宗教中灵性的共同线索, 强调普遍真理。
20. **"人类命运"** 作者: 皮埃尔·勒孔特·杜诺伊
这本书探讨科学、哲学和宗教的交叉, 主张人类进化是由神圣目的引导的观点。它讨论了人类的灵性潜力以及伴随人类意识而来的道德责任。
21. **"通往理性的道路"** 作者: 皮埃尔·勒孔特·杜诺伊
在这部哲学著作中, 勒孔特·杜诺伊讨论了理性和科学思想在理解宇宙中的重要性。他还深入探讨了科学进步如何应与道德和灵性发展相结合。

数字信号处理

22. 《理解数字信号处理》作者: Richard G. Lyons
本书为数字信号处理 (DSP) 提供了清晰易懂的入门介绍, 使复杂概念即使对于初学者也能理解。它以实用和易于遵循的方式涵盖了过滤、傅里叶分析和采样理论等主题, 特别适合对音频分析信号处理基础感兴趣的人。
23. 《科学家和工程师的数字信号处理指南》作者: Steven W. Smith
一本流行的易读书籍, 通过实际示例和应用介绍DSP概念。这是一个免费的在线资源, 解释信号处理的工作原理, 提供逐步指南和真实世界的例子, 使其对初学者尤其是对音频和音乐信号分析感兴趣的人高度可及。
24. 《数字音频信号处理》作者: Udo Zölzer
本书介绍了数字音频信号处理的原理和应用, 重点关注数字滤波器、音频效果和时频分析等领域。尽管技术性较强, 但材料以易于接近的方式呈现, 适合具有基本DSP知识的读者。
25. 《音频内容分析导论: 信号处理和音乐信息学中的应用》作者: Alexander Lerch
本书对那些对音频和音乐信号处理感兴趣的人特别有用。它介绍了使用信号处理算法分析音频内容 (如音乐结构、节奏和和声) 的技术。该书对学生和专业人士都具有实用性和可接近性。
26. 《在C语言中设计音频效果插件: 结合数字音频信号处理理论》作者: Will Pirkle
对于想深入了解音频信号处理应用的人来说, 这本书是一个用户友好的介绍, 讲解如何使用C语言编码和设计音频效果。它非常适合希望理解DSP如何应用于创建实时音频效果的初学者。

荣格与无意识

27. "回忆、梦境、反思" 作者: 卡尔·荣格
这本半自传体作品涵盖了荣格的生活和关键思想, 包括他对集体无意识、原型和阴影等概念的发展的个人见解。它提供了对他心理理论的个人洞见。
28. "原型与集体无意识" 作者: 卡尔·荣格
这本书是荣格心理学的核心文本, 他在其中阐述了他对无意识思想的理论, 特别是集体无意识及其原型图像。这是理解荣格关于人格和心灵思想的基础读物。
29. "心理类型" 作者: 卡尔·荣格
在这部作品中, 荣格介绍了他的心理类型理论, 这一理论后来影响了迈尔斯-布里格斯类型指标 (MBTI) 的发展。他讨论了内向与外向的二元性, 以及其他塑造人格的心理功能。
30. "人及其符号" 作者: 卡尔·荣格
这本书作为对荣格思想的易懂介绍, 深入探讨了在梦境和艺术中使用符号作为无意识过程的表现。它旨在面向更广泛的受众, 并提供对人类心灵的见解。
31. "未被发现的自我" 作者: 卡尔·荣格
荣格探讨了个人发展需求与现代社会压力之间的冲突。它强调了自我意识在驾驭无意识和人格阴影方面的重要性。
32. "拥抱你的阴影: 理解心灵的黑暗面" 作者: 罗伯特·A·约翰逊
这是一本关于理解荣格阴影概念的实用指南, 本书解释了如何识别和整合阴影自我, 以实现心理平衡和个人成长。
33. "荣格的灵魂地图: 导言" 作者: 穆雷·斯坦
这本书提供了荣格人格理论的介绍, 包括他关于阴影、无意识和个体化的思想。对于初学荣格心理学的人来说, 这是一个不错的资源。
34. "人格类型的差异: 理解人格类型" 作者: 伊莎贝尔·布里格斯·迈尔斯与彼得·B·迈尔斯
这本书解释了基于荣格心理类型的MBTI人格类型系统。它提供了不同人格类型如何互动以及它们如何影响个人和职业生活的见解。

声音疗愈

35. "声音的疗愈力量: 利用声音、声音和音乐从危及生命的疾病中恢复" 由 Mitchell L. Gaynor
本书深入探讨了声音疗法的使用, 重点介绍了如何利用振动和频率支持疾病恢复。Gaynor是一位肿瘤学家, 将医学见解与声音疗愈实践相结合。
36. "调谐人体生物场: 使用振动声音疗法进行疗愈" 由 Eileen Day McKusick
McKusick 探讨了生物场解剖, 讨论了声音、频率和振动如何影响人类能量场。本书包括关于如何使用音叉和其他声音工具促进疗愈的信息。

37. "疗愈声音: 谐波的力量" 由 Jonathan Goldman
本书解释了使用声音和谐波疗愈身体和心灵的概念。它包括声音疗愈的实用技巧, 例如声调和泛音。
38. "声音医学: 如何利用古老的声音科学疗愈身体和心灵" 由 Kulreet Chaudhary
本书将古老的阿育吠陀医学与现代声音疗法实践相结合。Chaudhary 解释了如何利用声音频率和振动进行疗愈和健康, 从咒语到现代声音技术。

意识、能量与现实

39. "水的第四阶段: 超越固态、液态和气态" 由杰拉德·波拉克
波拉克展示了水的性质及其对生物学和能量医学的影响的开创性研究。
40. "LSD与宇宙的心灵" 由克里斯托弗·巴赫
巴赫通过个人经历和科学见解探讨了迷幻药、意识与现实本质的交汇。
41. "超越生命的意识: 濒死体验的科学" 由皮姆·范·伦梅尔
范·伦梅尔全面审视了濒死体验及其对意识的影响, 以及自我在物质存在之外的延续。
42. "不相信奇迹的人" 由迪迪埃·范·卡维拉特
这部小说交织了意识和量子物理的主题, 通过引人入胜的叙事探讨现实与信仰的本质。
43. "有目的地健康: 自我疗愈的冲动" 由福尔克·迈斯纳
迈斯纳研究了能量医学的科学原理, 提供了对其治疗潜力和机制的见解。
44. "连接: 全球意识的出现" 由罗杰·尼尔森
尼尔森审视了人类意识的相互联系及其对理解集体经验和全球意识的影响。
45. "形态发生水 - 健康 - 信息与意识场" 由马克·亨利
亨利讨论了水在生物系统中的重要性及其作为能量传递和意识的媒介的作用。
46. "死后的生活" 由雷蒙德·穆迪
穆迪的开创性作品引入了濒死体验的概念, 并呈现了许多案例研究, 突出了经历过这些体验的人所报告的共同元素。
47. "被光拥抱" 由贝蒂·J·伊迪
这本回忆录讲述了伊迪的濒死体验, 分享了她的见解和在旅程中遇到的深刻灵性启示。
48. "天堂的证明: 一位神经外科医生对来世的探索" 由埃本·亚历山大
亚历山大, 这位神经外科医生, 分享了他自己的濒死体验, 并提供了一个挑战传统科学对意识和来世看法的引人入胜的故事。
49. "为了成为我而死: 我的癌症、濒死与真实疗愈之旅" 由安妮塔·穆尔贾尼
穆尔贾尼分享了她在与癌症斗争期间的变革性濒死体验, 以及她所学到的关于自我接受和疗愈的强大教训。
50. "身体外的旅行" 由罗伯特·A·门罗
这本经典著作记录了门罗的身体外旅行的个人经历, 并探索了人类意识超越物质身体的可能性。它被广泛认为是意识研究的基础文本之一。
51. "遥远的旅行" 由罗伯特·A·门罗
这本续集《身体外的旅行》更深入地探讨了门罗在物质平面之外的旅行, 他探索了存在的不同维度, 并扩展了他对意识的理解。
52. "终极之旅" 由罗伯特·A·门罗
在这部三部曲的最终书中, 门罗分享了他在改变意识状态中的经历所带来的见解, 专注于来世、存在的本质和人类目的等主题。
53. "宇宙意识" 由理查德·M·巴克
巴克描述了他自己宇宙意识的经历, 并探讨了其对精神进化的影响。
54. "雅基知识之道" 由卡洛斯·卡斯塔尼达
这本书通过卡斯塔尼达与雅基萨满的学徒经历深入探讨了萨满实践和现实的本质。

生物伦理学与医学

55. "生物伦理学: 原则、问题与案例" 由路易斯·沃恩 (Lewis Vaughn) 撰写
沃恩提供了医学实践中的关键伦理原则和问题, 并提供了现实世界应用的案例研究。

意识研究

56. "意识与宇宙：量子物理、进化、大脑与心灵" 由罗杰·彭罗斯爵士 (Sir Roger Penrose) 和斯图尔特·哈默夫 (Stuart Hameroff) 撰写
这本论文集探索了意识的量子起源，结合物理学、神经科学和哲学的见解，调查大脑中的量子过程如何解释意识体验。
57. "意识的解释" 由丹尼尔·丹内特 (Daniel Dennett) 撰写
丹内特提出了一个全面的意识理论，反对传统观点，并提供了对心智运作的见解。
58. "觉醒：无宗教灵性指南" 由萨姆·哈里斯 (Sam Harris) 撰写
哈里斯讨论了意识、冥想和灵性的本质，倡导以世俗的方式理解心智。
65. "我的声音会与你同在：米尔顿·H·埃里克森的教学故事" 由米尔顿·H·埃里克森撰写，Sidney Rosen编辑
本书是埃里克森的治疗故事和教学故事的集合。它突出了他的间接技术和比喻的使用，以促进深层心理变化，提供了埃里克森如何巧妙引导患者走向治愈的见解。
66. "不寻常的治疗：米尔顿·H·埃里克森精神病技巧" 由Jay Haley著
Haley详细介绍了埃里克森在简短治疗中的创新技巧。本书强调了埃里克森的非传统和常常令人惊讶的方法，包括他如何在短短几次会议中引导患者实现快速的治疗突破。

量子物理与形而上学

59. "量子与莲花：科学与佛教交汇的前沿之旅" 由Matthieu Ricard和Trinh Xuan Thuan著
本书探索了量子物理与佛教哲学之间的相似之处，讨论了两个领域的见解。
60. "全息宇宙" 由Michael Talbot著
Talbot提出宇宙像全息图一样运作，将量子物理的见解与形而上学的含义结合起来。

心理学与心理治疗

61. "人类对意义的追寻" 由Viktor E. Frankl著
Frankl探讨了即使在最严峻的情况下寻找目的的心理旅程，整合了存在主义哲学和心理学。
62. "身体记住一切：大脑、心灵与身体在创伤治疗中的作用" 由Bessel van der Kolk著
本书讨论了创伤对身体和心灵的影响，突出了创新的治疗方法。
63. "核心能量学" 由John C. Pierrakos著
本书概述了Pierrakos对核心能量学的看法，这是一种以身体为中心的治疗模式。他深入探讨了如何通过解除身体中的能量阻塞来实现情感和心里的治疗，将灵性与心理治疗结合起来。
64. "自我转化的路径工作" 由Eva Pierrakos著
由John Pierrakos的妻子Eva Pierrakos撰写，这本书对于理解核心能量学的精神和能量基础至关重要。它呈现了来自路径工作指导的教学集合，这对Pierrakos自己的治疗工作产生了深远影响。
67. "一般系统理论：基础、发展、应用" 由路德维希·冯·贝塔朗菲
作为系统思维的经典之作，贝塔朗菲的工作介绍了一般系统理论的基本原理，该理论成为跨科学学科研究的基础支柱。他的思想在生物学到社会科学的各个领域产生了深远的影响。
68. "心智的生态学步骤" 由格里高利·贝茨顿
作为帕洛阿尔托小组的关键人物，贝茨顿的这部论文集涵盖了沟通、心理学和生态学等主题。他的工作为人类沟通和互动中的系统思维奠定了基础。
69. "心智与自然：必要的统一" 由格里高利·贝茨顿
另一部贝茨顿的重要著作，探讨了心智与环境如何相互关联。他的思想为理解人类互动、学习和生态学中的系统理论奠定了基础。
70. "现实的社会建构：知识社会学的论著" 由彼得·L·伯杰和托马斯·卢克曼
这本书通过探索社会系统和现实是如何被构建和维护的，与系统思维密切相关。
71. "生命的系统观：统一的愿景" 由弗里乔夫·卡普拉和皮尔·路易吉·卢伊西
卡普拉，系统思维的关键人物，提出了对生命系统的现代和综合理解。这本书将系统理论与生物学、生态学和意识相联系。
72. "变革：问题形成与问题解决的原则" 由保罗·瓦茨拉维克、约翰·维克兰和理查德·菲施
作为帕洛阿尔托小组的另一部重要作品，探讨了人类系统（特别是家庭和组织）中变革是如何通过系统视角发生的。
73. "知识之树：人类理解的生物学根源" 由洪贝托·R·马图拉纳和弗朗西斯科·J·瓦雷拉
这本书将生物学、认知和系统思维结合在一起，重点关注自我创造（自我生成系统），这是理解生命系统的核心概念。
74. "控制论，或动物与机器中的控制与沟通" 由诺伯特·维纳
这本控制论的基础文本探讨了沟通和控制过程如何在机器和生物中运作。
75. "第五项修炼：学习型组织的艺术与实践" 由彼得·M·圣吉
圣吉的工作将系统思维应用于组织发展。它被广泛认为是商业和教育领域的重要文本，重点关注复杂组织如何为学习和适应性进行结构化。

系统理论与系统思维